

MINERAIS DO PARANÁ S.A. - MINEROPAR

ESTUDOS GEOQUÍMICOS ORIENTATIVOS NA
ÁREA DA SERRA DA PRATA -PR

MAURICIO MOACYR RAMOS

CURITIBA

FEV/1981

MINEROS
Minerais do Paraná S/A
BIBLIOTÉCA

MINERAIS DO PARANÁ S/A - MINEROPAR

ESTUDOS GEOQUÍMICOS ORIENTATIVOS NA ÁREA DA SERRA DA PRATA - PR

MAURÍCIO MOACYR RAMOS

CURITIBA
FEV/1981

550.4
(81h.22)
2 195
1981



MINERPAR
Minerais do Paraná S.A.
BIBLIOTECA
REG. 003 DATA 20/11/85

MINEROPAR

Minerais do Paraná S.A.

MINERAIS DO PARANÁ S/A
MINEROPAR

BIBLIOTECA

ESTUDOS GEOQUÍMICOS ORIENTATIVOS

NA ÁREA DA SERRA DA PRATA - PR

MAURÍCIO MOACYR RAMOS

Fevereiro/1981

APRESENTAÇÃO

Os estudos geoquímicos orientativos objetivam a determinação dos parâmetros prospectivos mais adequados e eficazes a serem utilizados em campanhas de exploração geoquímica que abrangem desde os levantamentos em escala regional até os trabalhos a nível de detalhe.

Os parâmetros prospectivos definidos nesse trabalho envolvem as técnicas de amostragem, analíticas e interpretativas que serão inicialmente empregados durante as fases de seleção de áreas prospectáveis e posteriormente na avaliação dos alvos selecionados que possam indicar concentrações minerais de condicionamento geológico semelhante e com dimensões similares ou maiores do que aquela localizada na região da Serra da Prata áreas do Ribeirão Valentim.

Í N D I C E

<i>APRESENTAÇÃO</i>	<i>i</i>
<i>I - INTRODUÇÃO</i>	<i>01</i>
<i>II - MÉTODOS DE TRABALHO</i>	<i>02</i>
<i>2.1.- Técnicas de Amostragem</i>	<i>02</i>
<i>2.1.1.- Rochas</i>	<i>02</i>
<i>2.1.2.- Solos</i>	<i>03</i>
<i>2.1.3.- Sedimento Ativo de Corrente e Concentrado de Bateia</i>	<i>04</i>
<i>2.2.- Técnicas Analíticas</i>	<i>05</i>
<i>2.3.- Técnicas de Interpretação</i>	<i>08</i>
<i>2.4.- Amostras Controle</i>	<i>09</i>
<i>III - RESULTADOS OBTIDOS</i>	<i>10</i>
<i>3.1.- Rocha</i>	<i>10</i>
<i>3.2.- Solos</i>	<i>12</i>
<i>3.2.1.- Solos em Poços</i>	<i>12</i>
<i>3.2.2.- Solos em Malha</i>	<i>18</i>
<i>3.3.- Sedimentos de Corrente</i>	<i>21</i>
<i>3.3.1.- Espectrofotometria de Absorção Atômica(AA)</i>	<i>21</i>
<i>3.4.- Concentrado de Bateia</i>	<i>25</i>
<i>3.5.- Variâncias de Amostragem e/ou Analíticas</i>	<i>26</i>
<i>IV - CONCLUSÕES</i>	<i>28</i>
<i>V - RECOMENDAÇÕES</i>	<i>31</i>
<i>5.1.- Levantamento à Nível Regional e Semi-Detalhe</i>	<i>32</i>
<i>5.2.- Levantamento de Detalhe</i>	<i>34 e 35</i>
<i>Tabela 2 - Resumo das Recomendações</i>	<i>35</i>
<i>VI - REFERÊNCIAS BIBLIOGRÁFICAS</i>	<i>37</i>
<i>RELAÇÃO DAS FIGURAS</i>	<i>38</i>
<i>RELAÇÃO DOS ANEXOS</i>	<i>39 e 40</i>

I. INTRODUÇÃO

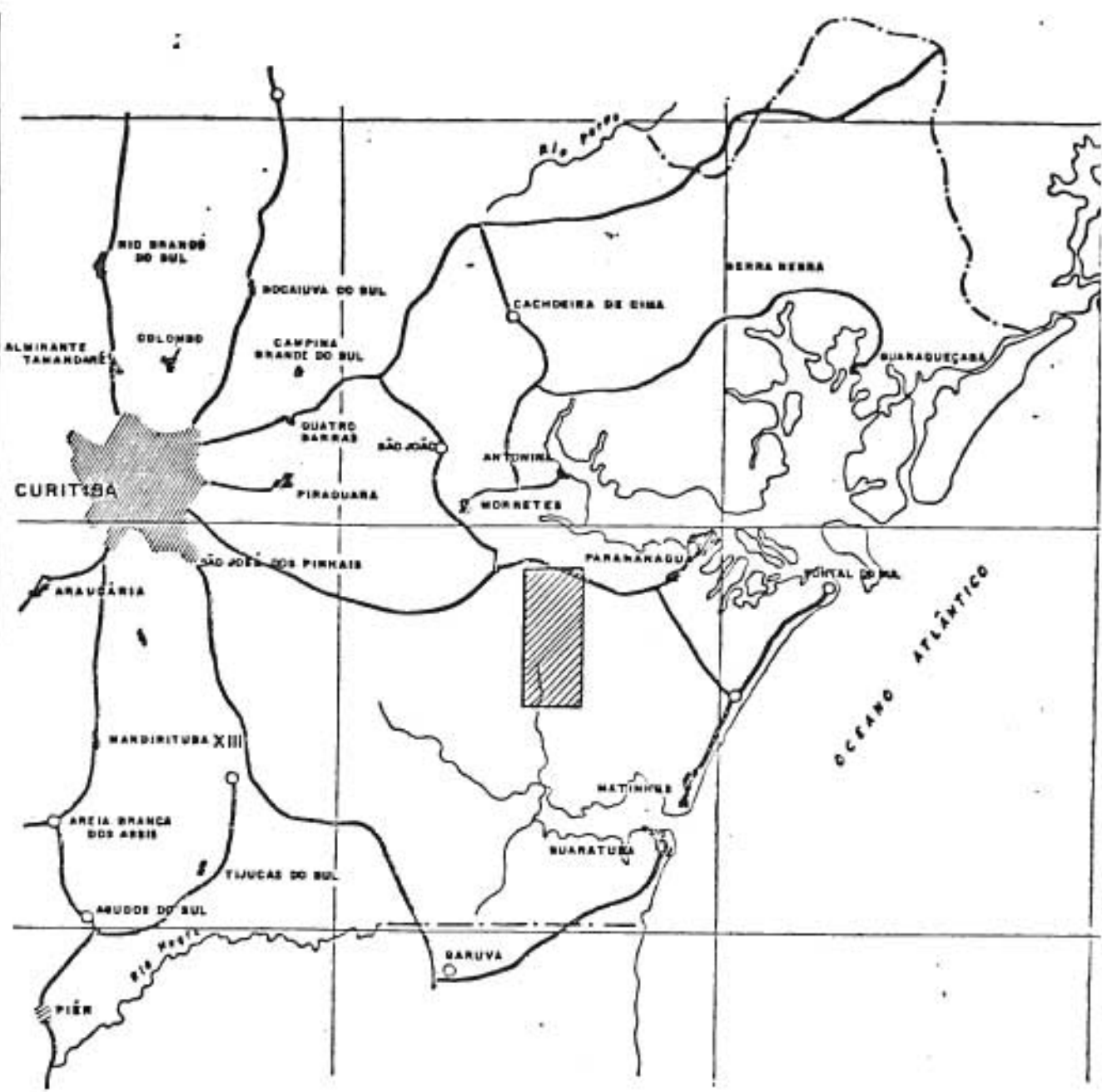
A mineralização do Ribeirão Valentim faz parte de um grande número de pequenas ocorrências minerais sulfetadas e amplamente distribuídas nas superfícies montanhosas da Serra da Prata. Constitui-se basicamente de sulfetos, predominantemente, pirita que preenchem fraturas secundárias de zonas milonitizadas (Arioli e Duszczak, 1980). Segundo esses autores nas rochas encaixantes (quartzo-clorita-xistos) dessa concentração mineral são identificadas disseminações de pirita e galena acompanhadas de altos valores de Cu, Zn, Ag e Sb além de Au*.

A área em estudo está localizada na região da Serra da Prata, município de Guaratuba, Estado do Paraná e englobadas pelos limites geográficos constantes nos Alvarás de Pesquisa de nºs. 79/820.196 e 79/820.544 em nome do Sr. Antonio Marchesini de Brito. O acesso principal é feito através a rodovia federal BR-277, que interliga Curitiba a Paranaguá e a partir desta, na altura do quilômetro 60, com rumo à direita, via estrada municipal, não pavimentada que demanda a localidade de Limeira. (Fig. 1).

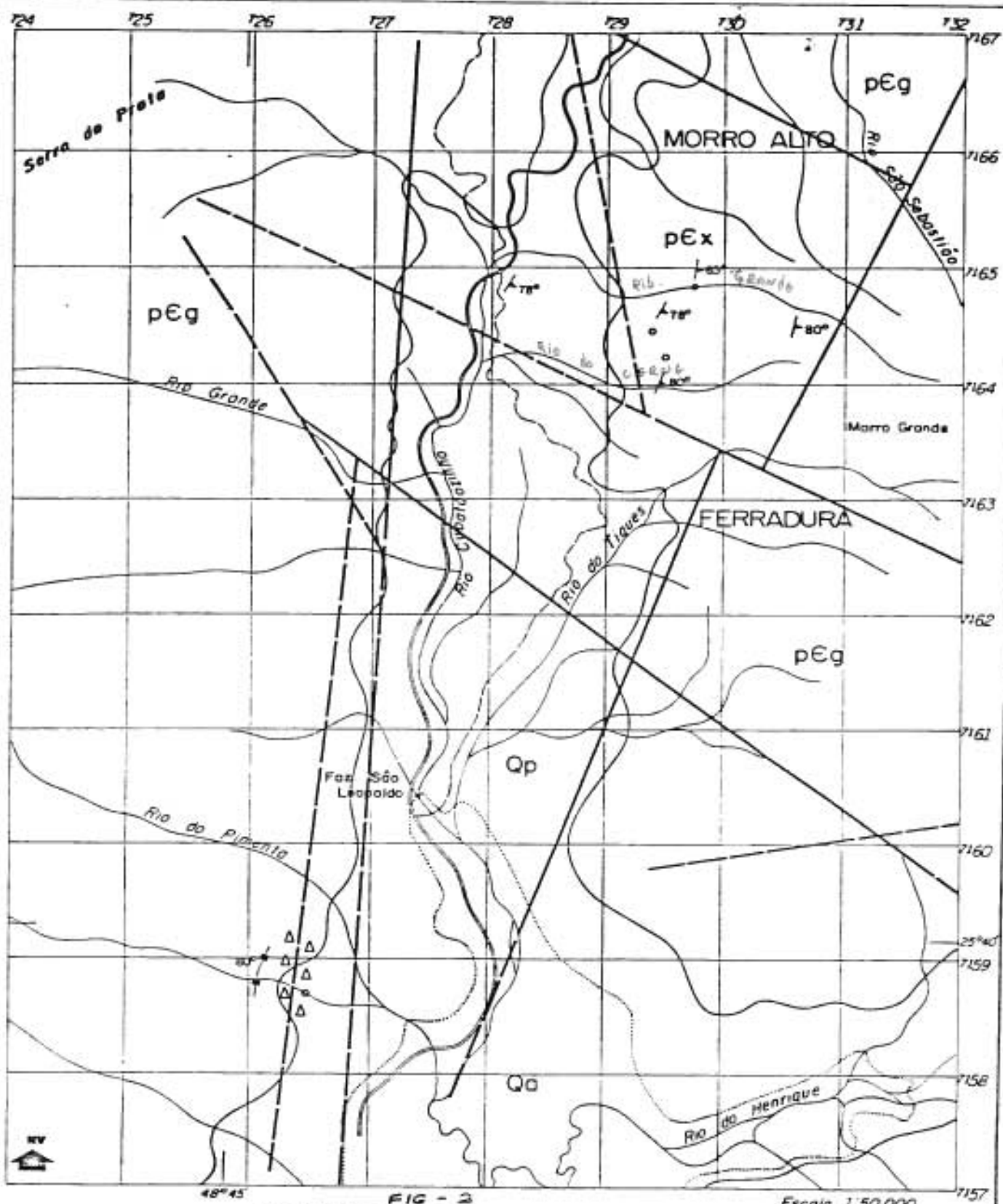
Do ponto de vista geológico regional as áreas estão inseridas numa seqüência de unidades litológicas - embasamento metamórfico, granito intrusivo, seqüência xistosa, diques de diabásio e cobertura do quaternário - definidas por Fuck, Muratori e Trein (1969) e modificadas por Arioli e Duszczak (1980). Localmente, a mineralização do Ribeirão Valentim está relacionada as rochas da seqüência xistosa e aos granitos intrusivos, respectivamente. (Fig. 2).

A morfologia da área é expressada por cristas ingremes (cotas de 1.500m), correspondentes aos corpos graníticos que interceptam o embasamento metamórfico, e vales profundos em forma de V(vê) - com os seus assoalhos suavizados

(*) - As dosagens de Au foram realizadas posteriormente.



PROJETO SERRA DO MAR	MINEROPAR Minério de Ferro S.A.	FIGURA 1	
MAPA DE SITUAÇÃO DA SERRA DA PRATA			
ESCALA 1:500.000			
REPRODUÇÃO TOTAL OU PARCIAL DESTE TRABALHO SOMENTE COM AUTORIZAÇÃO EXPRESA DA MINEROPAR			
AUTOR Arielli, Edif E.	DESENHO Silveira, P. E.		
MAPA	ARQUIVO		
Nº _____	GRUPO _____	Nº _____	BAIXETA _____
		DATA 27/02/80	



**FIG - 2
REGIÃO DE SERRA DA PRATA**

MAPA GEOLÓGICO

TOPOGRÁFICAS

- ← Curso d'água
- Rodovia
- Caminho
- Ocorrência de Sulfetos (pirito)

CONVENÇÕES

- Contato Litológico
- Limite de Aluvião
- Falhas ou Fraturas
- ◆◆◆◆ Brechos
- ↗ Altif. Xistosidade
- ↗ Altif. Junto

GEOLÓGICAS

- | | |
|-----|---------------------------|
| Qa | Depósito Aluvionar |
| Qp | Dep. Pedimentar e Coluvio |
| pEg | Granito Intrusivo |
| pEx | Seq. Xistosa |

48°45'

Escala 1:50.000

por depósitos pedimentares e coluvios - caracterizando a feição fisiográfica regionalmente definida pela Serra do Mar.

O padrão de drenagem ao longo da serra é dendrítico-angular, onde o Ribeirão Cubatãozinho destaca-se como a bacia hidrográfica mais expressiva da área. A sua cobertura vegetal é representada pela floresta atlântica, de característica tropical, (Arioli e Falcade, 1980).

Apesar do relevo favorecer à predominância dos processos mecânicos de intemperismo e erosão, o clima úmido atuante propicia a decomposição química das escarpas rochosas e pedimentos mostrando fortes indícios de processos pedogenéticos responsáveis pelas origens dos solos surpreendentemente maduros e espessos registrados na área em estudo.

O curso do córrego escolhido para a amostragem objeto desse trabalho mede aproximadamente 3,0 Km e intercepta a faixa mineralizada por intermédio de uma ravina "intermitente" localizada à sua margem direita na "altura" dos 1,5 Km de distância das cabeceiras.

II. MÉTODOS DE TRABALHO

2.1. - Técnicas de Amostragem

O dimensionamento da extensão e o entendimento do(s) mecanismo(s) de dispersão secundária predominante(s) dos elementos traços associados da área em estudo orientaram o planejamento do esquema de amostragem, a seguir:

2.1.1. - Rochas

A coleta de pelo menos uma amostra de cada litotipo mais representativo da área (Fig. 2)

inclusive amostra da mineralização, com o propósito de quantificar a "fonte" dos elementos trago em estudo e representar a dispersão primária dos elementos.

2.1.2. - Solos

Foram coletadas duas espécies de amostras de solo: a) solos em poços e b) solos em malhas (Fig. 3).

a) Solos em poços

Com os dados obtidos por essas amostras procura-se estudar a variação dos elementos trago ao longo do perfil de solos, localizados em áreas sob influência direta da mineralização e em áreas não mineralizadas, com o propósito de definir-se o(s) horizonte(s) ou profundidade(s) onde são registrados os melhores contrastes geoquímicos.

As amostras de solos em poços foram coletadas obedecendo-se o estilo canal, em intervalos iguais a 0,20m, não considerando-se os diferentes horizontes pedogenéticos.

Na área foram planejados os poços P₁ (solo sobre a mineralização) e P₂ (solo sobre a área não mineralizada), os quais também foram utilizados para a descrição das características composticionais e texturais dos perfis dos solos em questão.

b) Solos em malha

Uma malha definida por linhas perpendiculares com retículos medindo, 50, 100 e 200m foi planejada sobre a ocorrência mineral com o objetivo de orientar a coleta de amostras de solo. Esse procedimen-

to visa facilitar a avaliação, com poucas estações de amostragem, da extensão areal do halo de dispersão dos elementos, das possíveis influências da topografia nos deslocamentos desses halos, das profundidades mais adequadas para a coleta e de retículos com dimensões que possam oferecer maior segurança na determinação de expressões anômalas semelhantes.

Para tal, foi demarcada uma linha base (LB) com direção aproximada N-S. A partir da linha base foram programadas linhas transversais de modo que a linha mais central coincidisse com a posição aflorante de ocorrência mineral e definisse a estação 00 (Fig. 3).

Tomando-se esse ponto como referência e partindo-se nos sentidos norte, sul, leste e oeste identifica-se as estações de amostragem por N50/00, S50/00, 00/50E e 00/50W, respectivamente. Esse planejamento de amostragem origina 49 estações a serem amostradas em duas profundidades (0,25-0,50m e 0,50-0,75m).

Todas as amostras foram coletadas, entre tanto, somente aquelas situadas nas diagonais do quadrado formado pela malha foram analisadas.

Com esse procedimento procura-se reduzir os custos analíticos do trabalho.

2.1.3. - Sedimento Ativo de Corrente e Concentrado de Bateia

Na tentativa de reduzir o número de amostras ao mínimo necessário para um máximo de informações foi programado um total de 17

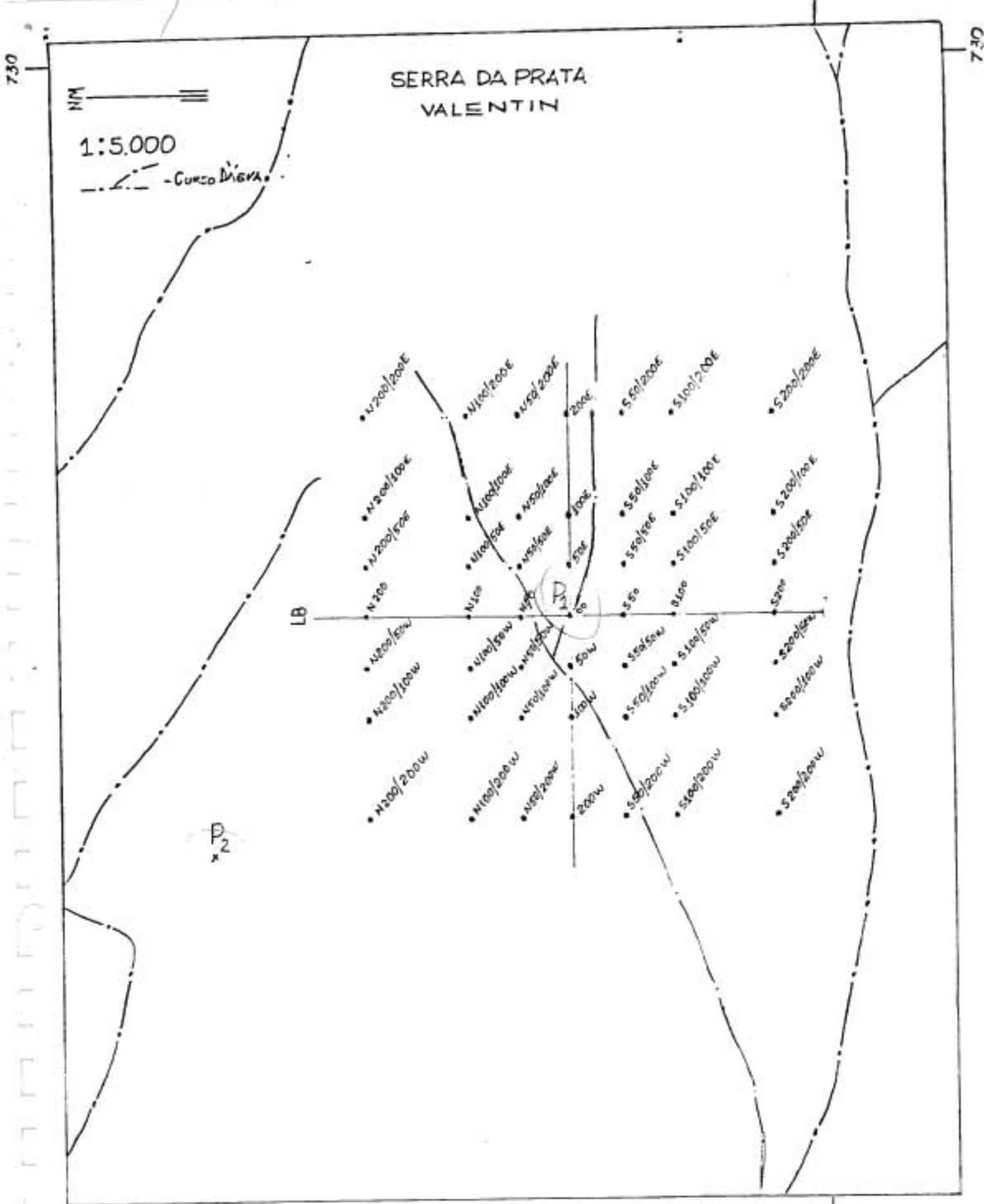


FIG. 3 - Mapa de localização das amostras de solos (poços e malha).

estações de amostragem que foram distribuídas ao longo da drenagem que banha a ocorrência mineral - separadas regularmente, com aproximadamente 200m, - e nos córregos vizinhos que, drenam áreas não mineralizadas.

Nos locais das estações planejadas foram coletadas amostras de sedimento ativo de corrente, preferencialmente o cascalho, observando-se o estilo composicional.

Nove amostras de concentrado de bateia foram programadas nas mesmas posições das amostras de sedimento de corrente, (Fig. 4). Para a obtenção desse tipo de material foram coletados 15 litros de cascalho e concentrados no local, através bateias de madeira.

Em todas estações amostradas foram medidos os valores pH, através de papel medidor marca MERCK(4,0-7,0).

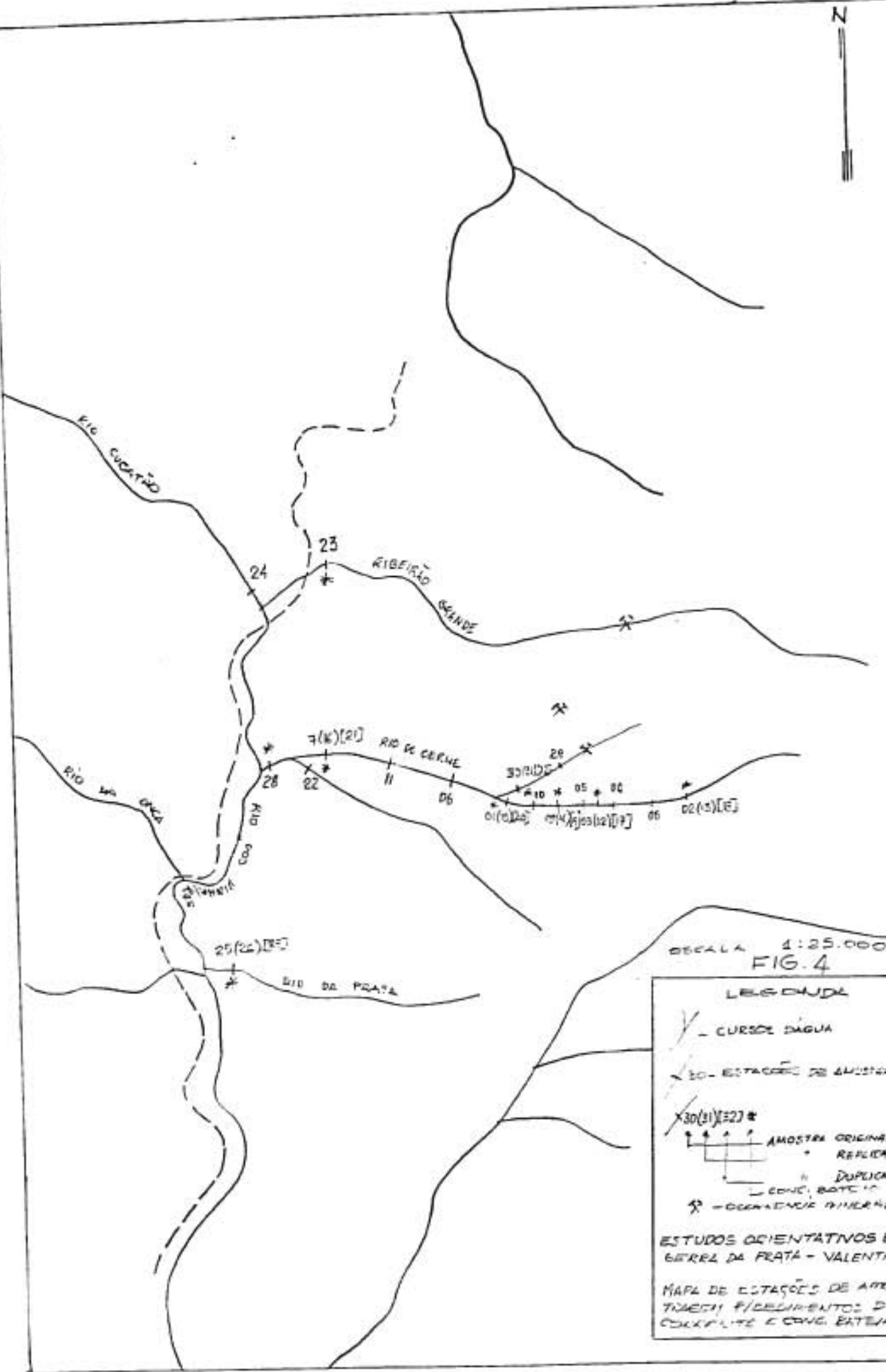
No planejamento dos pontos de amostragem utilizou-se bases planimétricas ampliadas fotograficamente para escala 1/10.000, obtidas diretamente de fotografias aéreas/USAF/.... 1.70.000.

Os diversos tipos de materiais amostrados foram acondicionados em sacos de pano, com exceção das amostras de concentrado de bateia que foram preservadas em sacos plásticos, e descritos em fichas geoquímicas de campo. As descrições das amostras de rocha e os perfis de solo foram feitas em cadernetas de campo.

2.2. - Técnicas Analíticas

As amostras coletadas nesse trabalho foram dosadas

N



obedecendo-se o seguinte esquema analítico: (Fig. 5). As amostras de sedimento de corrente e solos foram peneiradas com peneiras de aço e separadas duas frações granulométricas - malha menor que 80 e malha maior que 40/maior que 80 - enquanto que as amostras de concentrados de bateia e de rocha foram reduzidas a uma fração malha menor que 200 após pulverização com o gral de ágata.

Todas as amostras de sedimento de corrente e solo foram dosadas por Espectrofotometria de Absorção Atômica após abertura por:

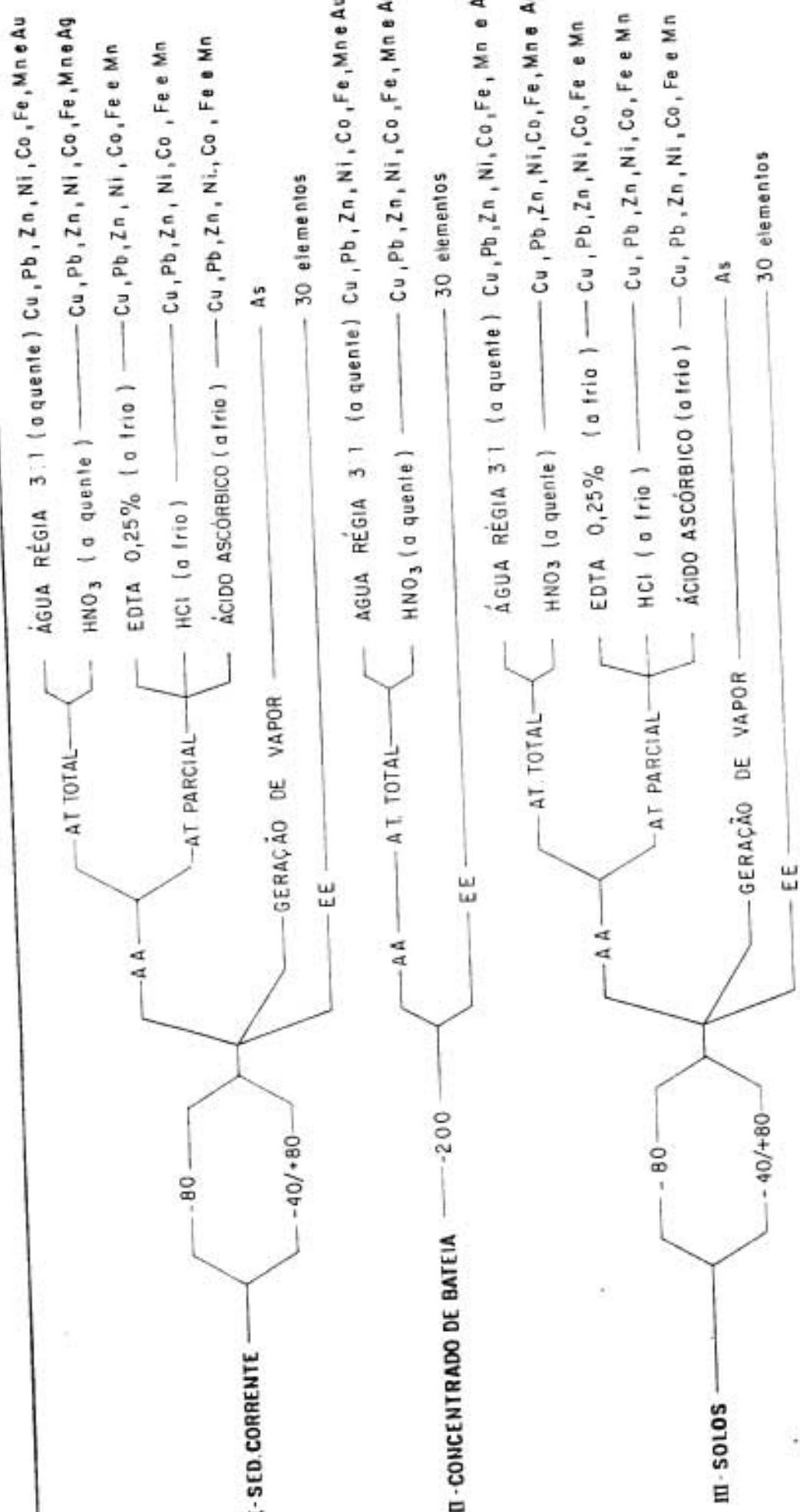
- Água Régia 3:1(a quente) para Cu, P, Zn, Ni, Co, Fe, Mn e Au.
- HNO_3 (a quente) para Cu, Pb, Zn, Ni, Co, Fe, Mn e Ag.
- EDTA 0,25%(a frio) para Cu, Pb, Zn, Ni, Co, Fe e Mn.
- HCL(a frio) para Cu, Pb, Zn, Ni, Co, Fe e Mn.
- Ácido Ascórbico para Cu, Pb, Zn, Ni, Co, Fe e Mn.
- Geração de Vapor para As.

As amostras de rocha e concentrado de bateia foram dosadas por Espectrofotometria de Absorção Atômica após abertura por Água Régia 3:1(a quente).

Espectrografia de Emissão Ótica em algumas amostras de sedimento de corrente, concentrado de bateia e solo para dosar 30 elementos(esquema padrão).

As análises geoquímicas foram executadas pelos laboratórios do TECPAR e GEOSOL, tendo esse último dosado o arsênio e as amostras por espectrografia de Emissão.

As aberturas químicas usadas em prospecção geoquímica abrangem uma faixa muito ampla, desde ataques "totais" até extrações suaves com reagentes diluídos ou mesmo água. Neste trabalho a aplicação de diferentes ataques químicos é o meio mais eficiente de avaliação do poder de solubilização dos mesmos e indicação



AA - Espectrofotometria de absorção atómica
 HNO₃ - Ácido Nítrico
 EDTA - Ácido Etil-Diamino-Tetra-Acético
 HCl - Ácido Clorídrico
 EE - Espectrografia de Emissão Ótica

Fig. 5 Esquema Analítico utilizado na área

do(s) mecanismo(s) de dispersão geoquímica através do conhecimento do(s) tipo(s) predominante(s) de ligação(ões) química(s) entre os elementos em estudo com o objetivo de relacioná-los com a mineralização alvo do trabalho. Os principais caracteres da ação dos ácidos usados são:

- Água Régia 3:1(a quente): Mistura ácida entre o ácido nítrico (HNO_3) e ácido clorídrico (HCl) na proporção 3 HCl e 1 HNO_3 . Esse ataque extrai todos os metais fracamente ligados ou absorvidos e metais dos feldspatos, micas e sulfetos. Entretanto, piroxênios, anfibólios e esfeno têm somente 20-80% dos seus metais extraídos (Foeter, 1971/73). Cromita, magnetita e outros espinelios não são atacados por esse ataque (Thomson, 1976).
- Ácido Nítrico (a quente): Esse ácido possui um menor poder de dissolução do que a água régia. Quando concentrado dissolve não só carbonatos mas também sulfetos e minérios de Cd, Co, Cu, Pb, Mn e Ni. Em particular, é menos eficiente na remoção de elementos traço de silicato-minerais.
- EDTA 0,25% (a frio): Esse ácido orgânico fraco extrai elementos traço que estão fracamente combinados com óxidos secundários e carbonatos, argilo-minerais e matéria orgânica.
- Ácido Clorídrico (a frio): Todos os minerais, exceto as escapolitas, contendo dióxido de carbono são solubilizados por HCl , a frio. Alguns silicatos e sulfetos podem ser total ou parcialmente decompostos por esse ácido. (RATTI, 1979).
- Ácido Ascórbico: O sistema H_2O_2 /Ácido Ascórbico /acetato de amônia dissolve significantes quantidades de fases S^{2-} , SO_4^{2-} , CO_3^{2-} , PO_4^{2-} e MoO_4^{2-} com pequenos efeitos das fases ferro secundário e argilo-minerais. Extrai também elementos traço ligados a

óxidos de manganês e matéria orgânica, porém a importância ou participação dessas fases podem ser facilmente quantificadas. (Peachey e Allen, 1977).

2.3. - Técnicas de Interpretação

Na definição dos padrões geoquímicos - contrastes e a extensão, forma e tipo de dispersão - que identificam a ocorrência mineral em estudo - empregou-se as seguintes técnicas:

- a) Listagem dos resultados analíticos dos elementos analisados/tipo de material amostrado/granulometria/abertura química.
- b) Plotagem dos resultados analíticos divididos pelos critérios do item "a" em tabelas, figuras e gráficos:
 - sedimentos de corrente e concentrados de bateia. Grupo de amostras constituído pelas estações 1, 2, 3, 4, 5, 6, 7, 8, 9, 10, 11, 22, 23, 24, 25, 28, 29 e 30. Os resultados analíticos são registrados em tabelas acompanhadas por uma réplica de drenagem (retificada) acrescida de informações geológicas e fisiográficas. Acompanham as tabelas um sistema de eixos cartesianos com a finalidade de registrar graficamente o relevo geoquímico. Nessas tabelas são ainda plotados os valores do pH (Fig. 6).
 - Solos em poços
- Dados geoquímicos plotados em gráficos são constituidos por um sistema de coordenadas, onde no eixo vertical registra-se a profundidade em centímetros e no eixo horizontal a distribuição dos valores dos elementos em ppm (Fig. 7).
- Solos em Malha

Resultados analíticos são plotados em mapas que

-BO

-40/+80

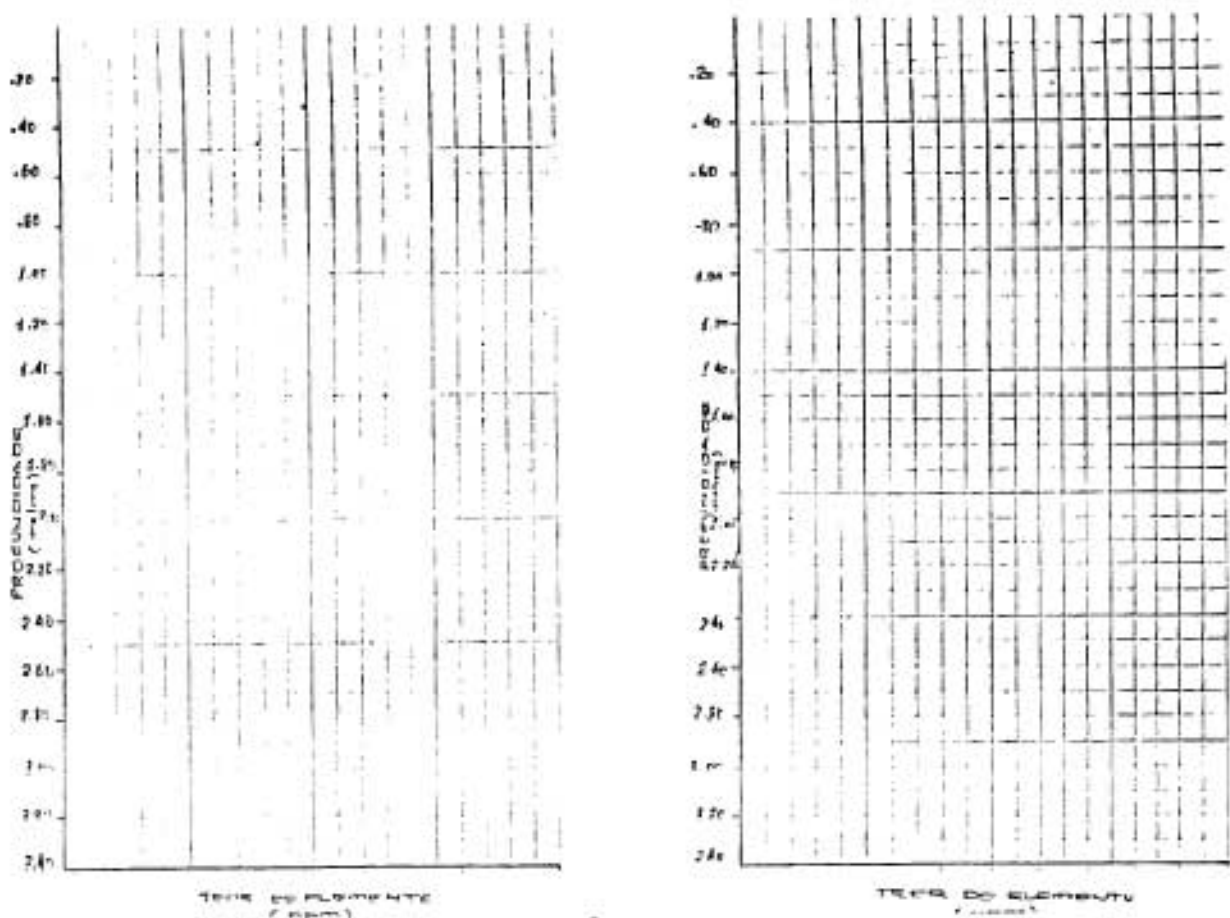


Fig. 7 - Perfis geoquímicos dos solos em poços.

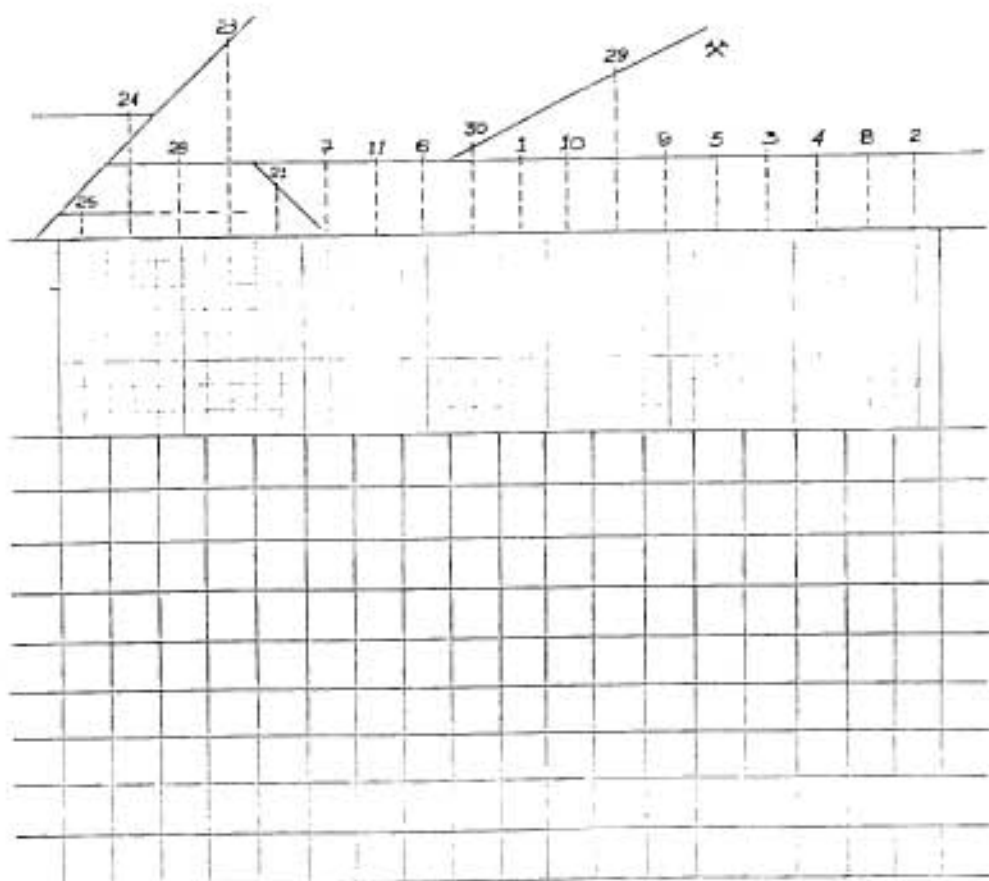


Fig. 6 - Tabela dos dados de sedimento de corrente e concentrado de bateia.

focalizam em detalhe, escala 1/5.000, a área (ponto) aflorante da mineralização e as estações de amostragem plotados sobre uma malha com retículos de 50x50m, 100x100m e 200x200m (Fig. 8). Esses dados além dos critérios citados no item "a" são registrados obedecendo-se as duas profundidades (0,25-0,50m e 0,50-0,75m).

- Rochas

Os teores dos elementos analisados são registrados em tabelas onde ainda são previstas as informações sobre a classificação de campo. (Fig. 9).

c) Estabelecimento dos percentis 70 e 95 por elemento/profundidade/fração granulométrica/abertura química exclusivamente para os dados provenientes dos solos em malha.

A avaliação dos padrões geoquímicos da área em questão é conseguida, inicialmente através de uma análise em separado das informações obtidas dos diversos tipos de material (sedimento de corrente, concentrado de bateia, solo e rocha) amostrados e uma posterior correlação dos dados obtidos.

Essas análises são preferencialmente desenvolvidas por observações visuais, enormemente facilitadas pela disposição gráfica com que são registrados os dados.

2.4. - Amostras Controle

Com o propósito de avaliar os possíveis erros de amostragem e a performance dos serviços dos laboratórios foram planejadas a coleta de amostras controle em sete das estações reservadas para amostragem de

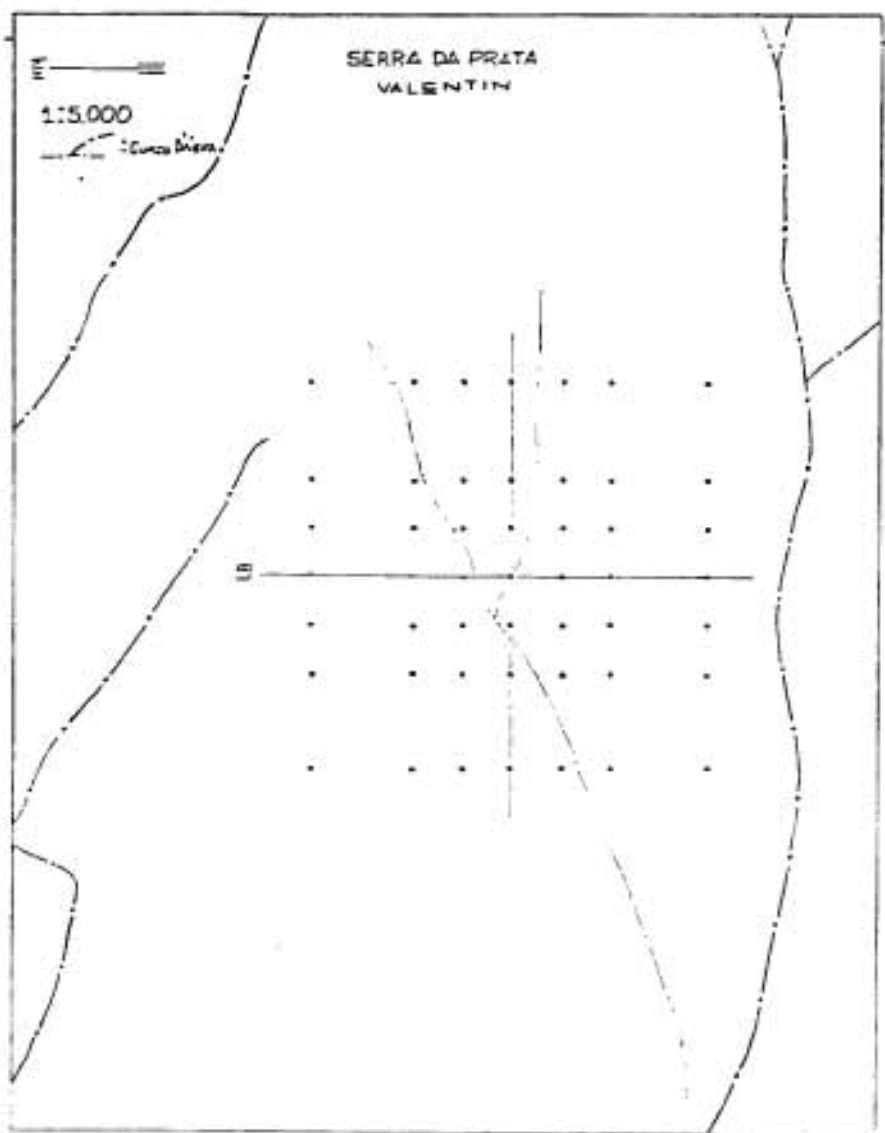


Fig. 8 - Mapa de resultados analíticos dos solos em malha.

NP	CLASSIFICAÇÃO			
1				
2				
3				
4				
5				
6				
7				
8				
9				
10				
11				
12				
13				
14				
15				

Fig. 9 - Tabela resumo das informações de rocha.

sedimento de corrente. (Fig. 4).

As amostras replicadas que correspondem a coleta comitante de duas amostras no mesmo sítio de amostra gem presta-se para a avaliação, principalmente, dos erros de amostragem acrescidos aos erros analíticos. As amostras duplicadas representam a bipartição de amostra original e é utilizada na avaliação da precisão dos dados analíticos (reprodutibilidade dos laboratórios). Juntamente com as replicatas as amostras duplicatas diagnosticam com mais segurança a participação dos dois tipos de variância.

A avaliação é feita plotando-se os pares das 7 amostras originais, replicatas e duplicatas em gráfico (Fig. 10), comparando-se visualmente a partir numa faixa de variação de 10%.

III. RESULTADOS OBTIDOS

3.1. - Rocha

Os teores dos elementos traço em amostras de rocha, certamente indicam o "potencial" das diferentes "fontes" que cada litotipo representa na configuração do modelo e da expressão da dispersão desses elementos no ambiente secundário.

Com esse propósito foram coletadas duas amostras - MR 02 e MR 04 - que adicionadas as amostras coletadas por Arioli e Duszczak (1980) - SM 03/A, B, C, D, E, F, G, H, I, J e SM 04/A e B - compõem o conjunto de resultados analíticos dispostos na tabela 1.

Do conjunto as amostras SM 03 procuram representar o

	Nº	CLASSIFICAÇÃO	Cu	Pb	Zn	Av	Ag	Mo	Bi	Sb	As
1	SM-03A	QUARTZO C/SULFETOS	250	55	10						
2	" " B	QUARTZO-CLORITA XISTO	20	-	35						
3	" " D	" " "	65	-	10						
4	D " C	GNAISE FACOIDAL	60	135	80						
5	F " E	QUARTZO-CLORITA XISTO	625	-	10		80			150	
6	" " F	GNAISE FACOIDAL C/FILONETES	150	-	80						
7	" " G	" " "	15	-	30						
8	" " H	" " " APLITO	70	130	25						
9	" " I	" " "	75	375	60					90	
10	" " J	QUARTZO-CLORITA XISTO	20	-	45						
11	SM-04A	GNAISE C/DISSEMINAÇÕES	6250	2100	750		460	40	1500	310	
12	SM-04B	" C/FILONETES	60	-	15						
13	MR-02	QUARTZO C/SULFETOS	1250	600	80	0,24					
14	MR-04	" "	1010	400	150	22					
15											

Tabela 1 - Dados de campo e geoquímicos de amostras de rocha.

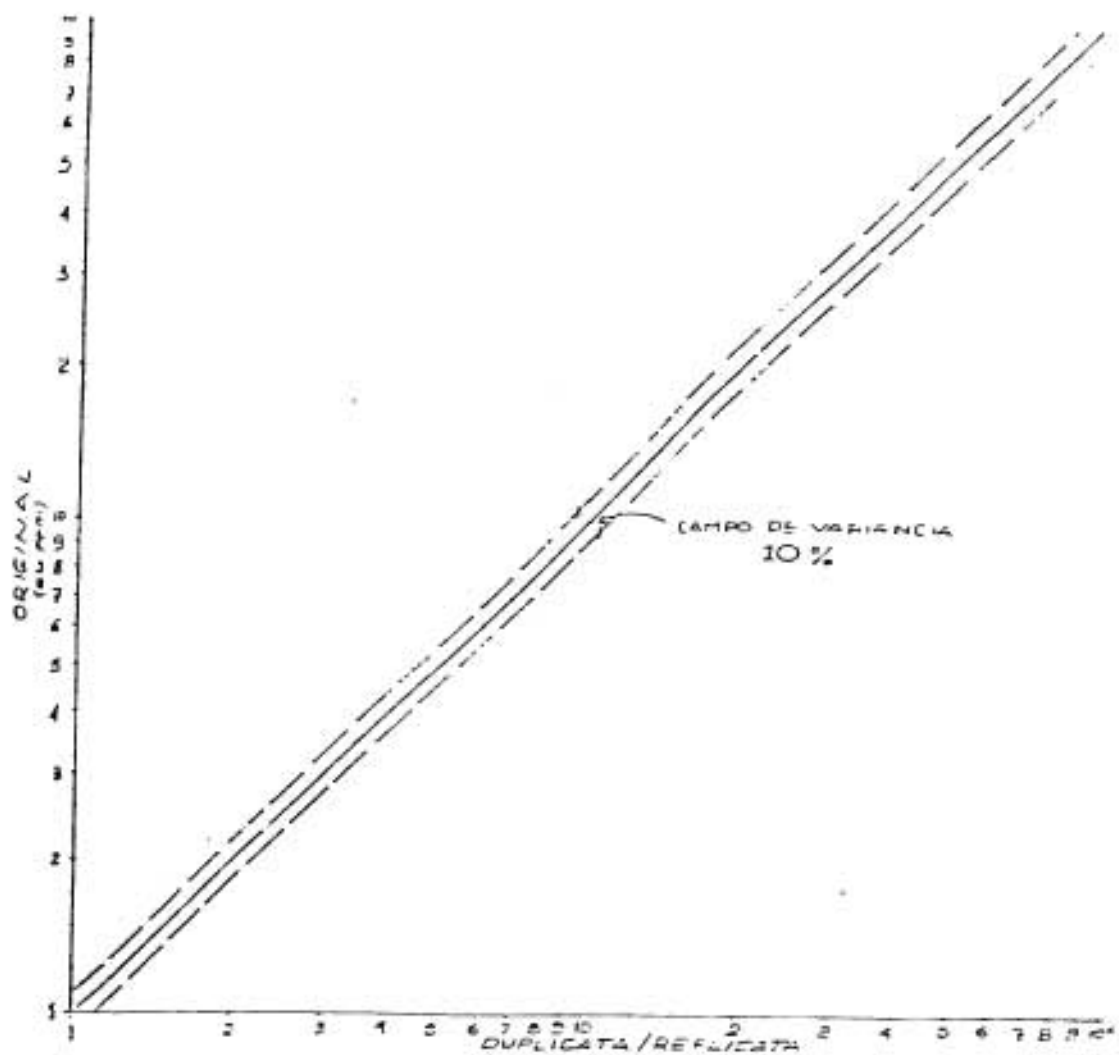


Fig. 10 - Gráfico p/avaliação visual das variâncias de amostragem e analíticas.

veio de quartzo com sulfetos e suas encaixantes:

- Amostra A representa o veio de quartzo.
- Amostra B e D representam as suas encaixantes e/ou seus exocontatos.
- Amostra C representa o gnáisse facoidal situado a 2m acima do veio de quartzo.
- Amostra E e J representam a seqüência xistosa localizada a montante do veio de quartzo.

Os resultados analíticos dispostos na tabela I indicam, em termos gerais, os maiores valores absolutos para o cobre seguidos de chumbo e zinco, além de teores significativos de prata, ouro, bismuto e antimônio.

- Os contrastes geoquímicos(*) variam em torno de 300 x Cu, 40 x Pb e 75 x Zn, embora o conjunto de dados demonstre uma marcante variância na distribuição dos teores dos elementos provenientes tanto das amostras dos veios de quartzo com sulfetos quanto daquelas amostras de suas encaixantes.
- Os teores de cobre, chumbo e zinco entre as amostras representativas das mesmas litologias - SM 03/A e MR 02 e 04; SM 03/E e SM 03/B, D e J; SM 04/A e SM 04/B - revelam valores situados nos seus limites extremos (altos e baixos).
- Os valores significativos e prata encontram-se ora diretamente relacionados aos teores de chumbo - SM 04/A - ora inversamente associados com os teores desse elemento - SM 03/E.

Todas essas variações demonstram o alto grau de heterogeneidade da distribuição dos elementos traço dificultando o estabelecimento do padrão de dispersão primária desses elementos, principalmente, considerando-se a inexistência de um relacionamento preferencial entre concentrações dos elementos com

(*) - Os contrastes são definidos em relação aos valores absolutos mais baixos para cada elemento.

os veios de quartzo mineralizados e/ou as suas encaixantes.

3.2. - Solos

Os solos que revestem as unidades litológicas relacionadas à mineralização são residuais, espessos e maduros, principalmente, considerando-se que os seus perfis representativos P_1 e P_2 estão situados na meia-encosta de uma das vertentes íngremes do vale do ribeirão Cubatãozinho.

3.2.1. - Solos em Poços

a) Perfil P_1 (Anexos I/A, B, C, D e E)

- O perfil P_1 representa um tipo de solo constituído, grosseiramente, por um horizonte A de cor escura com espessura aproximada de 0,40m seguido por um horizonte B argilo-arenoso e cor amarronzada.

A mudança desse para o horizonte C, na profundidade de 2,00m, somente é perceptível pela presença de fragmentos de rocha (gnáisse?) com restos intemperizados de sulfetos (pirita). Esse horizonte possui uma espessura de 1,40m quando atinge a rocha mineralizada (veio de quartzo com sulfetos).

- A distribuição dos teores dos elementos traço Cu, Pb, Ni e Co obtidos por água régia não ultrapassam, em valores absolutos, o limite de 70 ppm e seus comportamentos são semelhantes nas granulometrias estudadas - malha menor do que 40/maior do que 80 e ma-

lha menor do que 80 (-40/+80 e -80).

O Zn revela-se mais expressivo para os resultados analíticos obtidos da fração granulométrica malha menor do que 80 nas bases dos horizontes B e C do perfil do solo.

- Nas porções superficiais do mesmo perfil os teores dos elementos mostram $Zn > Pb > Co > Cu > Ni$, enquanto, em profundidade o $Zn > Cu > Pb > Co > Ni$.
- O Co e o Ni possuem teores baixos (5 a 18 ppm), entretanto, o primeiro é sempre maior do que o segundo, embora, estejam distribuídos uniformemente ao longo do perfil.
- Com exceção do Zn os teores dos demais elementos obtidos por ácido nítrico mostram-se distribuídos de forma semelhante aos extraídos por água régia. O Pb, Ni e Co possuem comportamentos aproximadamente similares embora exista uma leve tendência para o decréscimo dos seus teores com a profundidade - $Zn > Pb > Cu > Co > Ni$. O Cu acompanha os demais elementos (10 a 20 ppm) registrando-se em pico isolado (50 ppm) na base do horizonte B. O Zn constitui-se uma clara excessão ao comportamento geral apresentado acima em decorrência da sua distribuição típica num perfil pedogenético evoluído - um destacado patamar de teores mais altos (50 a 60 ppm) ao longo do horizonte B do que os demais teores (10 a 20 ppm) situados na base e topo desse horizonte.

- A distribuição de Fe e Mn são similares entre si, tanto no conjunto de dados obtidos pelas diferentes aberturas químicas e granulometria.
O Fe se distribui uniformemente tendo relações diretas com Cu, Pb, Ni e Co, enquanto o Mn revela valores altos em superfície(900 ppm) contra baixos teores(300 ppm) em profundidade esboçando uma melhor associação com o Zn do que com os demais elementos analisados.
- Entre as aberturas químicas consideradas fracas - EDTA, ácido clorídrico e ácido ascórbico - a comparação das distribuições dos teores dos elementos do perfil do solo revela comportamentos semelhantes apesar das diferentes eficáciais de cada ataque químico, ou de ácido clorídrico > ácido ascórbico > EDTA.
- Todos os elementos são distribuídos uniformemente nos perfis representativos das três aberturas químicas, embora os seus valores sejam mais expressivos no topo desses perfis e se dispõe aproximadamente de modo que Pb>Zn>Co>Cu>Ni.
- O Fe e o Mn possuem expressões distintas nos diversos perfis analíticos.
 - O Fe muito mais do que o Mn mostra-se enriquecido no horizonte C, no perfil EDTA e nas duas granulometrias.

- Extraídos por ácido clorídrico os teores desses elementos estão diretamente associados e são mais expressivos no topo do horizonte B.
- No perfil (Ácido Ascórbico) os teores são altos nas suas extremidades (inferior e superior) e baixos no horizonte B.

b) Perfil P_2 (Anexos II/A, B, C, D, E).

- O perfil P_2 foi planejado com o objetivo de representar um solo desenvolvido sobre rochas encaixantes não mineralizadas e está situado a 450 m a noroeste do perfil P_1 .
- É constituído por um horizonte A arenoso, cor escura e com 0,40 a 0,60 m de espessura. O horizonte B caracteriza-se, de modo confuso, por um horizonte transicional AB muito expesso e, por fim, assume uma coloração avermelhada, textura argilosa e presença de alguns fragmentos de quartzo sub-angulosos. Nesse perfil - escavado num corte de estrada abandonada, conseguiu-se amostrar até uma profundidade de 2,80 m - não foi possível individualizar o horizonte C, provavelmente, devido à grande espessura deste solo, embora, mudanças na cor avermelhada para uma tonalidade mais clara faça-se notar nos últimos 0,40m do perfil.
- Os teores dos elementos extraídos por água régia revelam comportamentos distintos e formam dois grupos $Pb > Zn > Ni >$

Co e Fe>Mn>Cu.

O primeiro grupo se distribui uniformemente com teores não ultrapassando o limite de 40 ppm, enquanto o segundo grupo apresenta relevos geoquímicos semelhantes, isto é, teores mais baixos nas extremidades do perfil (base e topo do horizonte B) e os maiores valores absolutos (150 ppm Cu, 14% Fe e 1,6% Mn) nas porções medianas do referido horizonte.

- O comportamento dos elementos no conjunto de dados extraídos por ácido nítrico é semelhante àqueles obtidos por água régia, embora, essa mistura ácida tenha demonstrado maior eficácia quando empregada na digestão química das amostras preparadas na fração granulométrica malha menor do que 40/maior do que 80 (-40/+80).

- A distribuição dos elementos, principalmente, Cu, Pb e Zn obtidos da análise por ataques químicos fracos - EDTA, ácido clorídrico e ácido ascórbico - não mostra diferenças importantes entre si. Os comportamentos de Cu e Pb são inversos quando comparados os teores dos perfis EDTA/ácido clorídrico versus ácido ascórbico. Nos primeiros perfis os teores de Pb são, sistematicamente maiores (10 a 15 ppm) do que os de Cu (2 a 10 ppm), enquanto, no último perfil esta relação é invertida.

- Os maiores contrastes do Cu no perfil dos dados obtidos por ácido ascórbico, apesar dos baixos valores absolutos, estabelece uma associação direta entre

o comportamento dos elementos obtidos por este ácido e aquele dos mesmos elementos obtidos por água régia e ácido nítrico. Isto quer dizer que os contrastes de Cu total são acompanhados proporcionalmente pelos contrastes do Cu parcial dosados ácido ascórbico (abertura química seletiva para sulfetos) e se não fosse os baixos valores absolutos, certamente, indicaria uma fonte sulfetada para os teores de cobre nesse perfil.

As semelhantes faixas de variação entre teores dos elementos - com exceção de Cu e Zn -; as associações geoquímicas dos elementos entre as análises por ataques químicos totais e parciais e as características da distribuição primária heterogênea dos elementos sugerem algumas particularidades aos perfis P₁ e P₂, quais sejam:

- a) P₁ e P₂ representam solos que provavelmente estão localizados sobre faixas mineralizadas de modo que o P₁ sobrepõe localmente a faixa milonítica com veios de quartzo com pirita e P₂ situa-se sobre uma provável zona (fora da zona milonítica) mineralizada à pirita com sulfetos de cobre.
- b) Estas indicações corroboram, em princípio, com a heterogeneidade da distribuição dos metais nas rochas e levam a crer na existência de várias faixas mineralizadas, distribuídas erraticamente na área sem aparentes controles paragenéticos, tex-

turais e estruturais.

c) A distribuição de Cu e Zn nos dois perfis - apresentam contrastes mais expressivos do que os demais elementos - indica a profundidade de 0,80 a 1,00m como a mais segura na amostragem do solo para a detecção de teores anômalos.

3.2.2. - Solos em Malha (Anexos III a VII/A, B, C, D e E).

O pequeno número de amostras analisadas (13 estações de amostragem) dificultou o delineamento dos halos de dispersão dos elementos traço.

Apesar da imprecisão das configurações (extensão e forma) as dispersões de Cu, Pb, Zn, Ni e Co são, em termos gerais, muito semelhantes entre si, quando comparadas as diferentes profundidades, frações granulométricas e aberturas químicas. Embora este seja o comportamento geral, uma análise dos casos, em particular, permite destacar:

- O halo de dispersão de Cu tanto para os ataques fortes (água régia e ácido nítrico) quanto para as aberturas parciais (EDTA, ácido clorídrico e ácido ascórbico) possuem formatos e extensões similares a apresentam maiores enriquecimento na quadrante SW e na porção mais central da malha.
- Mesmo com as diferentes eficiências de digestão das cinco (água régia > ácido nítrico > ácido clorídrico > EDTA > ácido ascórbico) aberturas químicas estudadas os comportamentos da dispersão do Pb são rigorosamente semelhantes. O halo formado é de redu-

sido tamanho em forma de "caroço de feijão" e situa-se na parte centro-leste da malha.

- O Zn possui um padrão de dispersão mais amplo do que os demais com formatos semelhantes entre os resultados obtidos por água régia, ácido nítrico e ácido ascórbico. As porções centrais a sul possuem as maiores concentrações desse elemento.
- Os quadrante SE e SW são as partes da malha onde os halos de dispersão do Ni e Co se localizam preferencialmente, indicando dois polos de maior concentrações desses metais.
- A dispersão do Fe se expressa de diversas formas, função do tipo de ataque químico utilizado na análise desse elemento. A excessão dos ataques totais os halos provenientes das demais aberturas não possuem quaisquer traços de similaridade.
- Ao contrário do Fe, o Cu mostra, indistintamente, expressões anômalas localizadas preferencialmente no quadrante SE da malha, embora os seus formatos não tenham semelhanças entre si.

O tratamento dos dados através dos cálculos dos percentis 70 e 95 permitiu a delimitação dos halos de dispersão dos metais no solo, embora os seus valores absolutos sejam baixos e os decorrentes contrastes geoquímicos ($4xCu$, $6xPb$ e $5xZn$) dificilmente refletem concentrações importante de sulfetos de Cu, Pb e Zn no espaço geográfico coberto pela malha de solos. Nesse caso, o espaçamento de

50 x 50 mostram-se mais eficazes na delimitação dos halos.

Embora não exista uma tendência de superposição dos halos de dispersão dos elementos, numa região específica da malha as suas disposições registradas não conduzem a qualquer indício de deslocamentos topográficos dos mesmos halos.

Os dados obtidos da análise das 26 amostras -13 estações de amostragem com duas amostras (profundidades A e B) - por espectrografia de emissão ótica revelaram:

- Dos 30 elementos analisados os teores de Ag, Zn, Au, Bi, Be, Mo, Sb, Sn e W não foram registrados em virtude das suas baixas concentrações, isto é, os seus valores não ultrapassaram os seus limites de detecção definidos pelo método em questão: (Ag-1ppm; Zn-200ppm; Au-20ppm; Bi-10ppm; Be-5ppm; Mo-5ppm; Sb-200ppm; Sn-5 ppm e W-300ppm). (Anexo XIII/A a U)
- Os teores de Cu, Pb, Ni e Co obtidos por esse método definem halos de dispersão com formatos semelhantes aos padrões de dispersão dos mesmos elementos analisados por espectrofotometria de absorção atômica. Por outro lado, os contrastes geoquímicos são mais expressivos quando as amostras são dosadas por espectrografia de emissão ótica.
- Os elementos restantes analisados por EE a partir de uma comparação visual do formato dos seus halos são divididos em três grupos de associações geoquímicas: As-Pb-B-Cr; Mn-Mg-Cu-Ba-Yb-Y-Nb-Sn-Zn e Cu-Ni-Co-V-Ti-Se-Ga-La.

- O primeiro grupo caracteriza-se por halos de extensão reduzidos e localizados na região centro-leste da malha. O segundo grupo define-se por maiores concentrações dos seus elementos nas porções centrais e sudoeste da malha e, o terceiro grupo as zonas centrais e sudeste registram os maiores enriquecimentos dos elementos.

3.3. - Sedimento de Corrente (Anexos IX e X/A, B, C, D e E).

A definição do padrão de dispersão geoquímica da área por sedimento de corrente baseia-se nos estudos comparativos entre os dados obtidos em análises de diferentes frações granulométricas, aberturas químicas e métodos analíticos.

3.3.1. - Espectro fotometria de fotometria de Absorção Atômica (AA)

a) Ataques "totais"

- Os teores dos elementos traço à excessão do zinco, revelam padrões de dispersão semelhantes em forma e extensão ao longo do curso d'água que drena a mineralização. Esta similaridade é registrada nos conjuntos de dados obtidos da análise tanto por água régia e ácido nítrico quanto nas duas granulometrias (-80 e -40/+80).

- O comportamento homogêneo das dispersões de Cu, Pb, Ni e Co e os seus baixos valores absolutos indica a inexistência de concentrações importantes associadas a faixa mineralizada - veios de quartzo com sulfetos - tomada como

fonte primária dos metais para a execução dos trabalhos orientativos.

- Os teores de zinco são os mais elevados, principalmente, no conjunto de dados obtidos das análises da fração malha menor do que 80, do que os demais e, definem um perfil geoquímico caracterizado por um tímido decaimento dos teores no trecho à jusante da mineralização.

Os resultados analíticos de Ag estão sempre abaixo do limite de detecção inferior do método(1ppm) analítico em pregado e os teores de As salvo duas excessões, raramente ultrapassam os referidos limites(0,5 ppm) para esse elemento.

- Os teores de Cu, Pb e Zn das amostras localizadas nos córregos vizinhos, supostamente "estéreis", na maioria das vezes são maiores, em números absolutos, do que os correspondentes teores das derradeiras amostras do ribeirão amostrado - amostras localizadas próximas à confluência do córrego "mineralizado" com o coletor principal. Este fato reduz a segurança que se teria para o estabelecimento da extensão mínima(400 metros) do "trem" de dispersão dos elementos.

b) Ataques Parciais

- Os padrões de dispersão dos elementos ao contrário do item anterior, são distintos entre si, quando comparados as diferentes frações granulométricas e

os três ataques químicos considerados parciais-EDTA, ácido clorídrico e ácido ascórbico.

- As eficácia de solubilização dessas aberturas químicas são distintas (ácido clorídrico > ácido ascórbico > EDTA) e a variação dos contrastes geoquímicos são proporcionais, principalmente nos dados analisados na fração malha menor do que 80. Ainda nessa fração todos os valores absolutos são, indistintamente, maiores do que os correspondentes da fração malha menor do que 40/maior do que 80.
- No conjunto, os resultados analíticos são baixos e os padrões de dispersão dos metais variam uniformemente - do mesmo modo do item a) - com excessão do Zn que esboça um "trem" de dispersão com um decaimento nítido porém de pequena (500 metros) extensão à jusante da mineralização.
- Assim como no item a) anterior, os baixos valores absolutos e os decorrentes baixos coeficientes de solubilização metal parcial/metal total (<50%) asseguram a inexistência de grandes concentrações de sulfetos de Cu, Pb e Zn associados à zona mineralizada em questão. O baixo potencial na concentração dos metais no ambiente primário e as suas expressões correlatas nos sedimentos de corrente dificultam o entendimento do(s) mecanismo(s) de dispersão predominante(s) na área, embora arrisque-se em afir-

mar que devido ao clima úmido, pedogênese evoluída e topografia acidentada existe um tipo composto de dispersão - processo químico inicial seguido por uma distribuição mecânica dos metais nas suas formas químicas oxidadas e resistatos.

c) Espectrografia de Emissão Ótica (Anexos XI e XII/A, B, C e D)

- A distribuição dos elementos analisados por esse método revela, pelo menos, quatro padrões de comportamento:
a) padrão caracterizado por teores mais altos nas extremidades - cabeceira e confluência do córrego amostrado do perfil, do que os teores situados na zona intermediária do mesmo e constituído por Cu-Ni-Co-Cr-Mn-Nb-Ti-V-SC; b) padrão de dispersão inverso ao acima descrito representado somente por Ca; c) decréscimos dos teores dos elementos a partir das cabeceiras até a confluência do córrego amostrado com o ribeirão principal, Pb-Mg-B-Ga-Sr-Co e d) padrão de comportamento inverso do item anterior, isto é, diminuição dos teores no sentido confluência - cabeceira para os elementos Y-Yb-Zr.

- Os elementos Ag, Au, Bi, Be, Mo, Sb, Sn, W e Ba não representam concentrações superiores aos limites de detecção desse método analítico.

- A comparação entre os resultados analíticos das amostras 23, 24 e 25 - representativas dos córregos vizinhos "não mineralizados" - com a amostra 28 - re-

presentante da bacia de captação do córrego mineralizado - releva maiores valores absolutos das primeiras para os elementos com dispersões identificadas nos itens b) e c) enquanto os teores da amostra 28 são maiores somente para o grupo de elementos com padrões de dispersão indicados nos itens a) e d). Isso provavelmente indique a contribuição da zona mineralizada no intenso enriquecimento em Cu, Ni, Cr, Mn, Nb, Ti, V, Sc, Y, Yb e Zr dos sedimentos de corrente situados à jusante da ocorrência mineral.

- Embora os "trens" de dispersão dos elementos possam, grosseiramente, indicar bons índices de correlação de alguns elementos entre si, as caracterizações mais precisas das associações geoquímicas que representam os terrenos mineralizados ou não torna-se uma aventura perigosa e de frágil sustentação devido, principalmente, à comprovada erraticidade, a nível local, da distribuição no ambiente primário de algumas metais, bem como dos precários conhecimentos da paragênese e mesmo da distribuição geográfica das ocorrências minerais na área.

3.4. - Concentrados de Batéia (Anexo XIII)

- Dos metais base, somente os teores de Zn indicam variações entre as amostras de nºs 2, 3 e 10 e restandes variam uniformemente no perfil. O Cu acompanha timidamente a distribuição do Zn.

- Os teores de Ag não foram detectados pelo método analítico empregado (HNO_3-AA) devido as suas baixas concentrações nos concentrados ($> 1,0 \text{ ppm}$).
- Os resultados analíticos de Au revelam um "trem" de dispersão de comportamento inverso ao esperado, ou seja, aumentos dos teores à medida que se distancia da provável "fonte" - veios de quartzo com sulfetos. Esse fato pode ser entendido quando constata-se que o aumento efetivo dos valores absolutos se dá a partir do encontro do córrego amostrado com um de seus "braços" que intercepta diretamente a faixa mineralizada e que certamente, deve estar "alimentando" o referido trecho do curso d'água.

A distribuição errativa das concentrações de Cu, Pb, Zn, Au e Ag no ambiente primário; os baixos teores desses metais, em valores absolutos, em solos, sedimentos de corrente e concentrado de batéia comprometem a potencialidade da "fonte" como ponto de referência para a execução dos estudos geoquímicos orientativos.

3.5. - Variâncias de Amostragem e/ou Analíticas (Anexos XIV A a F).

Os dados analíticos do conjunto "original-replicata-duplicata" foram colocados em uma tabela respeitando-se elementos, granulometria e método de abertura, e plotados em gráficos (Fig. 10) para cada elemento.

Usaram-se os valores da amostra, lançados no eixo das ordenadas, como base, e verificou-se as variações das duplicatas e replicatas, lançadas no eixo das abcissas.

O valor de referência para a variação das duplicatas e replicatas em relação às amostras é de 10%.

Com este valor de referência nota-se, para Cu, Pb, Zn, Ni e Co, que a maioria das variações superiores a 10%

ocorreram com valores absolutos menores do que 10 ppm: nesta faixa, variações de 2 ou 3 ppm, sem significado prático, causaram grandes variações percentuais.

Pelo exame das tabelas pode-se fazer algumas observações:

- As variações entre os pares de amostras controle são distintas quando comparados os dados de frações granulométricas e ataques químicos diferentes.
- Para a fração (-40/+80) são observados discrepâncias somente para Pb, Zn e Co dos dados obtidos por ácido clorídrico. Nessa fração 70% dos pares dos dados de Zn mostram variações importantes.
- No conjunto de dados obtidos das análises na fração (-80) as discrepâncias são mais constantes do que as verificadas no item anterior e estão relacionadas aos dos resultados analíticos obtidos por EDTA e ácido clorídrico. O Zn seguidos pelo Pb e Cu são os elementos que apresentam maiores números de discrepâncias.
- Em termos gerais as variâncias entre os pares das amostras controle acontecem com participações iguais entre os pares das amostras duplicatas e replicatas.

Considerando as observações acima, o grande número de variáveis envolvido na obtenção dos resultados analíticos - estilo de coleta composicional, problemas de homogenização e bipartição da amostra, preparação, abertura, dosagem - pode-se concluir os processos de amostragem e de análise são de qualidade aceitável; as discrepâncias observadas são em número reduzido considerando-se a quantidade de dados analisados (835) não comprometem os resultados desse trabalho.

IV. CONCLUSÕES

As informações obtidas das observações das feições geológicas e fisiográficas locais, bem como, resultado das análises geoquímicas dos diversos tipos de materiais amostrados permitem concluir:

- a) A área estudada tem como ponto de referência uma ocorrência mineral constituída de sulfetos, predominantemente, pirita que ora preenchem fraturas secundárias de zonas milonitizadas e ora disseminadas nas rochas encaixantes (quartzito-clorita xistos) com altos teores de Cu, Zn, Ag, Au e Sb.
- b) Regionalmente a mineralização está inserida numa seqüência de unidades litológicas caracterizada da base para o topo por embasamento metamórfico, granito intrusivo, sequência xistosa, diques de diabásio e cobertura quaternária.
- c) A área é drenada pelo ribeirão Cubatãozinho e seus afluentes dos quais o Rio do Cerne, com aproximadamente 3,0 Km de extensão, intercepta a faixa mineralizada.
- d) Cristas íngremes, com 1.500 metros de altitude; vales profundos em forma de V(vê); clima úmido e solos espessos e maduros caracterizam a fisiografia local.
- e) A distribuição dos elementos traço na rocha assume um comportamento errático e heterogêneo, principalmente para os metais base, dos quais não se percebe uma tendência de concentração preferencial na faixa sulfetada e/ou nas rochas encaixantes.
- f) O solo é um meio eficaz na delimitação dos halos de dispersão dos metais base Cu e Zn, desde quando, amostrado no topo do horizonte B (0,80 a 1,00m) de profundidade em malhas com o espaçamento 50x50 que oferece a melhor margem de segurança.

- g) Tanto as frações granulométricas (malha menor do que 40/maior do que 80 e malha menor do que 80) quanto as diferentes extrações (água régia, ácido nítrico, EDTA, ácido clorídrico e ácido ascórbico) delimitam a extensão do halo de dispersão dos elementos estudados embora esses halos não se superponham.
- h) A boa correlação entre os teores de Cu extraídos por águia régia e ácido ascórbico no perfil de solo P₂, apesar dos baixos valores absolutos, podem indicar uma fonte enriquecida em sulfeto de cobre.
- i) Os teores dos elementos, em termos gerais, são baixos em valores absolutos quando analisados pelos diferentes métodos - Espectrofotometria de Absorção Atômica(AA) e Espectrografia de Emissão Ótica(EE) - embora os contrastes mais expressivos tenham sido obtidos por (AA).
- j) Dos 30 elementos analisados por (EE) Ag, Zn, Au, Bi, Be, Mo, Sb, Sn e W não apresentaram concentrações suficientes para serem detectados acima dos limites inferiores de detecção do método.
- k) Os efeitos de topografia responsáveis pelos deslocamentos das anomalias não são registrados apesar do relevo, accidentado que caracteriza a área. A melhor identificação desses efeitos talvez esteja prejudicada devido ao pequeno (13) número de estações de amostragem escolhidas na malha para serem analisadas.
- l) Nos sedimentos de corrente o padrão de dispersão dos metais base extraídos por ácidos fortes possuem formato e extensão aproximadamente semelhantes embora os melhores contrastes sejam indicados na fração malha menor que 80. Por outro lado, a dispersão desses elementos obtidos por aberturas parciais são distintos entre si nas granulometrias estudadas, cabendo à fração malha menor do que 80 apresentar os contrastes mais expressivos.

- m) No conjunto, os resultados analíticos são baixos em valores absolutos e os padrões de dispersão dos metais - à exceção do zinco - definidos a partir desses dados assumem um comportamento uniforme evidenciando o baixo potencial de concentração dos referidos metais na faixa mineralizada.
- n) Dos elementos analisados por (EE) em sedimentos de corrente os elementos Ag, Au, Bi, Be, Mo, Sb, Sn, W e Ba apresentam concentrações abaixo dos seus limites de detecção, enquanto os demais se associam em quatro grupos de acordo com seus padrões de dispersão: a) Cu-Ni-Co-Cr-Mn-Nb-Ti-V-Sc, b) Ca; c) Pb-Mg-B-Ga-La-Sr-Co e d) Y-Yb-Zr.
- o) Os resultados analíticos das amostras de concentrado de bateia definem um padrão de dispersão uniforme para os metais, à exceção do zinco. Os teores de prata estão em concentrações insuficientes para serem detectados pelo método (AA) de análise.
- p) A dispersão do ouro mostra um comportamento inverso ao convencionado, isto é, a variação dos teores é diretamente proporcional a distância das estações de amostragem em relação à mineralização.
- q) A distribuição do areênio nos sedimentos de corrente acompanha timidamente a dispersão do ouro nos concentrados de bateia apresentando teores muito baixos e contrastes inequívocos.
- r) O entendimento do(s) mecanismo(s) de dispersão predominante(s) na área ficou prejudicado pela fraca expressão geoquímica da mineralização através os meios amostrados, embora o relevo acidentado, o clima úmido e os intensos processos pedogenéticos corroboram com a indicação de mecanismos de dispersão combinados - inicialmente dá-se o processo químico e posteriormente o físico - para a área em estudo.

s) As amostras em replicatas e duplicatas analisadas em diferentes frações granulométricas e aberturas químicas mostraram discrepâncias entre seus resultados analíticos, indicando problemas de laboratório e mesmo de amostragem, que por sua pequena constância e reproducibilidade não comprometem os dados geoquímicos utilizados nesse trabalho.

V. RECOMENDAÇÕES

Abaixa concentração dos metais base na mineralização escolhida como ponto de referência para os estudos orientativos na Serra do Mar, ficou amplamente constatada pelos baixos valores absolutos e inexpressivos relevos geoquímicos registrados por esses metais nos diversos tipos de amostras coletadas - sedimentos de corrente, concentrados de bateia e solos.

Esse fato dificultou mas não impediu a definição dos parâmetros prospectivos a serem empregados no âmbito desse ambiente geológico e fisiográfico particular principalmente considerando-se que:

- Para atingir amplamente os objetivos dos estudos orientativos devem ser escolhidas as ocorrências minerais mais representativas do ambiente geológico que se pretende pesquisar. Por problemas de logística, desconhecimento de depósitos de maior variedade e potencial mineral e, consequentemente, sem dispor de uma escolha alternativa, elegeu-se a mineralização do Ribeirão Valentim para ser estudada.
- Esse depósito mineral, certamente, não seria o único tipo que caracteriza esse ambiente particular, portanto o seu padrão anômalo não representa a paisagem geoquímica da

área como um todo mas um reflexo geoquímico isolado da mineralização do tipo e porte daquela tomada como ponto de referência. Isso significa afirmar que o emprego dos parâmetros prospectivos - técnicas de amostragem, analíticas e interpretação - definidos a partir desse padrão anômalo indicará, com uma razoável margem de segurança, depósitos minerais com expressões geoquímicas similares àquelas da mineralização estudada e, com ótima margem de segurança, depósitos de maior potencial.

Desse modo recomenda-se os seguintes métodos de trabalho: (Tabela 2).

5.1. - Levantamento ^{EM} à Nível Regional e Semi-Detalhe

a) Técnicas de Amostragem

- Material do tipo sedimento ativo de corrente amostrado no estilo composicional.
- Estações de amostragem representando cursos d'água com aproximadamente 2,0 Km de extensão e bacias de captação com de 5 a 10 Km².
- Material do tipo concentrado de bateia, como informação complementar com estações de amostragem representando cursos d'água de aproximadamente 5 Km e bacias de captação de até 15 Km².

Os parâmetros - extensão do córrego a ser amostrado e tamanho de bacia de captação - ficaram definidas a partir dos trens de dispersão de Zn e Au em sedimentos de corrente e concentrados de bateia, respectivamente.

b) Técnicas Analíticas

- As amostras de sedimento de corrente devem ser peneiradas e separadas as aliquotas de fração malha menor do que 80, enquanto que as amostras de concentrados de bateia devem ser pulverizadas e reduzidas a uma fração malha menor que 200.
- As aliquotas de sedimento de corrente devem ser

dosadas para Cu, Pb, Zn, Ni, Co, Fe, Mn, Mo e Ag por espectrofotometria de absorção atômica (AA) após ataque com águia régia 3:1, a quente, exceto o Mo e As que devem ser dosados após abertura por ácido fluorídrico e geração de vapor, respectivamente.

- *As amostras de concentrado de bateia devem ser analisadas para Au e Sn de modo que o ouro seja dosado por (AA) após extração por águia régia e o estanho por espectrografia de emissão ótica.*

A decisão da análise dos elementos indicados - exceto o Zn que mostra um nítido "trem" de dispersão nos sedimentos de corrente - foi definida mais em função do potencial do ambiente geológico estudado do que por suas expressões geoquímicas registradas.

c) Técnicas de Interpretação

- *A confiabilidade dos dados geoquímicos deve ser testada e avaliada, através das amostras replicatas e duplicatas. A análise deve ser visual após estabelecido o limite de 10% de variância.*
- *Os dados devem ser separados em populações de acordo com a variação litológica regional e testados a normalidade das suas distribuições/população.*
- *Os níveis de magnitudes crescentes (teor normal, limiar e anomalia) devem ser definidos pela divisão dos dados em percentis (90, 95, 97,5 e 99) ou através do cálculo da média geométrica e do desvio padrão geométrico ($MG \pm DG$, $MG \pm DG^2$, e $MG \pm DG^3$).*
- *As amostras consideradas anômalas devem ser reanalisadas.*
- *As amostras anômalas devem, sistematicamente, ser analisadas por absorção atômica após abertura por H_2O_2 /Ácido Ascórbico/Aacetato de Amonia.*

- As verificações de campo nas zonas anômalas, devem ser executadas juntamente com a reamostragem das estações anômalas.
- Para a rotina de interpretação os três últimos itens mencionados devem ser considerados imprescindíveis.

5.2. - Levantamento de Detalhe (Fases A e B)

a) Técnicas de Amostragem

- Fase A

Coletas amostras de solo dispostas num alinhamento ao longo da meia encosta que circunda a bacia de captação anômala, com espaçamento de no máximo 100m e profundidade 0,80 a 100 metros.

- Fase B

Coletar amostra de solo, a partir da área indicada na Fase A, em estações dispostas numa malha com retículo de 50x50 m e profundidade em torno de 0,80 a 1,00 metro.

b) Técnicas Analíticas

- Todas as amostras devem ser peneiradas e separadas as aliquotas na fração malha menor do que 80.
- Todas as aliquotas devem ser analisadas para Cu, Pb, Zn e As por espectrofotometria de absorção atómica após abertura por águia régia 3:1, a quente.

c) Técnicas de Interpretação

- Fase A

Os dados devem ser plotados em mapas que focalizem em detalhe (escala 1/10.000), a bacia de captação anômala e comparados visualmente com os resultados dos sedimentos de corrente da fase

de semi-detalhe. Esse procedimento deve indicar alvos mais restritos, nos quais, deverão ser planejados amostragem dos solos em malha (Fase B).

- *Fase B*

- *Os teores dos elementos devem ser plotados em separados nas estações previstas na malha planejada.*
- *Os limites do halo de dispersão dos elementos analisados são definidos pelos cálculos dos percentis (70, 90, 95 e 97,5) e pelo registro das curvas de isopercentis.*
- *Como etapa final dessa fase devem ser planejados e executados os testes de consistência das anomalias que prevêm escavações de poços e trincheiras.*

LEVANT.	AMOSTRA	REPRESENTATIVIDADE		MÉTODO	FRAÇÃO	ABERTURA	ANALISE QUÍMICA	ELEMENTOS	OBSERVAÇÕES
		Bacia Captação Km	Prof. metro						
	Sa	05/10	-	AA	- 80	AR	Cu, Pb, Zn, Ni, Co, Fe e Mn	- As amostras consideradas anomais devem ser reanalisadas e dasadas P/ Cu, Pb e Zn após abertura por ácido descorbico	
	Sa	05/10	-	AA	- 80	HF	Mo		
	Sa	05/10	-	AA	- 80	GV	As		
	Cb	15	-	AA	- 200	AR	Au	*	
	Cb	15	-	EE	-200	-	Sn		
SEMIDETALHE	Cb	-	-	EE	-200	-	Sn		
DETALHE	Solo Encosta	-	-0, 80-1, 00	AA	- 80	AR	Cu, Pb e Zn		
FASE A	Solo Encosta	-	-0, 80-1, 00	AA	- 80	GV	As		
DETALHE	Solo	-	-0, 80-1, 00	AA	- 80	AR	Cu, Pb e Zn		
FASE B	Solo	-	-0, 80-1, 00	AA	- 80	GV	As		
CONSISTÊNCIA DE DADOS									
Trincheiras poços - tipo canal									
"	"	-	-	AA	- 80	AR	Cu, Pb, Zn e Au		
"	"	-	-	AA	- 80	GV	As		
"	"	-	-	EE	-200	HF	Mo		
		-	-	EE	-200	-	Sn		

AA - Esp. Absorção Atômica
 EE - Esp. Emissão Ótica
 AR - Água Régia
 HF - Ácido Fluorídrico
 GV - Geração do vapor

Tabela 2 - RESUMO DAS RECOMENDAÇÕES

VI. REFERÊNCIAS BIBLIOGRÁFICAS

1. ARIOLI, E.E. e DUSCZCZAK, S.C. (1980) - Reconhecimento Geológico e Avaliação de Potencialidade das Ocorrências Minerais da Serra da Prata, Guaratuba-PR - Relatório Interno MINEROPAR.
2. ARIOLI, E.E. e FALCADE, D. (1980) - Projeto Ferro - Relatório Interno MINEROPAR.
3. FOSTER, V.R. (1973) - The Efficiency of Various Digestion Procedures on the Extraction to Metals from rocks and Rock Forming Mineral. Can. Min. Metal (CIM) Bulletin. Aug. 1973 p.85-92
4. PEACHEY, D. and ALLEN, B.P. (1977) - An Investigation into the Selective Dissolution of Sulphide Phases from Stream Sediments and Soils. - Journal of Geochemical Exploration, 8, 581-577.
5. RATTI, G. (1979) - Avaliação de Ataques Químicos para Determinações Geoquímicas por Espectrofotometria de Absorção Atómica - Dissertação de Mestrado USP - São Paulo.
6. THOMSON, I. (1979) - Geochemical Studies in Central - West Brasil - Final Report of Pilot Phase of the PGBC-Barineer Research Limited, Toronto, Ontario, Canadá.

RELAÇÃO DAS FIGURAS

1. FIGURA 1 - Mapa de Localização da área da Serra da Prata.
2. FIGURA 2 - Mapa Geológico da área da Serra da Prata.
3. FIGURA 3 - Mapa de Localização das Estações de Amostragem de Solo
4. FIGURA 4 - Mapa de Localização das Estações de Amostragem de Sedimentos de Corrente e Concentrados de Bateia.
5. FIGURA 5 - Esquema Analítico empregado no trabalho.
6. FIGURA 6 - Tabela dos dados de Sedimento de Corrente e Concentrado de Bateia.
7. FIGURA 7 - Perfis geoquímicos dos solos em poços.
8. FIGURA 8 - Mapa de resultados analíticos dos solos em malha.
9. FIGURA 9 - Tabela resumo das informações de rocha.
10. FIGURA 10 - Gráfico p/avaliação visual das variâncias de amostragem e analíticas.

RELAÇÃO DOS ANEXOS

1. ANEXO I/A, B, C, D e E - Perfis geoquímicos do poço P₁-resultados de Água Régia, HNO₃, EDTA, HCl, Ácido Ascórbico.
2. ANEXO II/A, B, C, D e E - Perfis geoquímicos do poço P₂-resultados de Água Régia, HNO₃, EDTA, HCl, Ácido Ascórbico.
3. ANEXO III/A, B, C, D, E, F e G - Mapa de distribuição de Cu, Pb, Zn, Ni, Co, Fe e Mn/granulometria/Água Régia/profundidade.
4. ANEXO IV/A, B, C, D, E, F e G - Mapa de distribuição de Cu, Pb, Zn, Ni, Co, Fe e Mn/granulometria/HNO₃/profundidade.
5. ANEXO V/A, B, C, D, E, F e G - Mapa de distribuição de Cu, Pb, Zn, Ni, Co, Fe e Mn/granulometria/EDTA/profundidade.
6. ANEXO VI/A, B, C, D, E, F e G - Mapa de distribuição de Cu, Pb, Zn, Ni, Co, Fe e Mn/granulometria/HCl/profundidade.
7. ANEXO VII/A, B, C, D, E, F e G - Mapas de distribuição de Cu, Pb, Zn, Ni, Co, Fe e Mn/granulometria/Ácido Ascórbico/profundidade.
8. ANEXO VIII/A a U - Mapas de distribuição de 30 elementos/granulometria/Espectrografia de Emissão Ótica/profundidade.

9. ANEXO IX/A, B, C, D e E - Distribuição de Cu, Pb, Zn, Ni, Co, Fe e Mn e As em sedimentos de corrente (-80)/Abertura química/AA.
10. ANEXO X/A, B, C, D e E - Distribuição de Cu, Pb, Zn, Ni, Co, Fe, Mn e As em sedimentos de corrente (-40/+80) Abertura química/AA.
11. ANEXO XI/A, B, C e D - Distribuição de 30 elementos em sedimentos de corrente (-80) /Espectrografia de Emissão Ótica.
12. ANEXO XII/A, B, C e D - Distribuição de 30 elementos em sedimentos de corrente (-40/+80)/Espectrografia de Emissão Ótica.
13. ANEXO XIII - Distribuição de Cu, Pb, Zn, Ni, Co, Fe, Mn e Au/Água Régia/AA.
14. ANEXO XIV/A, B e C - Tabelas de amostras controle/Cu, Pb, Zn, Ni, Co, Fe e Mn/-80/abertura química.
15. ANEXO XV/A, B e C - Tabelas de amostras controle /Cu, Pb, Zn, Ni, Co, Fe e Mn/-40/+80/abertura química.

ANEXO I/A

REG 160/81
MINERAIS DO PARANÁ S/A.
M.N.DOPAR
BIBLIOTECA

-40/+80

P₁(AR)

VALENTIM

Cu Pb Zn Co Fe Mn

PROFUNDIDADE (metros)
TEOR DO ELEMENTO (PPM)
VALORES TEÓRICOS (PPM)

VALORES TEÓRICOS (PPM)

VALORES TEÓRICOS (PPM)

-80

40

60

80

100

120

140

160

180

200

220

240

260

280

300

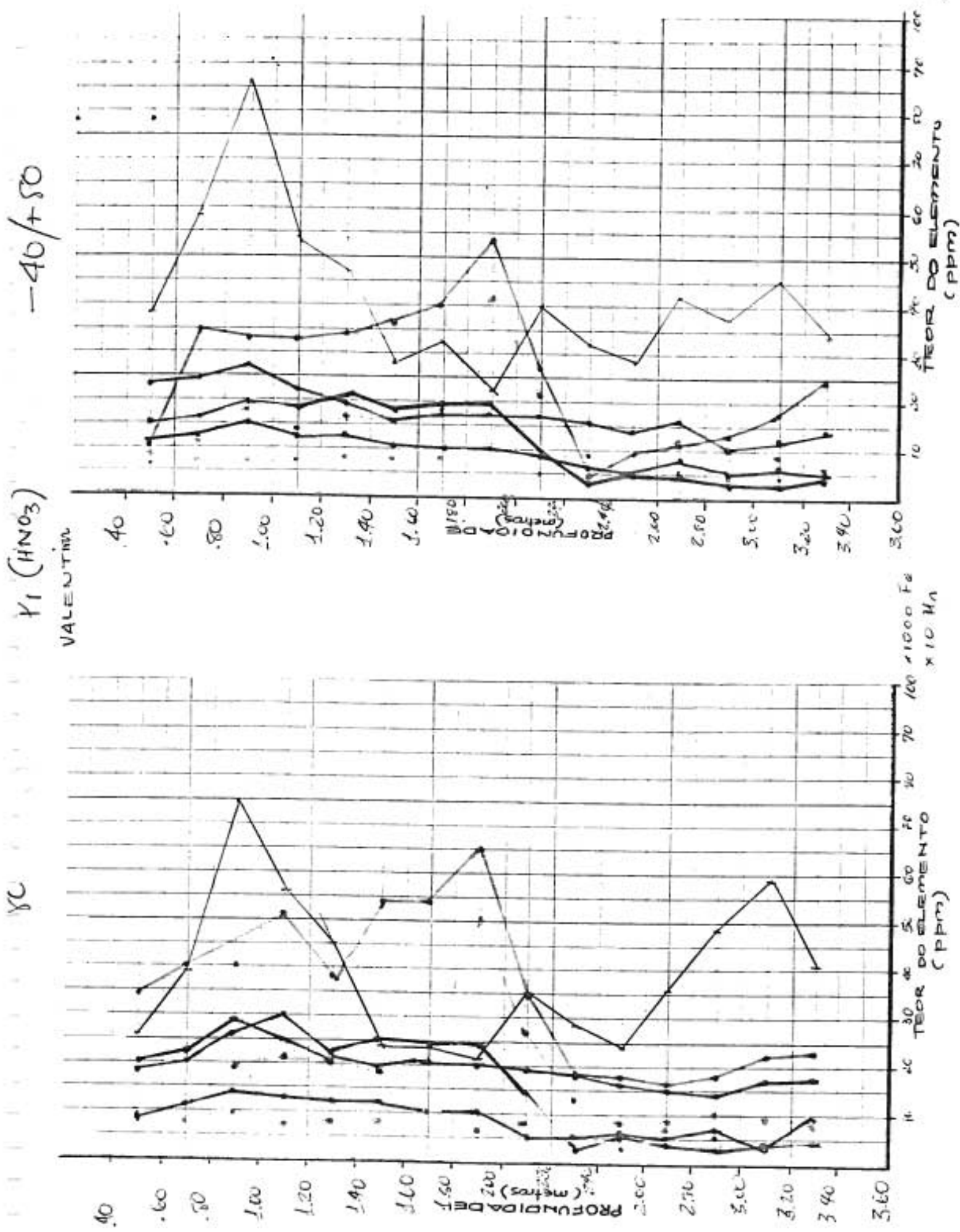
320

340

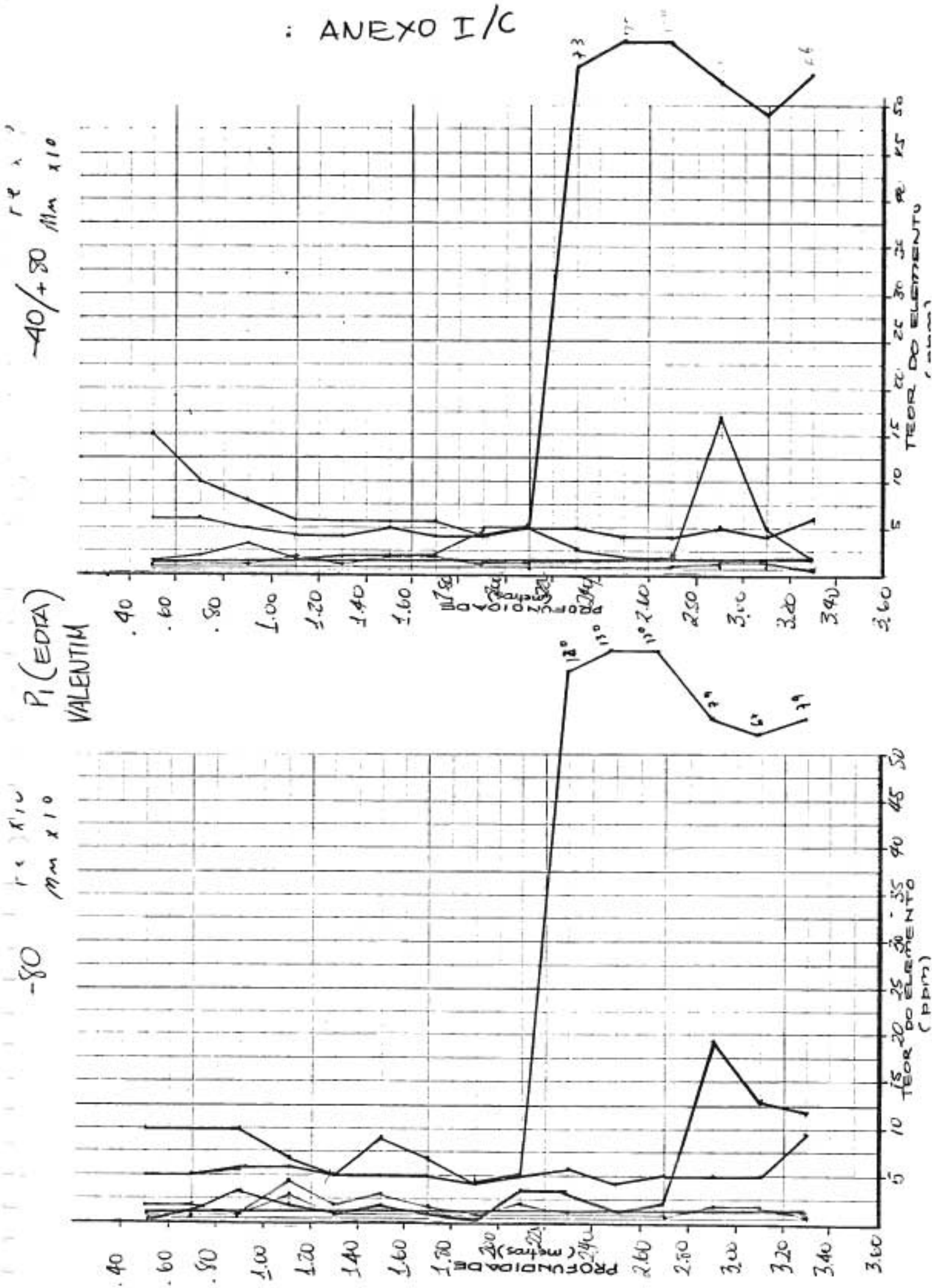
360

VALORES TEÓRICOS (PPM)

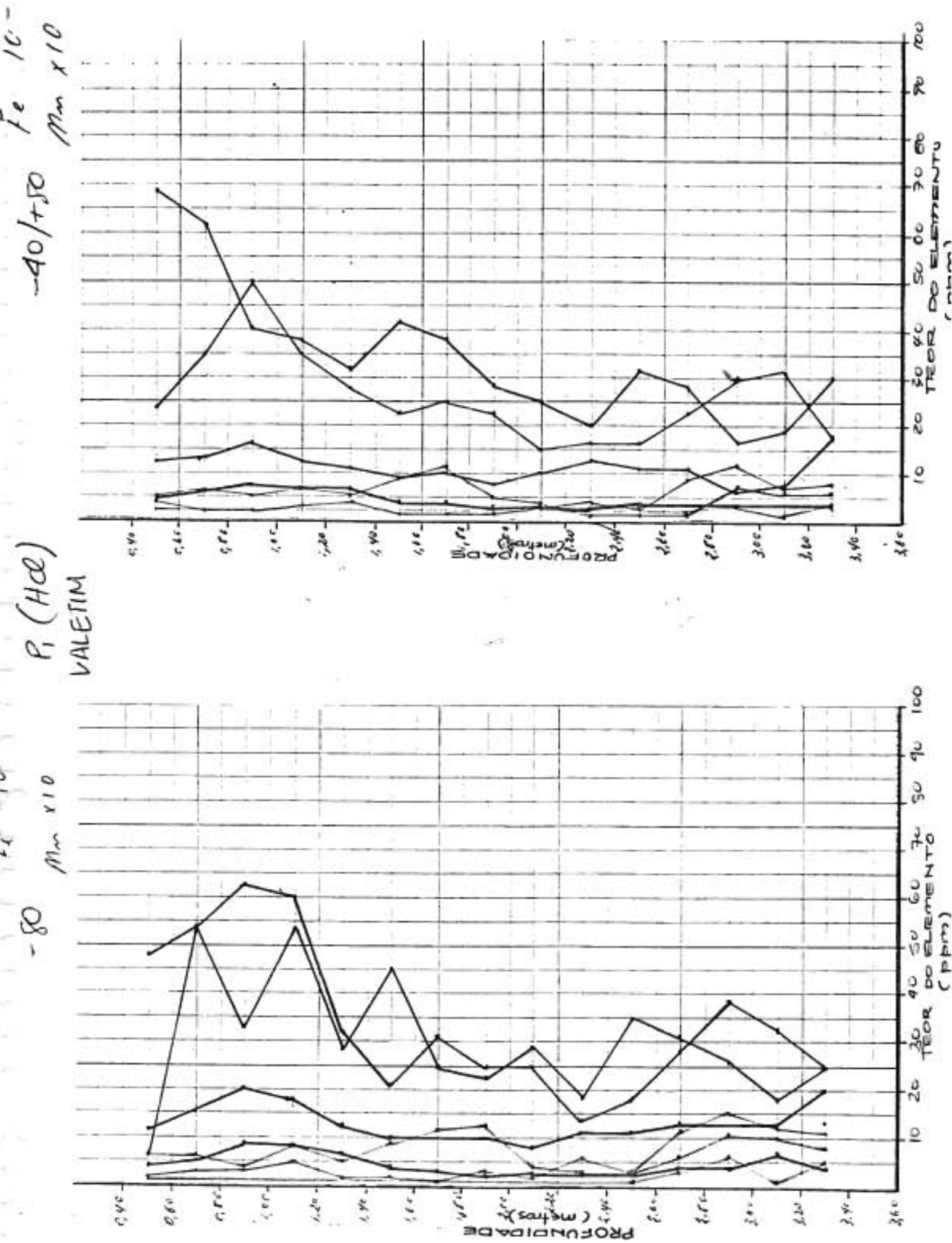
ANEXO I/B



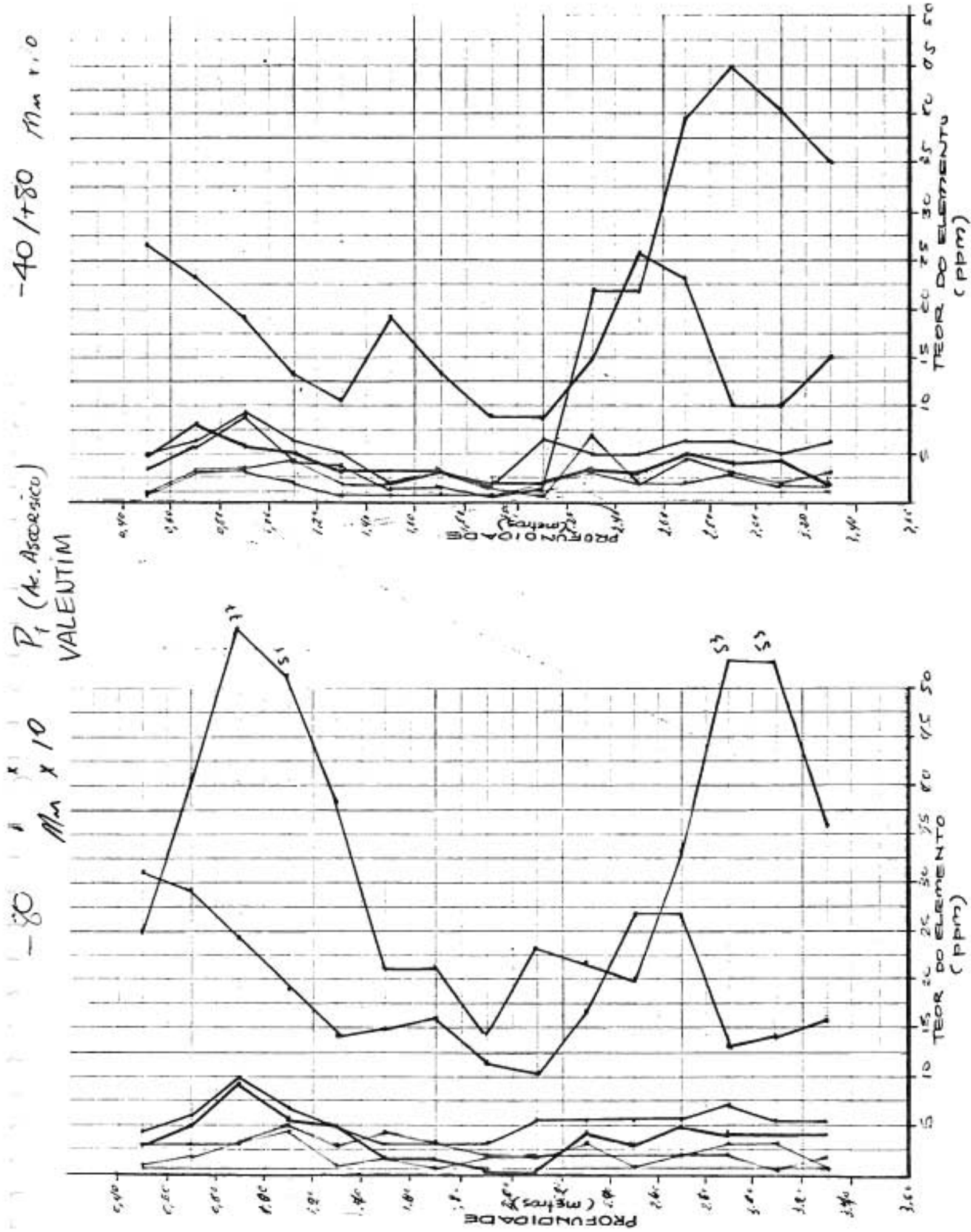
: ANEXO I/C



ANEXO I/D

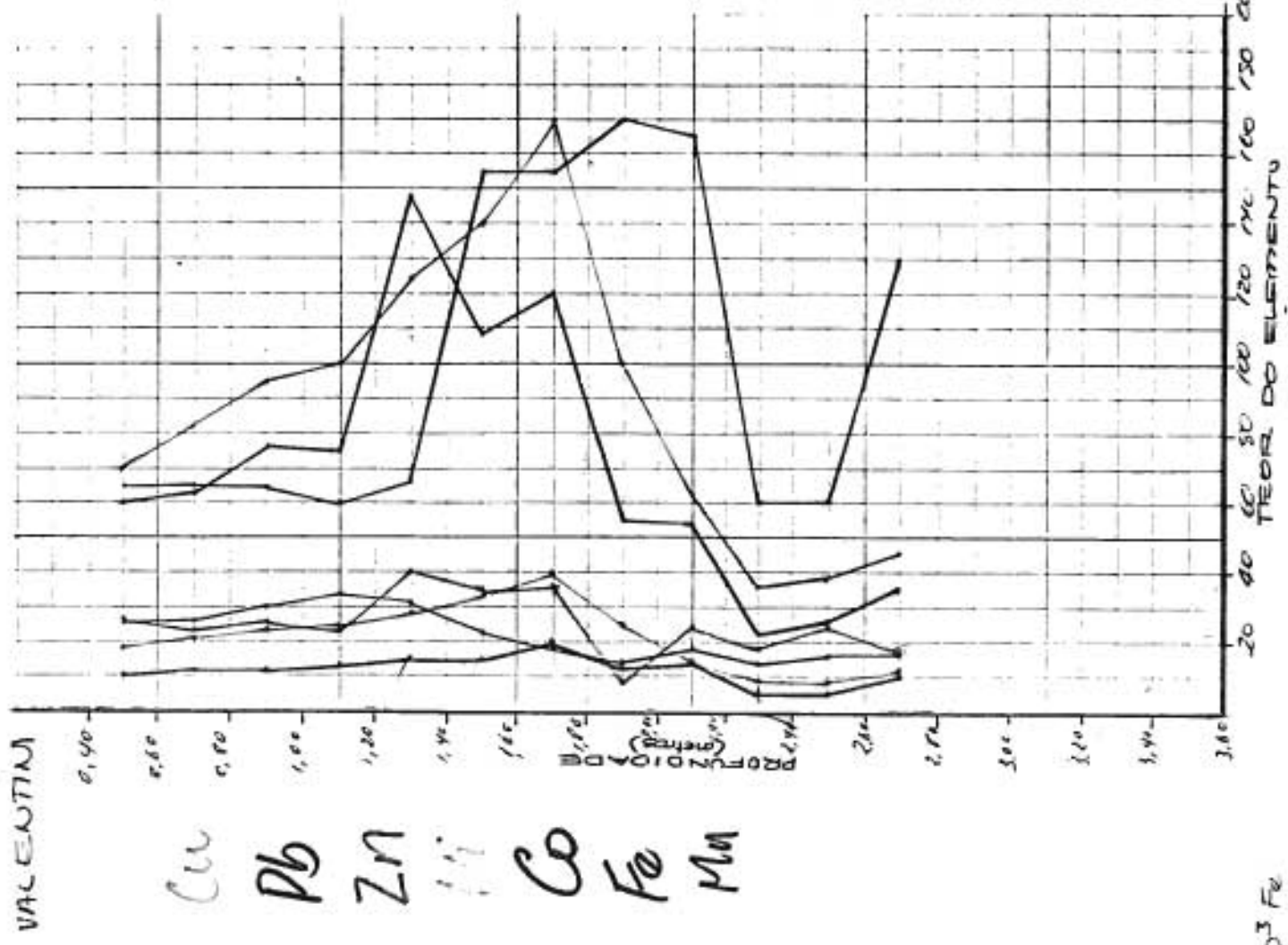


ANEXO I / E

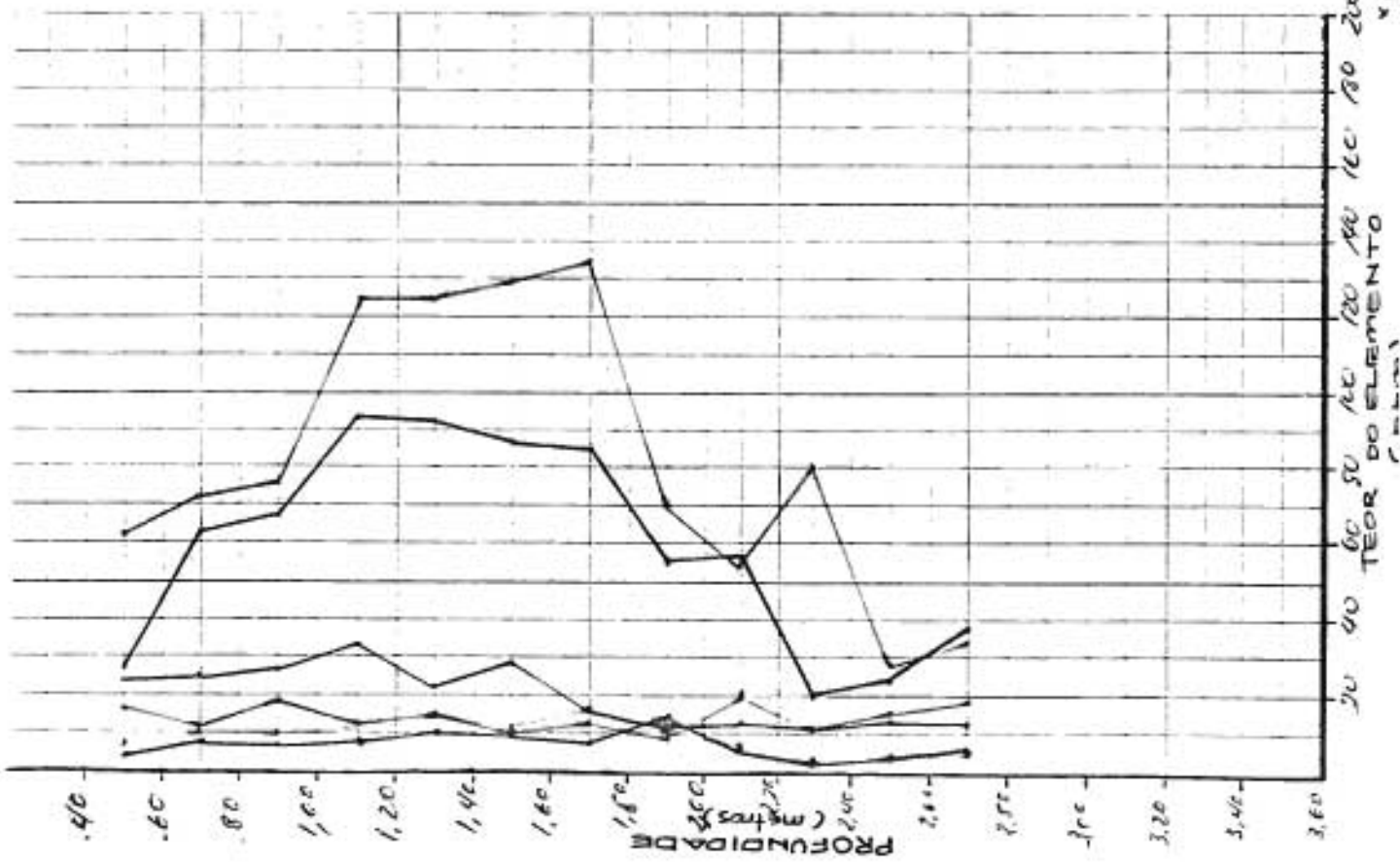


ANEXO II/A

40/+50



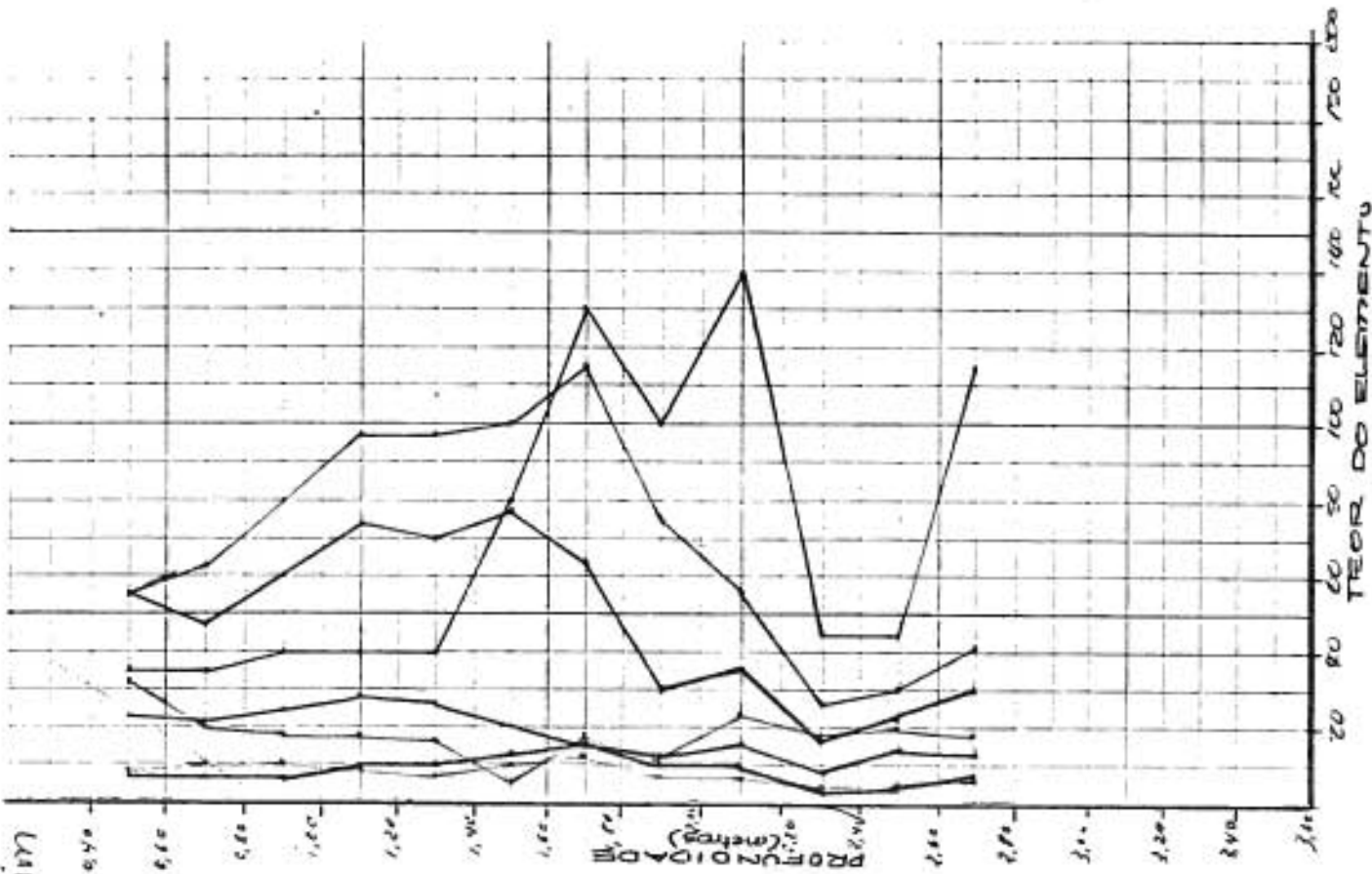
-80



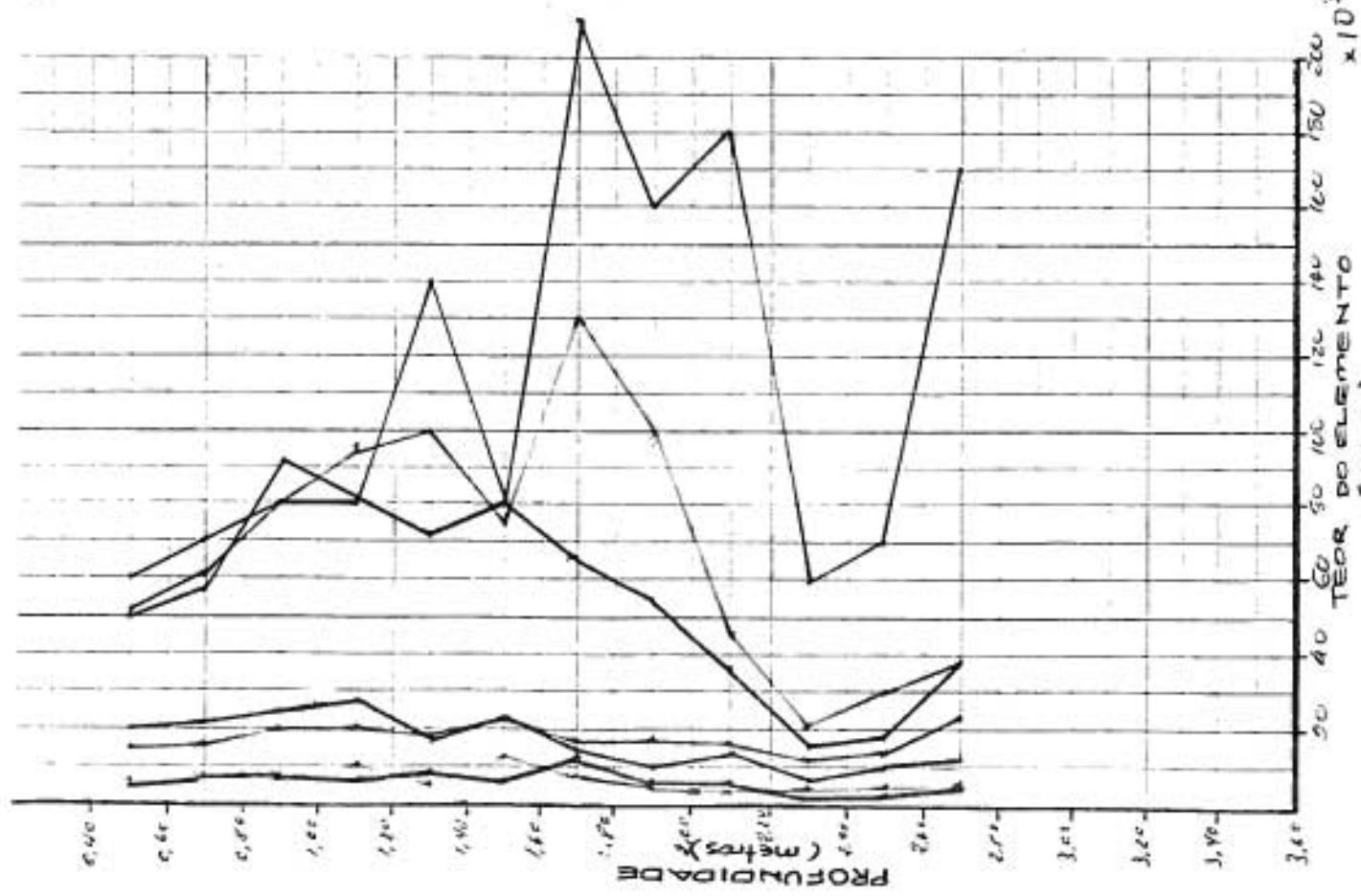
ANEXO II/B

-40/+80

$P_2 (A\text{NO}_3)$



-80

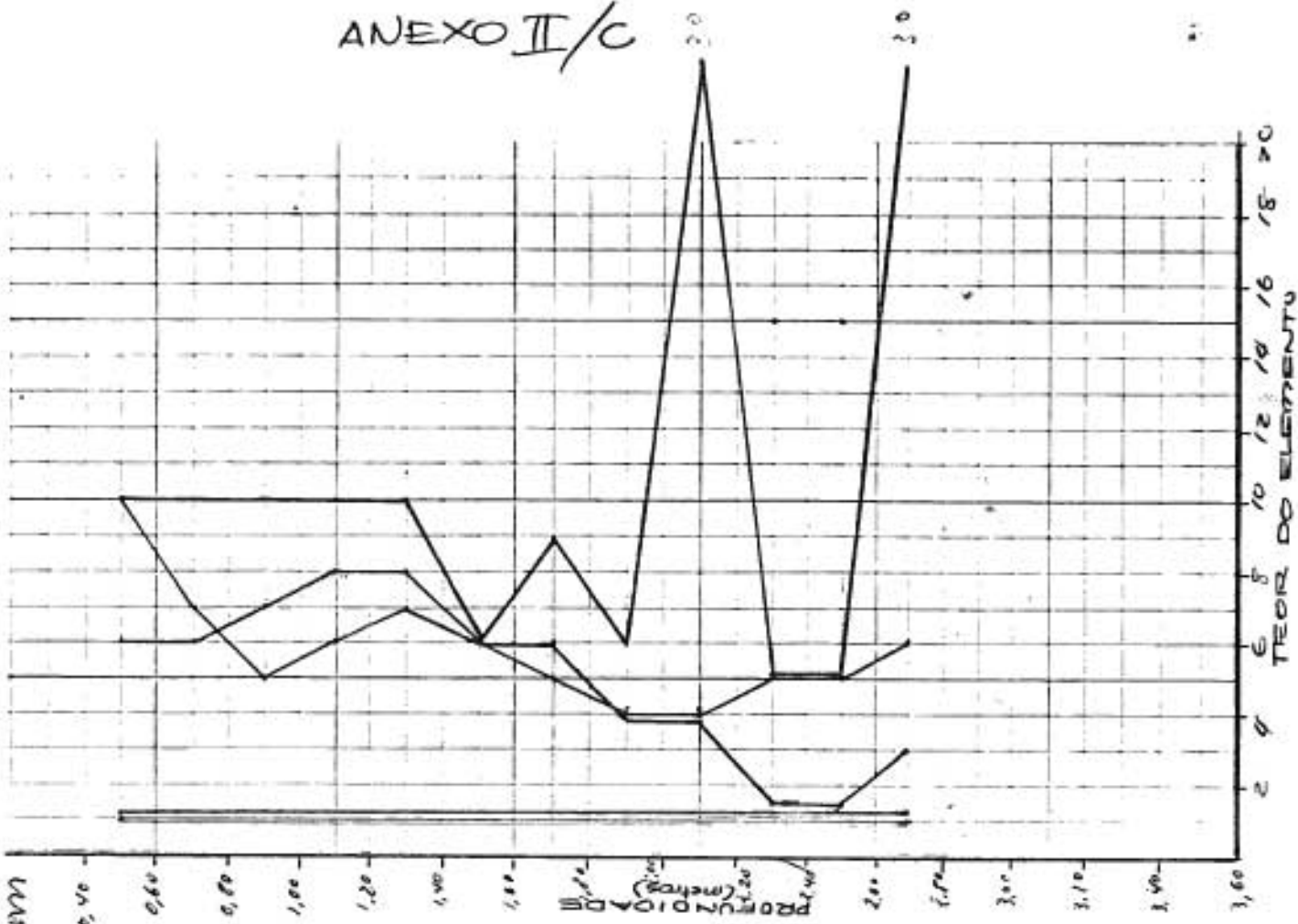


ANEXO II/C

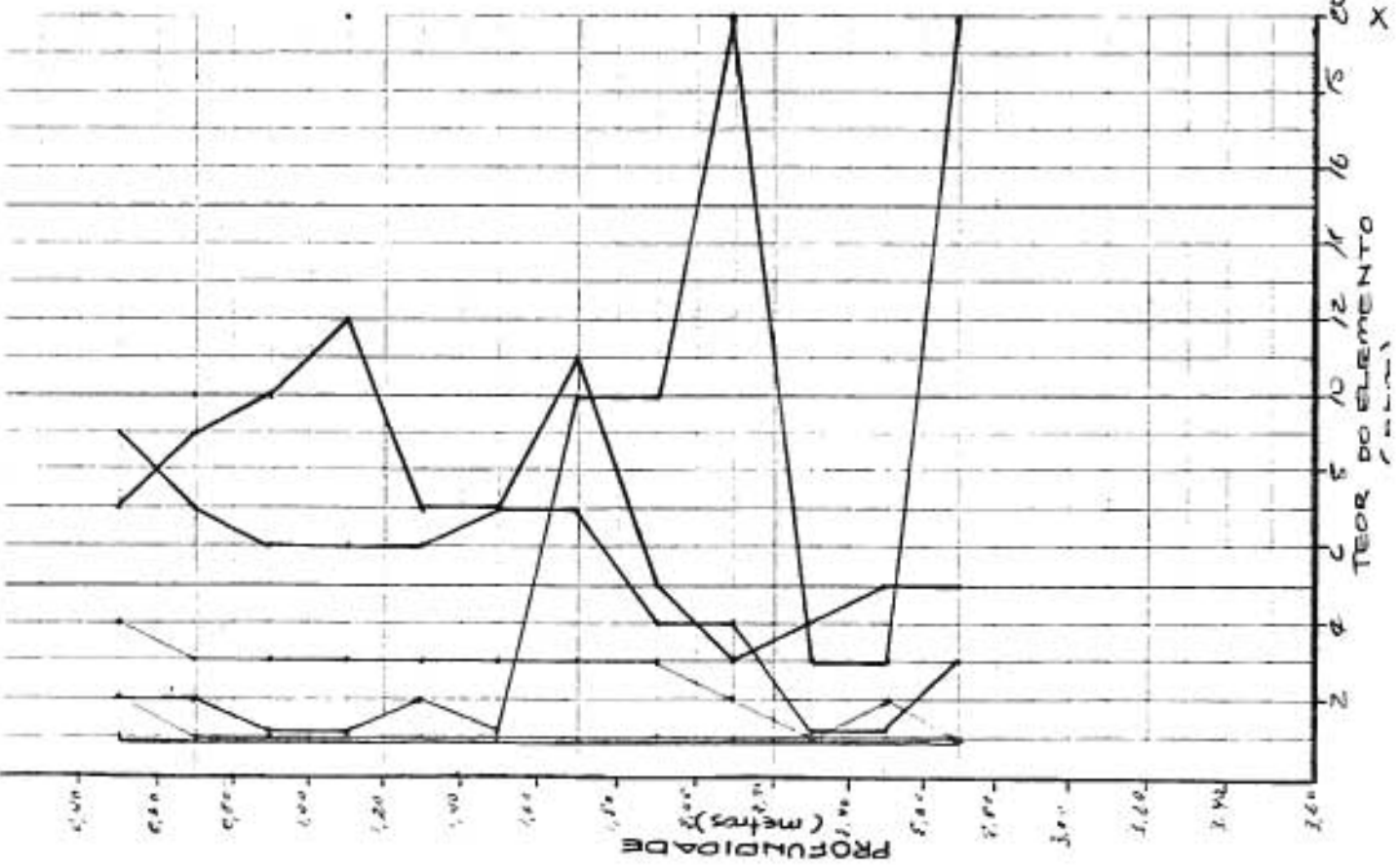
-40/+80

$P_2(\text{EDTA})$

VALENTIM



-80

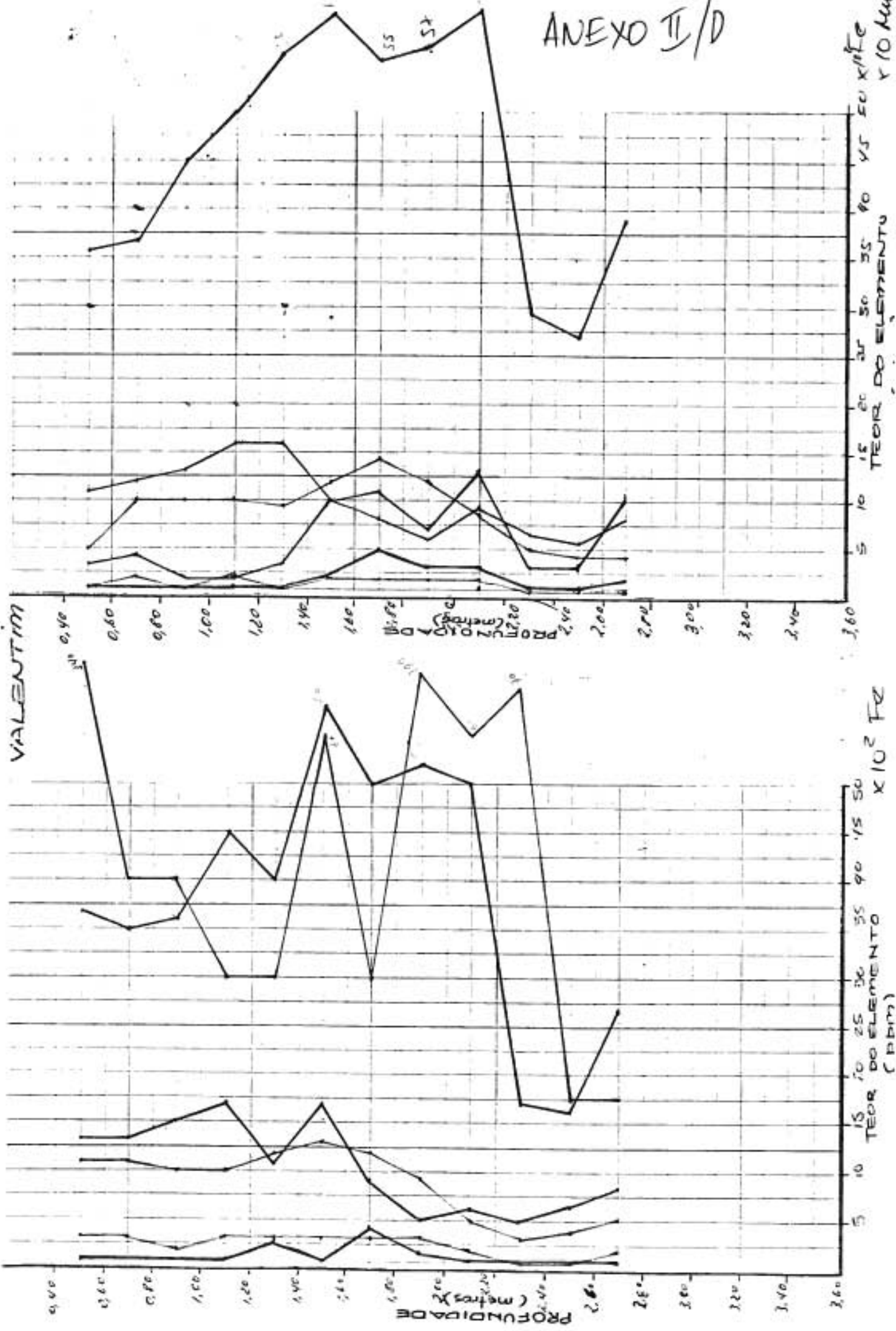


ANEXO II/D

-40/480

P_2 (m)

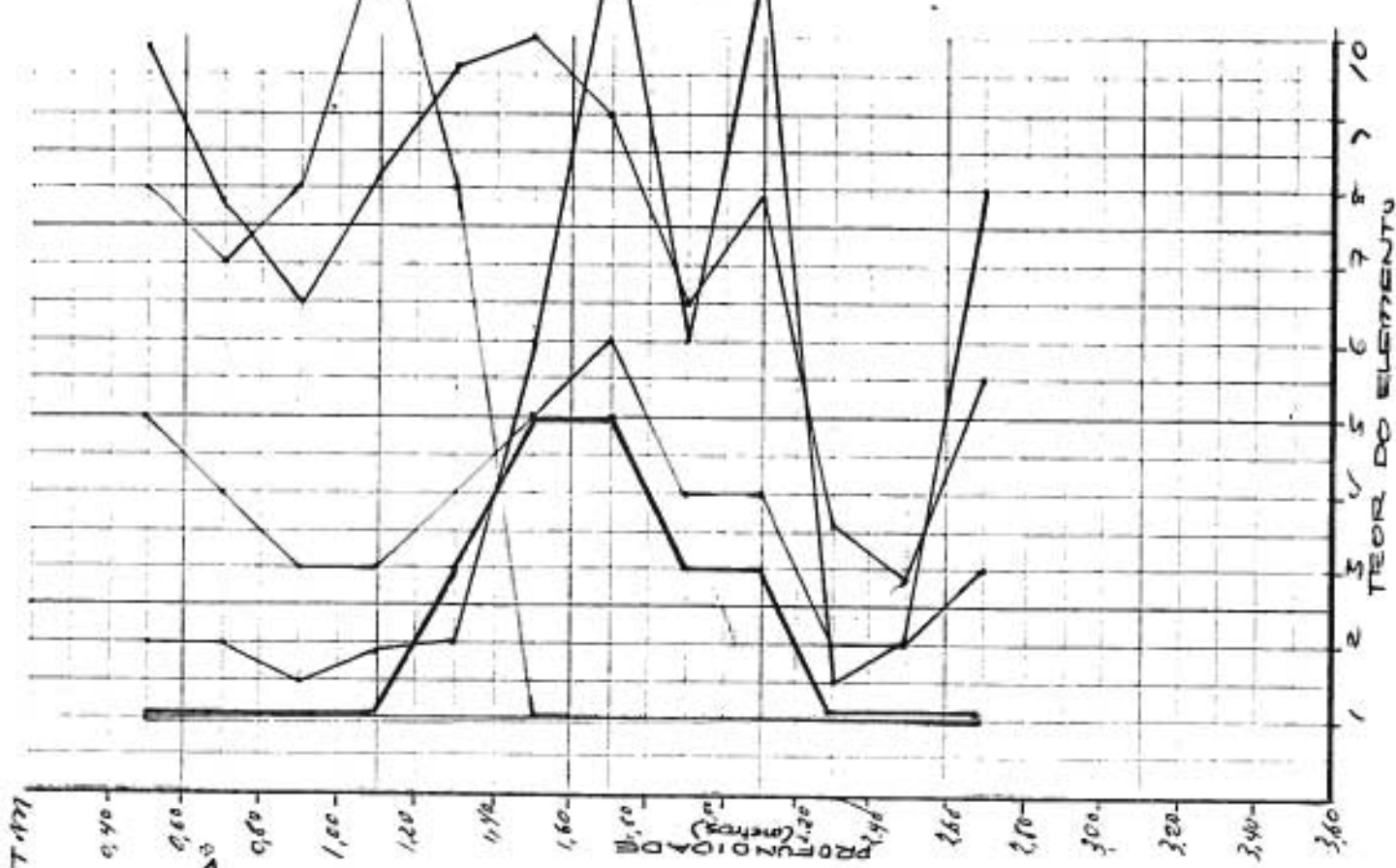
-80



ANEXO II/E

-40 / +50

P_2 (A. Axial) $\times 10^2$



-80

0

80

160

240

320

400

480

560

640

720

800

880

960

1040

1120

1200

1280

1360

1440

1520

1600

1680

1760

1840

1920

2000

2080

2160

2240

2320

2400

2480

2560

2640

2720

2800

2880

2960

3040

3120

3200

3280

3360

3440

3520

3600

3680

3760

3840

3920

4000

4080

4160

4240

4320

4400

4480

4560

4640

4720

4800

4880

4960

5040

5120

5200

5280

5360

5440

5520

5600

5680

5760

5840

5920

6000

6080

6160

6240

6320

6400

6480

6560

6640

6720

6800

6880

6960

7040

7120

7200

7280

7360

7440

7520

7600

7680

7760

7840

7920

8000

8080

8160

8240

8320

8400

8480

8560

8640

8720

8800

8880

8960

9040

9120

9200

9280

9360

9440

9520

9600

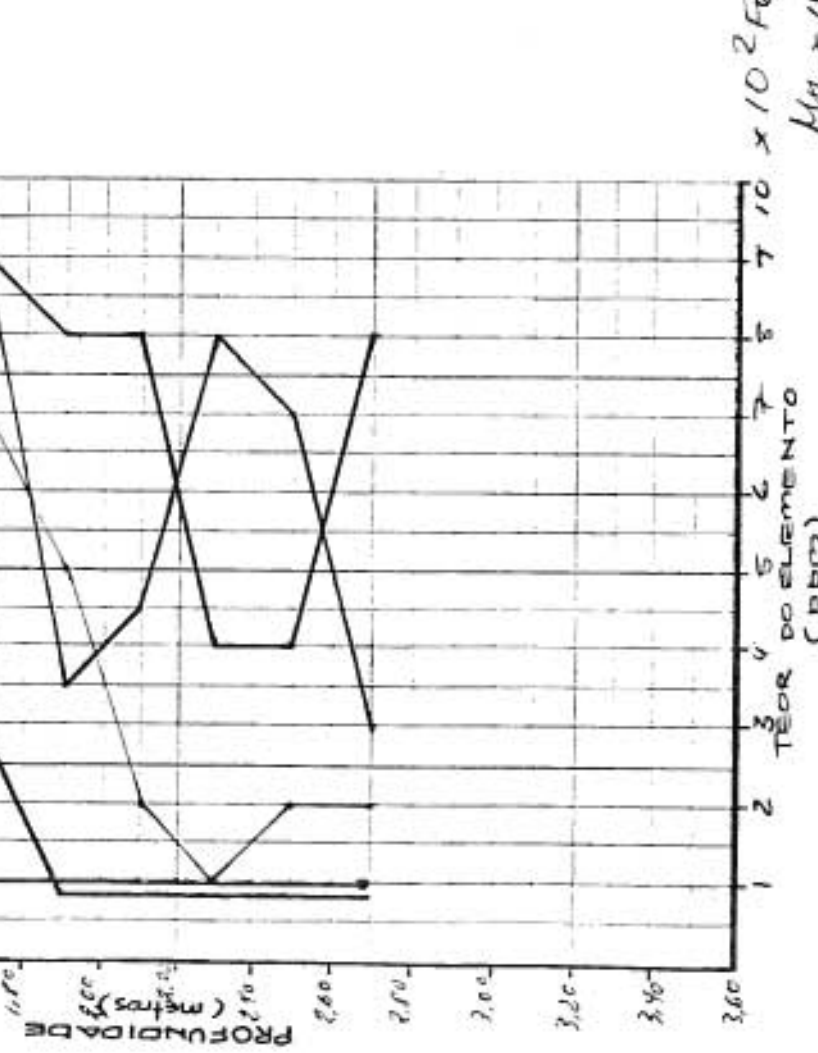
9680

9760

9840

9920

10000



ANEXO III/A

7164

७३८

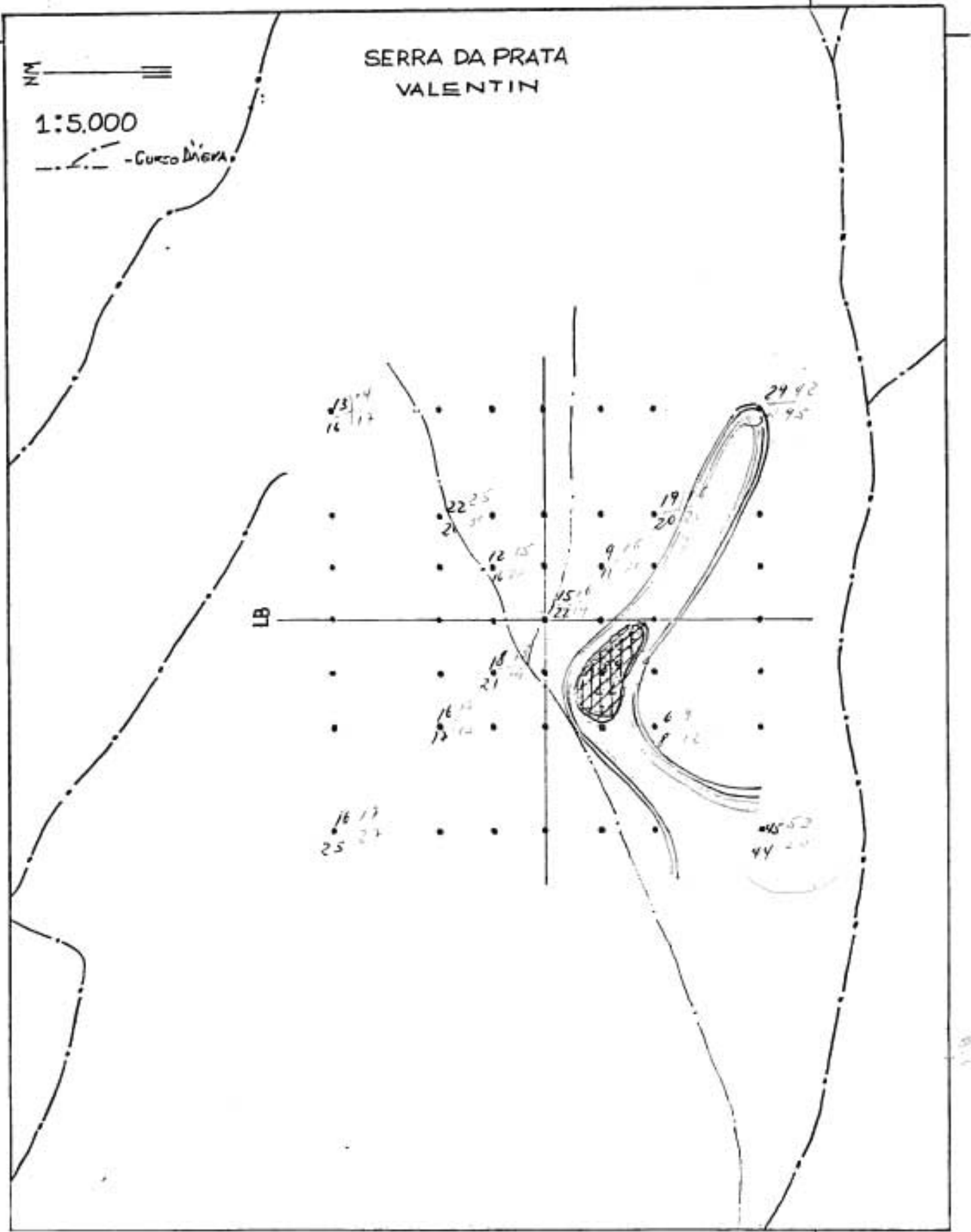
SERRA DA PRATA
VALENTIN

μ_N ————— =

1:5.000

-Cucco Di Nera,

四

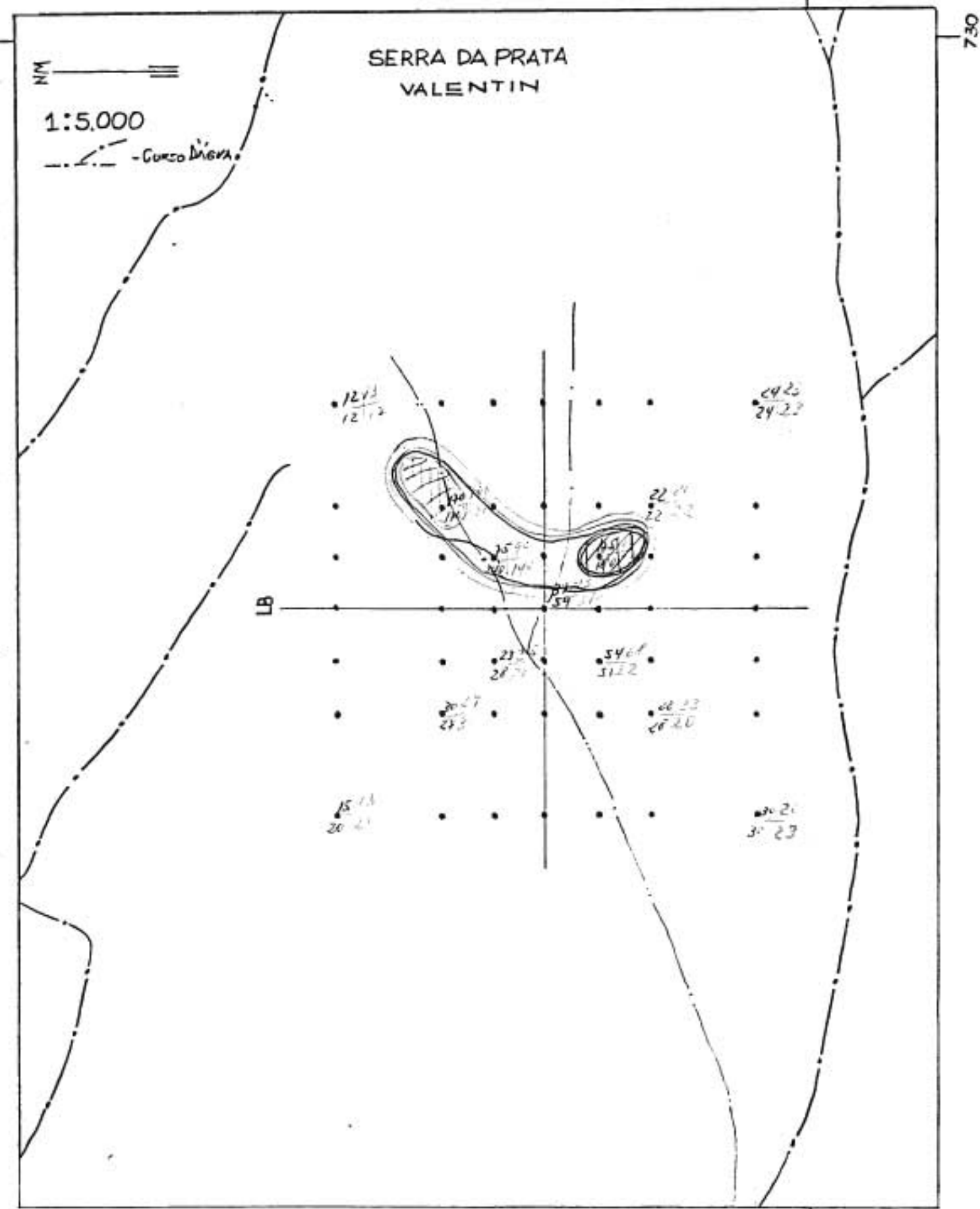


Cu (AR)

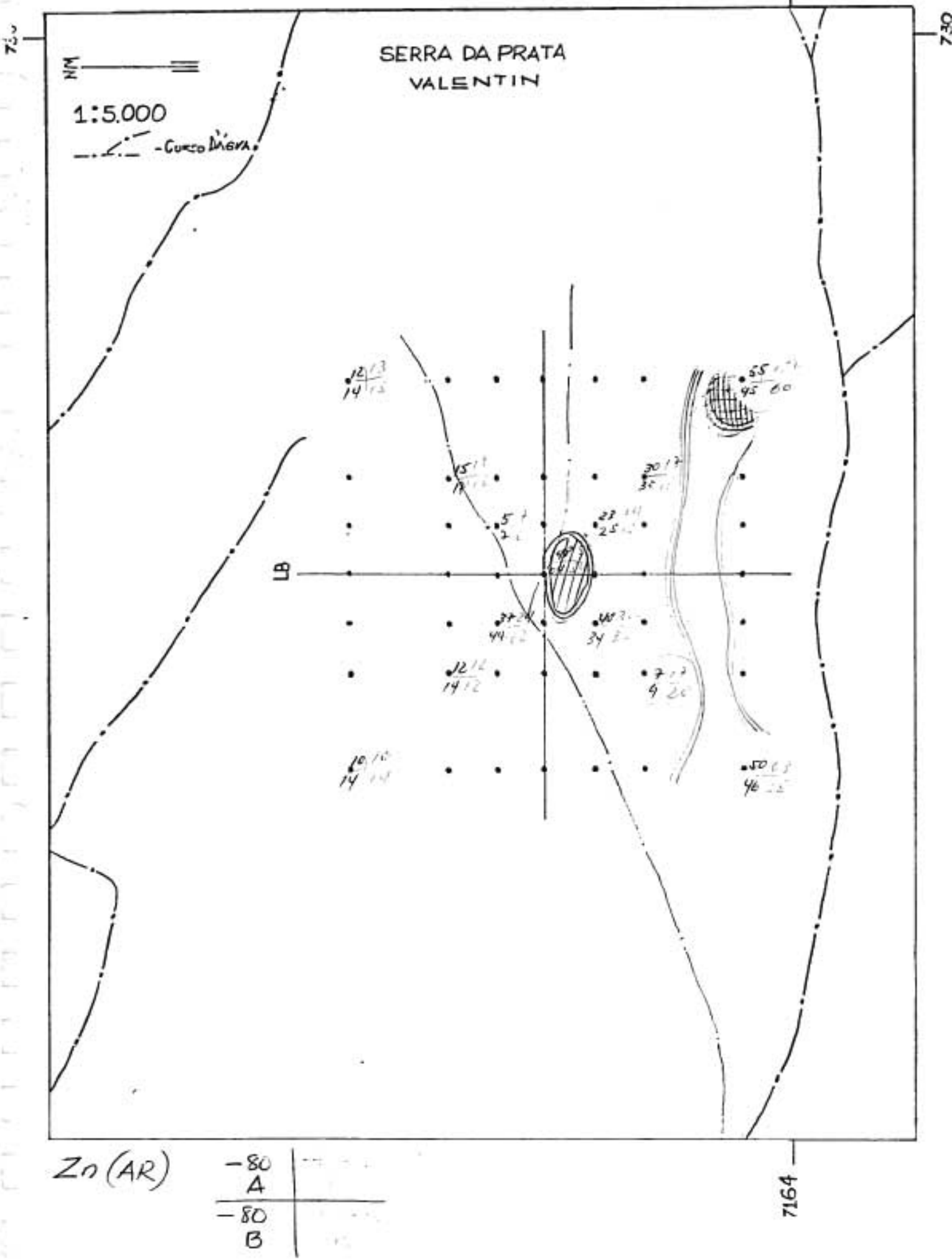
$$\begin{array}{r} -80 \\ A \\ \hline -80 \\ B \end{array} \quad \begin{array}{r} -40/80 \\ A \\ \hline -40/80 \\ B \end{array}$$

7164

ANEXO III/B



ANEXO III/C



ANEXO III /D

7164

730

SERRA DA PRATA
VALENTIN

1:5.000

... - CURSO DISERTA

18

5

Ni (AR)

- 80 -

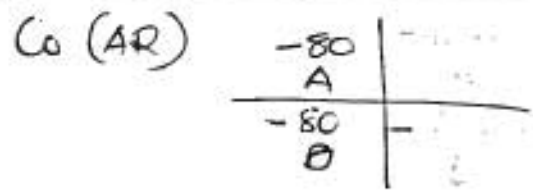
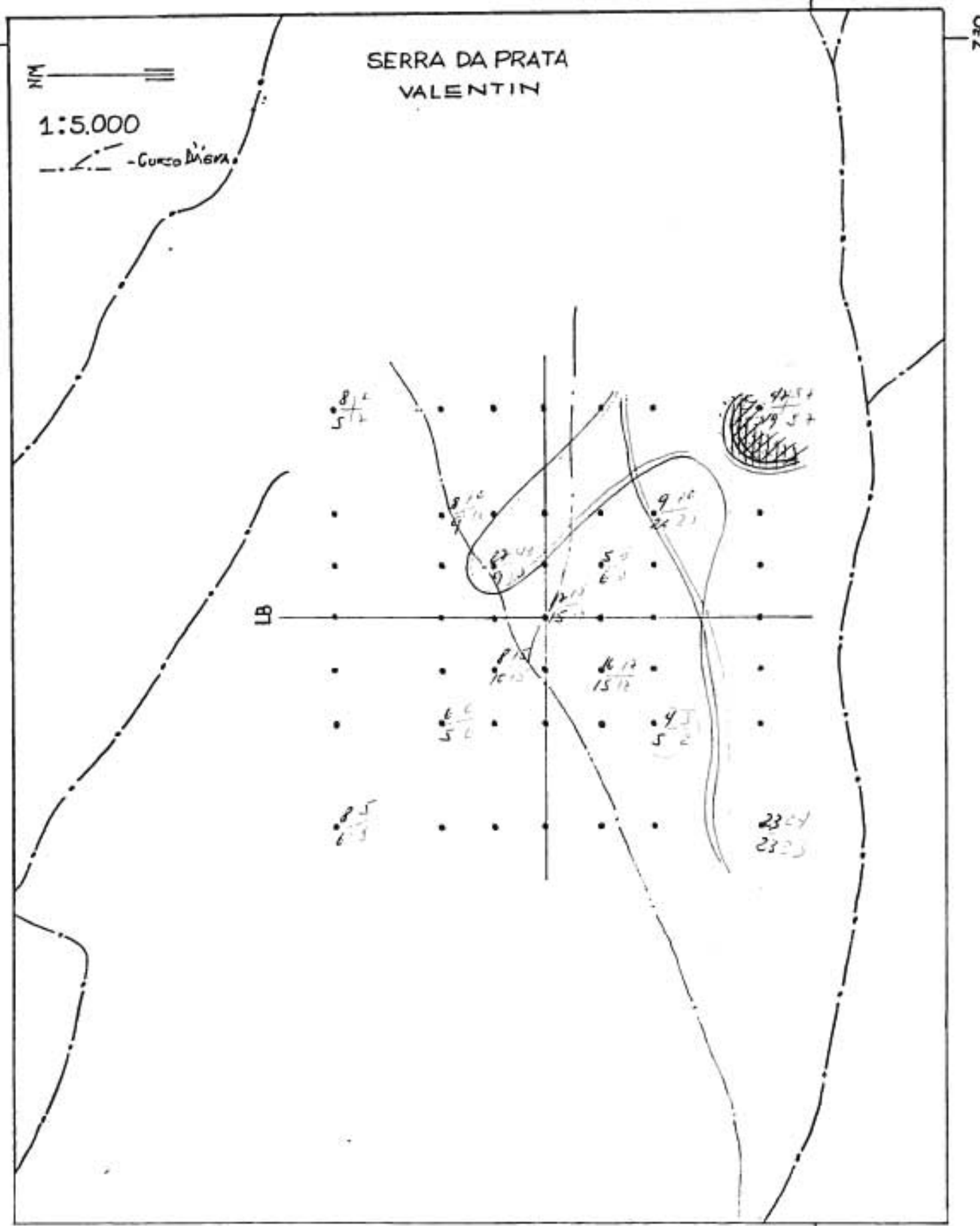
$$\frac{A}{-80}$$

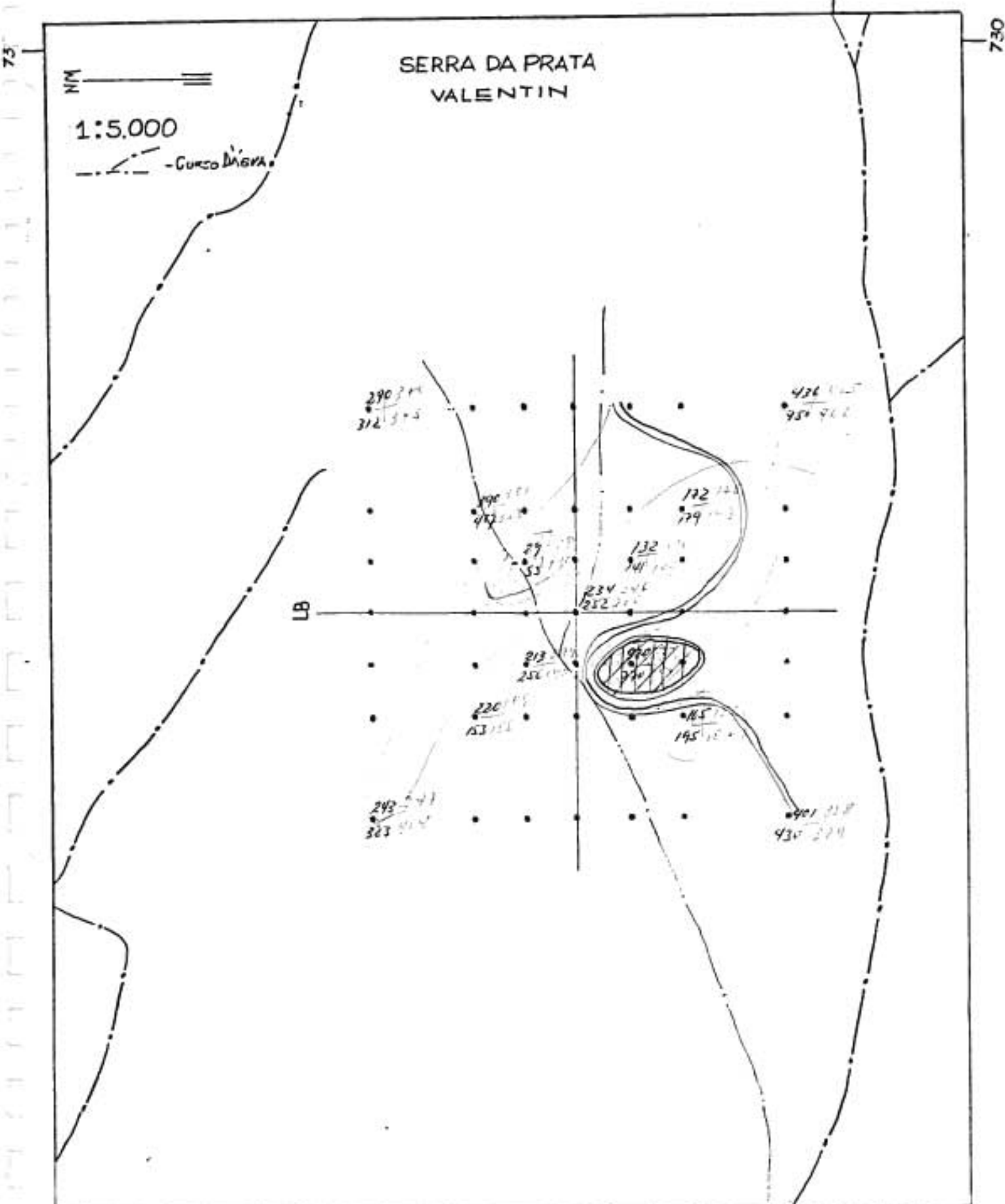
B

7164

ANEXO III/E

7164



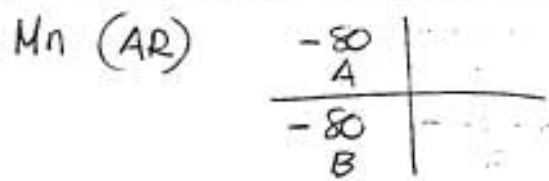
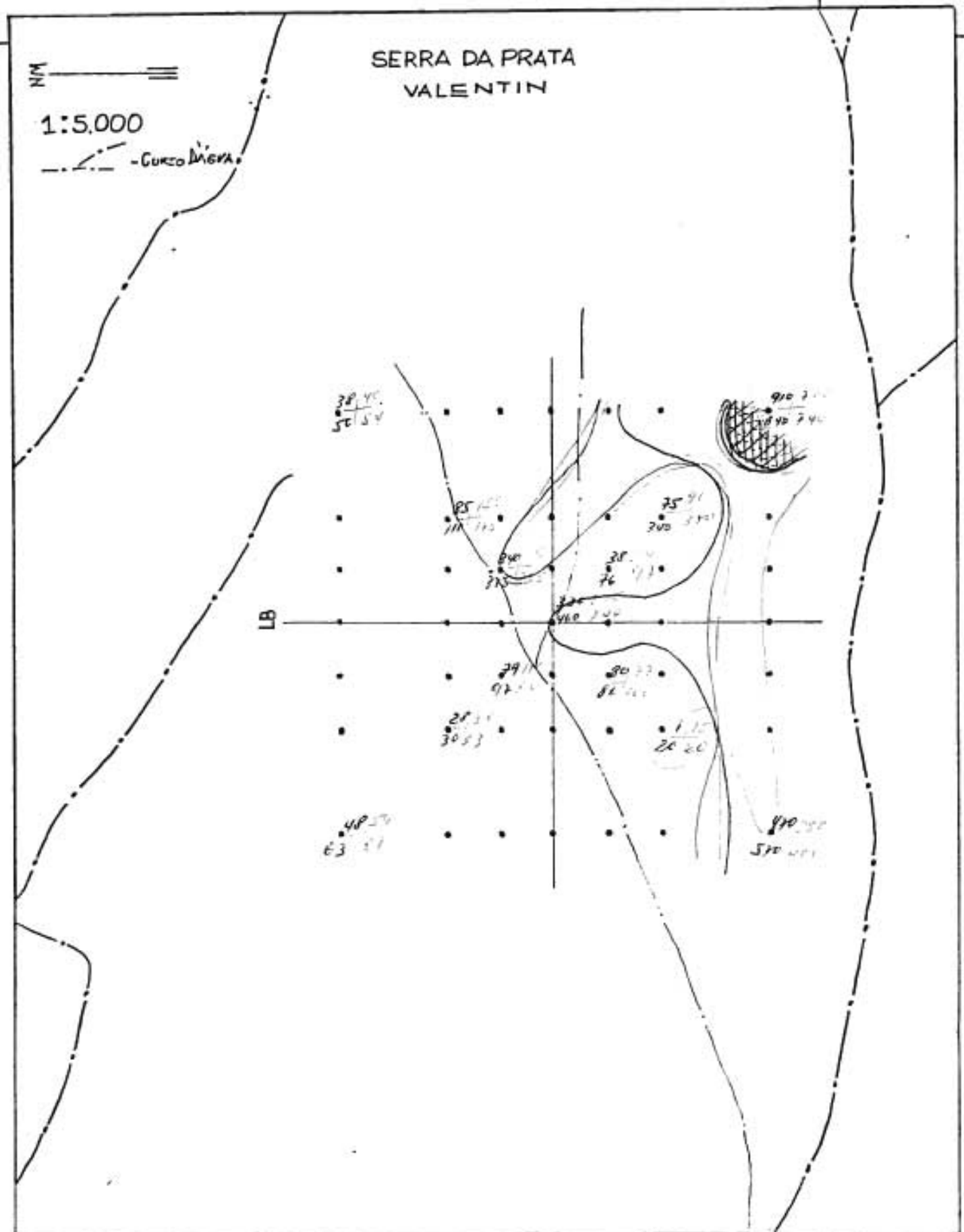


Fe (AR)

- 50 -

- 80 -

ANEXO III / G



ANEXO II/A

7164

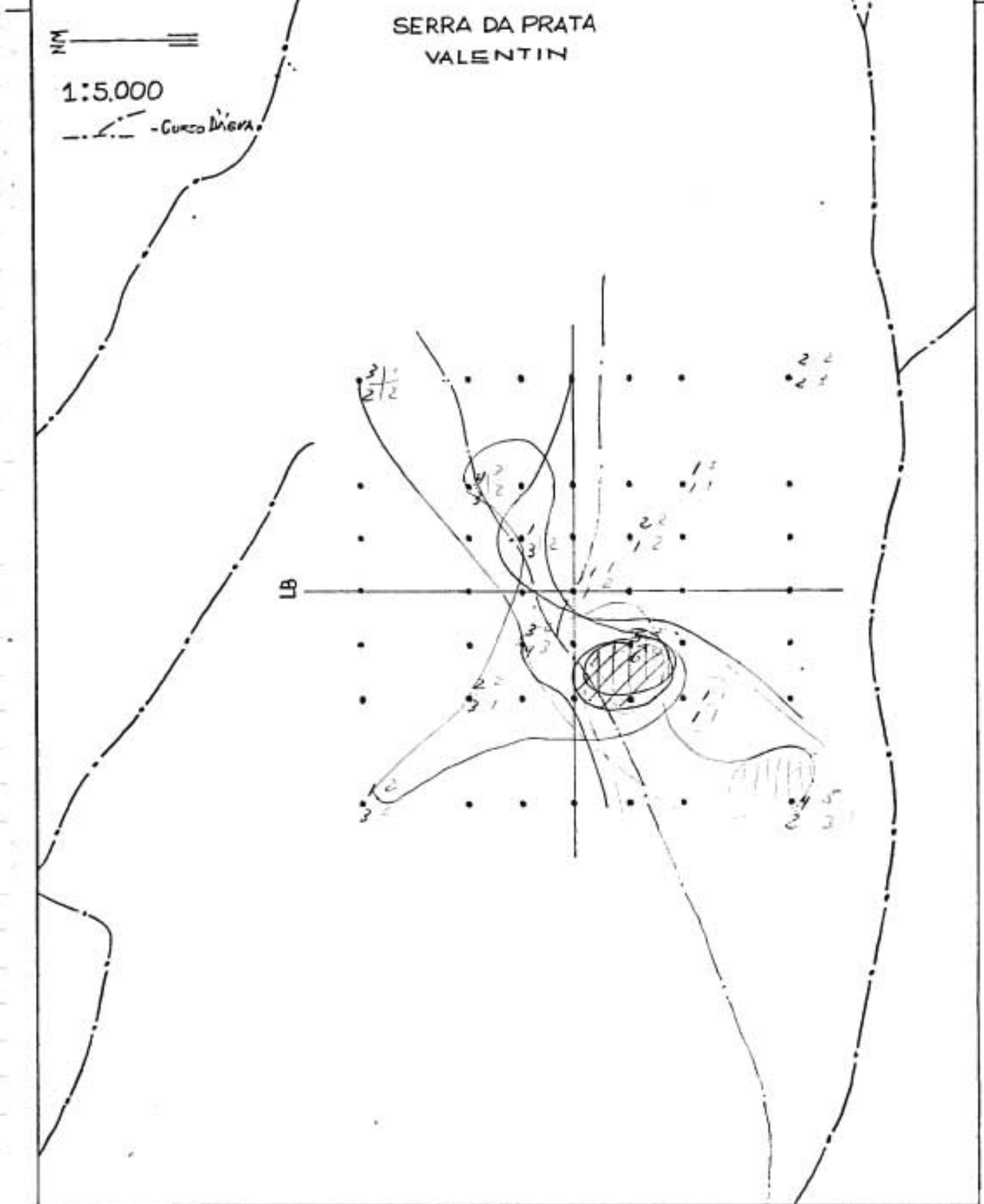
030

SERRA DA PRATA
VALENTIN

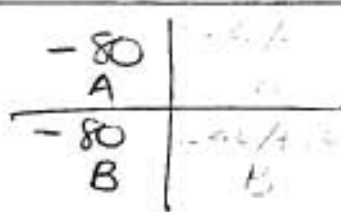
1:5.000

- - - Curva D'Agira.

LB

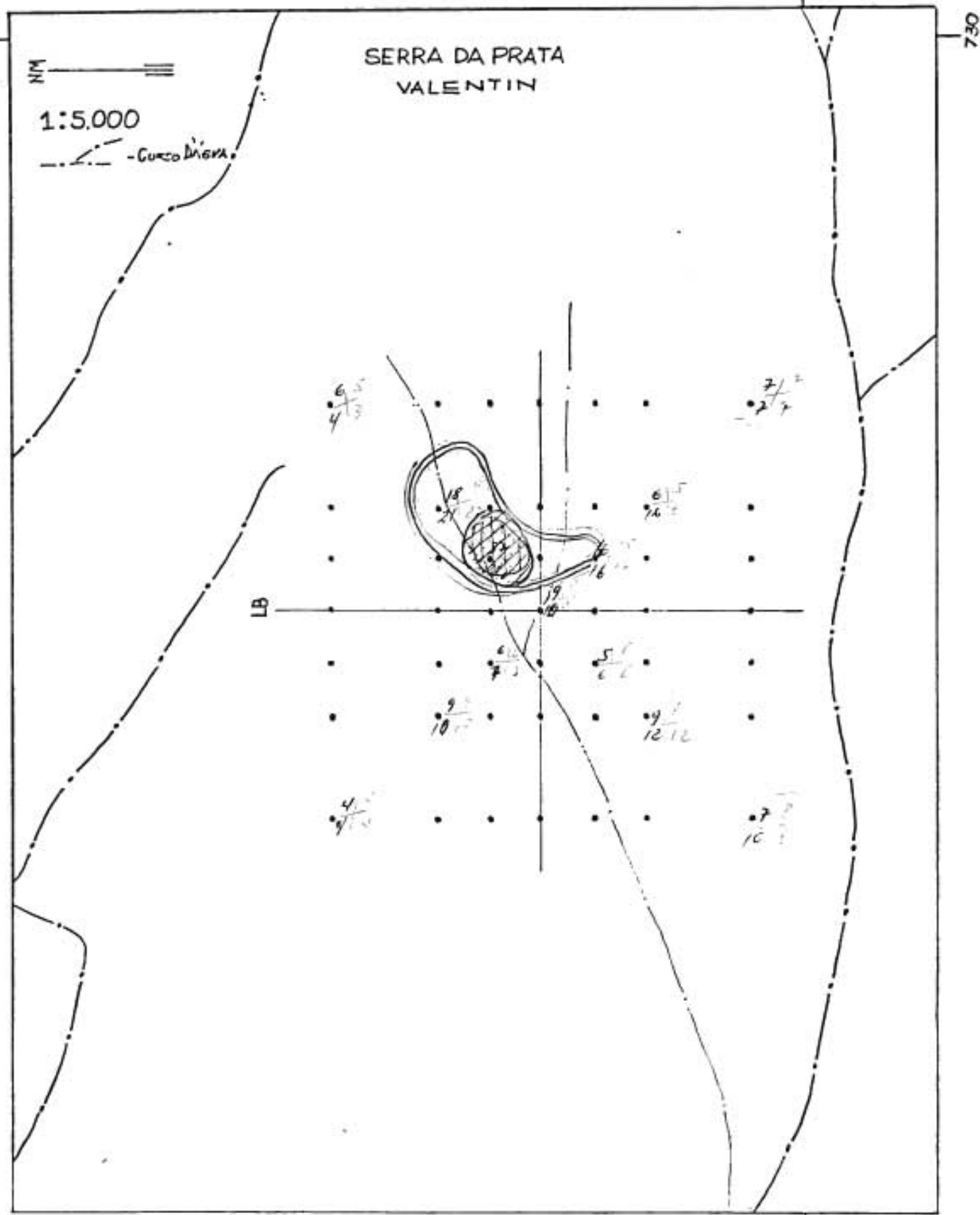


Cu (EDTA)



7164

ANEXO V/B



Pb (EDTA)

ANEXO II/C

7164

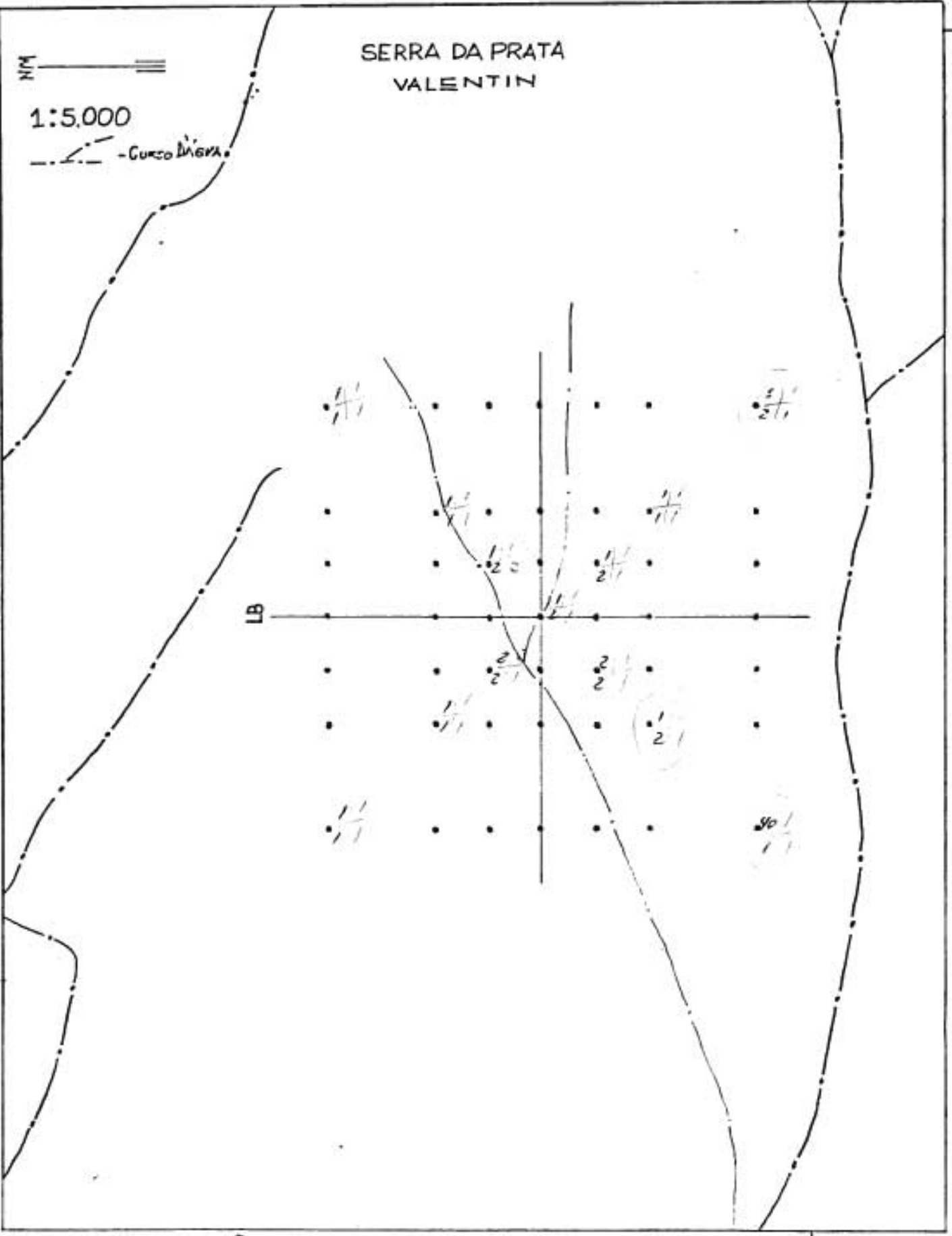
730

SERRA DA PRATA
VALENTIN

1:5.000

- Curva Dobra

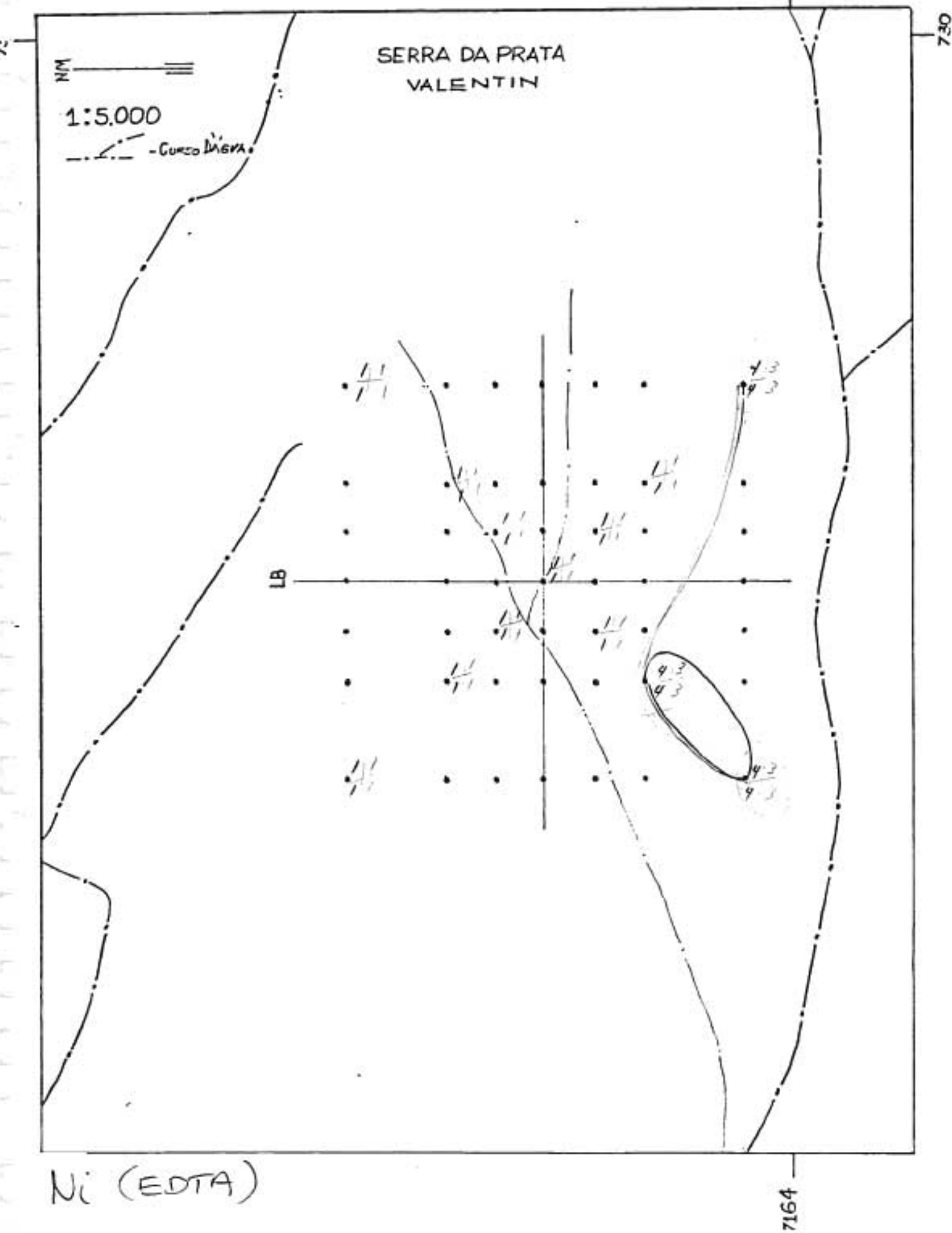
LB



Zn (EDTA)

7164

ANEXO V/D



ANEXO II/E

7164

730

SERRA DA PRATA
VALENTIN

NM

1:5.000

- - - - - CURSO D'AGUA

B

C6 (EDTA)

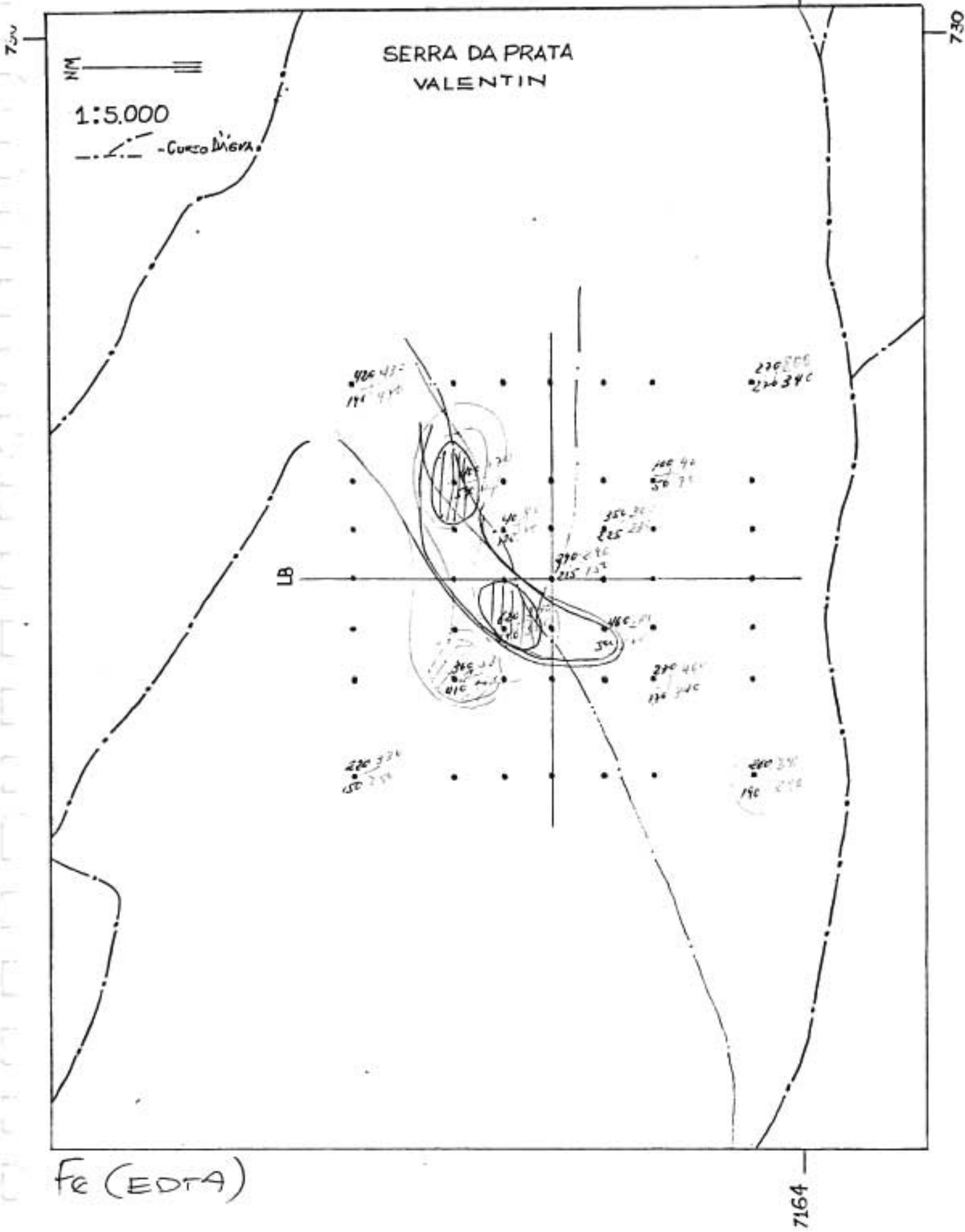
7164

13/16
2/16

2-4
9

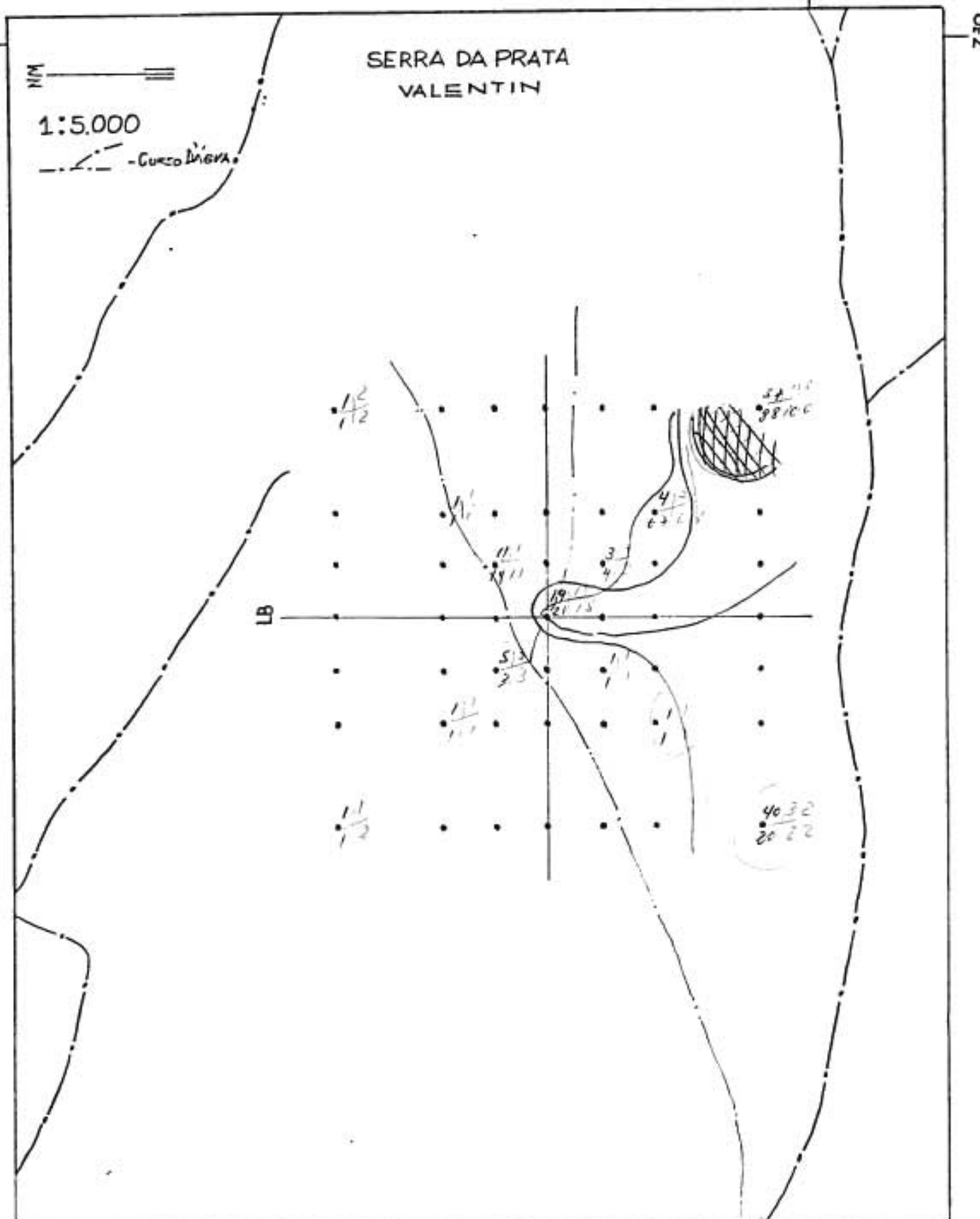
1-4
9

ANEXO J/F



7164

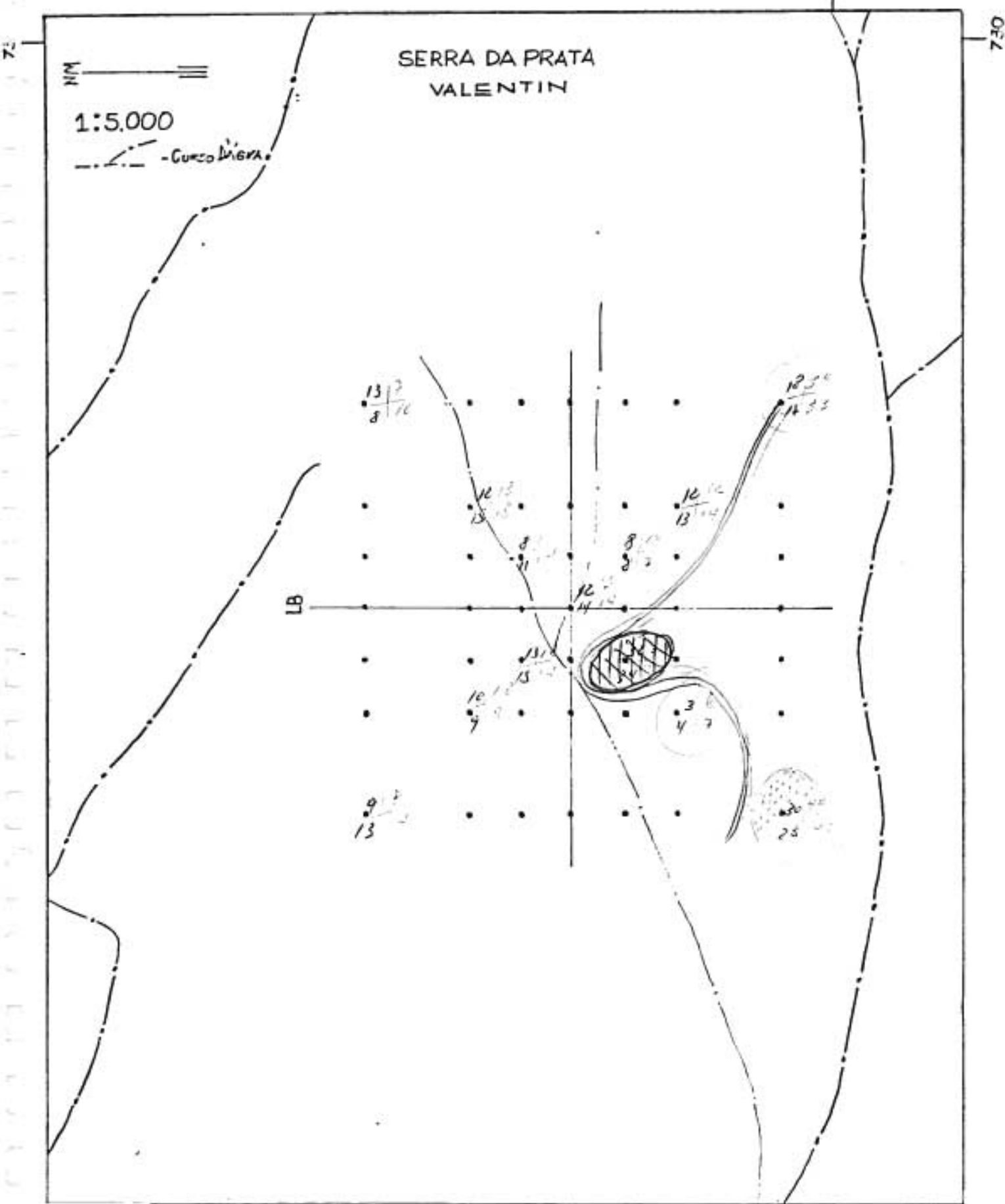
-30-



Mn (EDTA)

7164

ANEXO IV/A

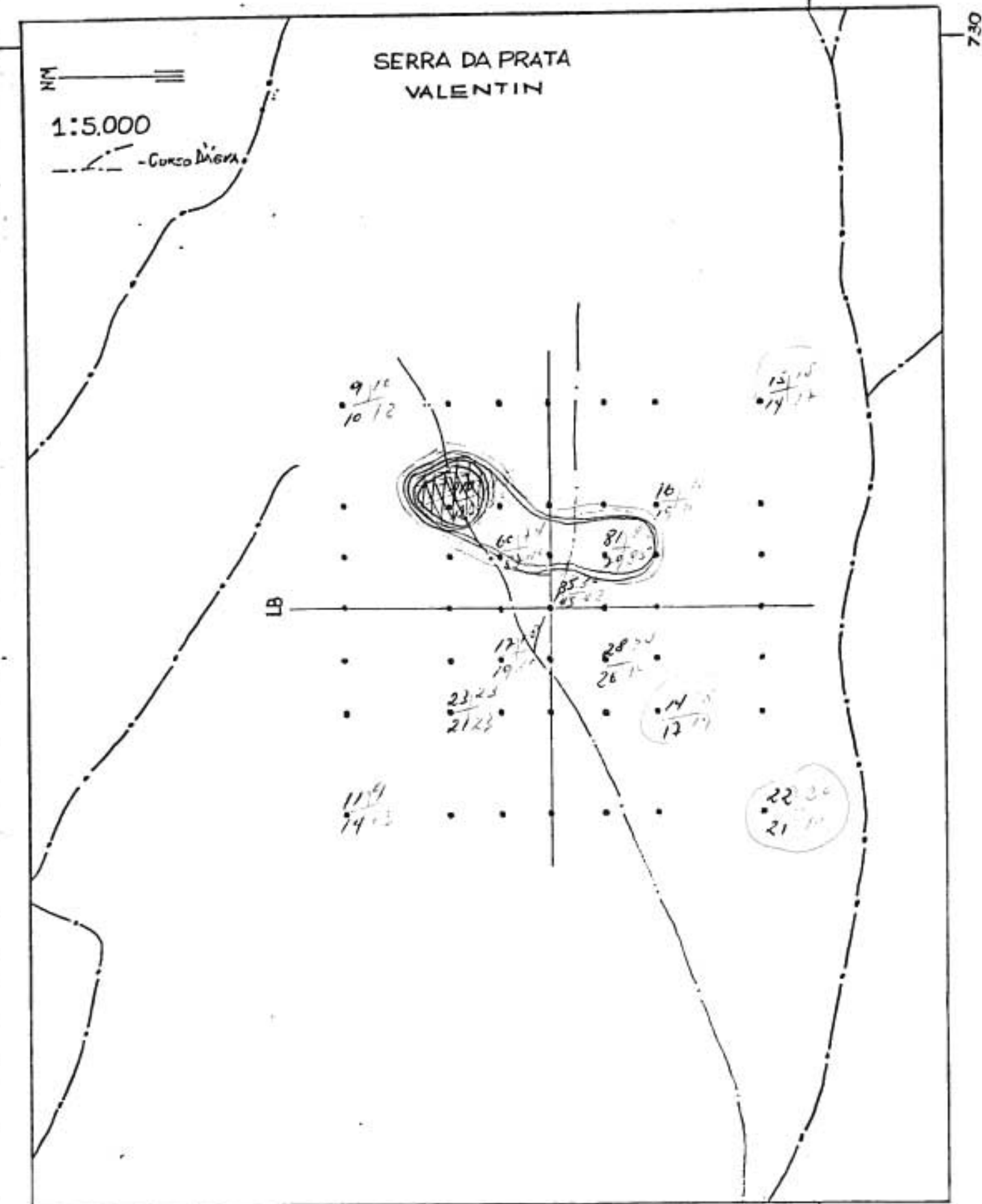


Cu (HNO_3)

-80
A
-80
B

7164

ANEXO IV/B



Pb ~~Fe~~ (HNO₃)

ANEXO IV/C

SERRA DA PRATA
VALENTIN

200

- Curva Dúzia

LB

Zn (HNO_3)

1917

6¹⁰/₆¹⁰

9¹/₉¹

8⁵/₄⁵

9²/₂²

7⁵/₆⁵

9⁷/₉⁷

13¹²/₁₃¹²

10¹⁰/₁₀¹⁰

5⁶/₆⁶

35²⁶/₂₅²⁶

35³⁷/₃₅³⁷

ANEXO IV/D

7164

SERRA DA PRATA
VALENTIN

NM

1:5.000

- - - - Curva Dugra

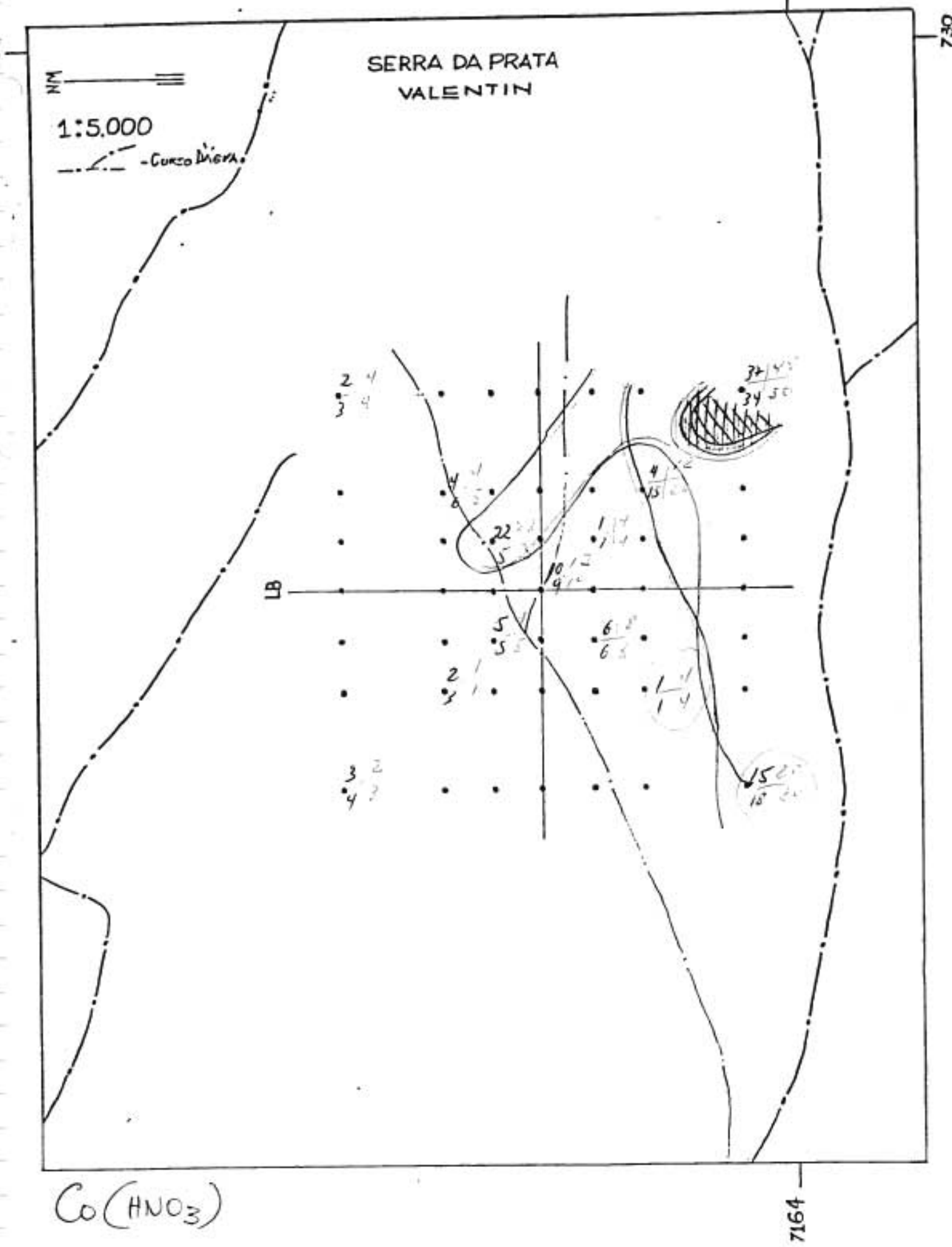
LB

Ni (HNO_3)

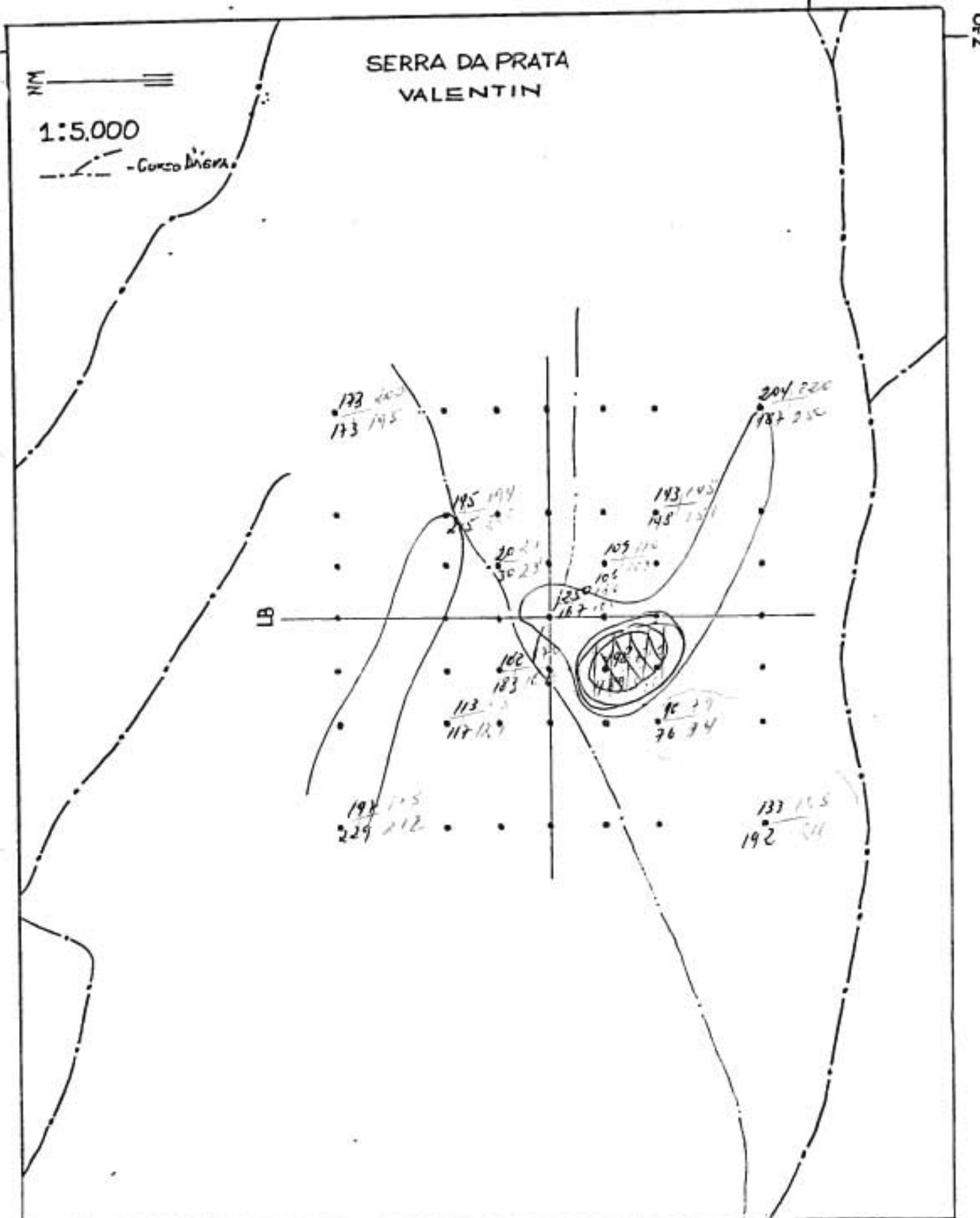
7164

7164

ANEXO IV/E



ANEXO IV/F



Fe (HNO_3)

7164

7164

730

SERRA DA PRATA
VALENTIN

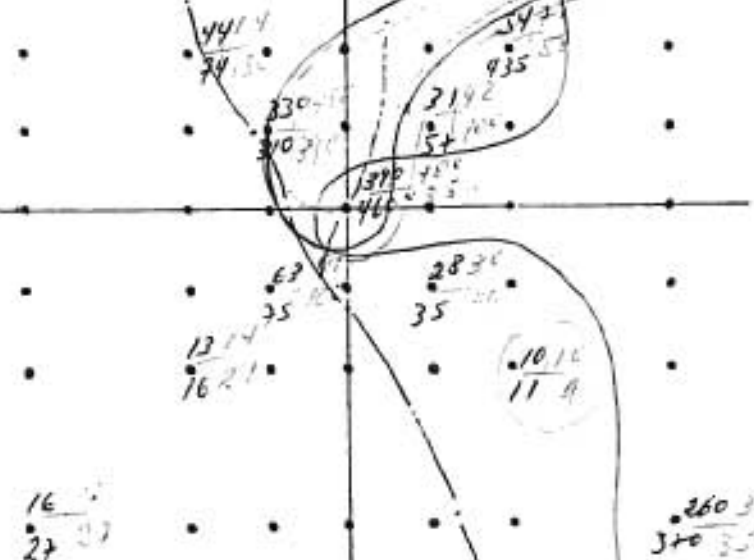
1:5.000

- Curso D'Agua

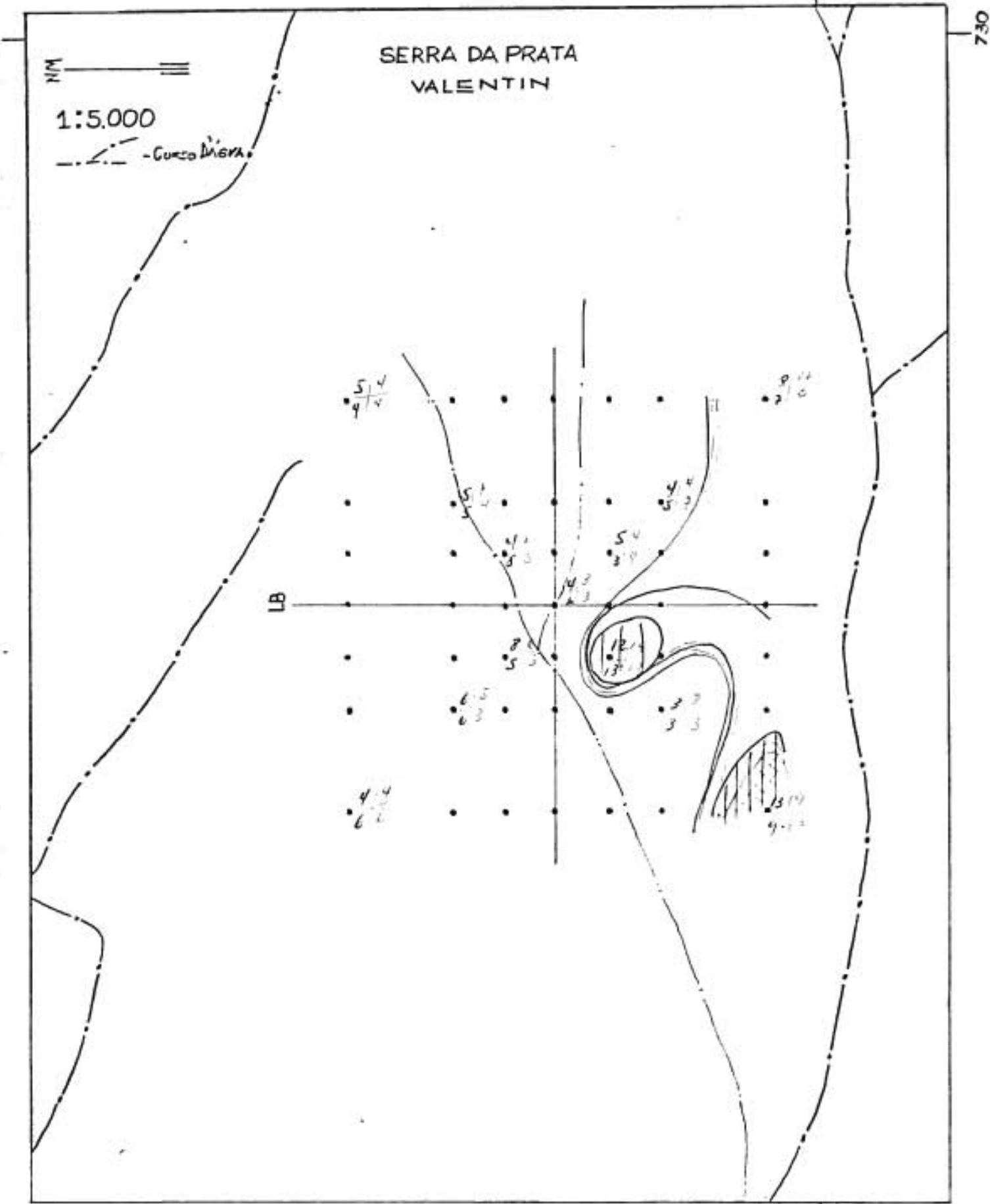
LB

Mn (HNO_3)

7164

260 300
320 350560 580
580 600260 300
320 350560 580
580 600

ANEXO VI/A



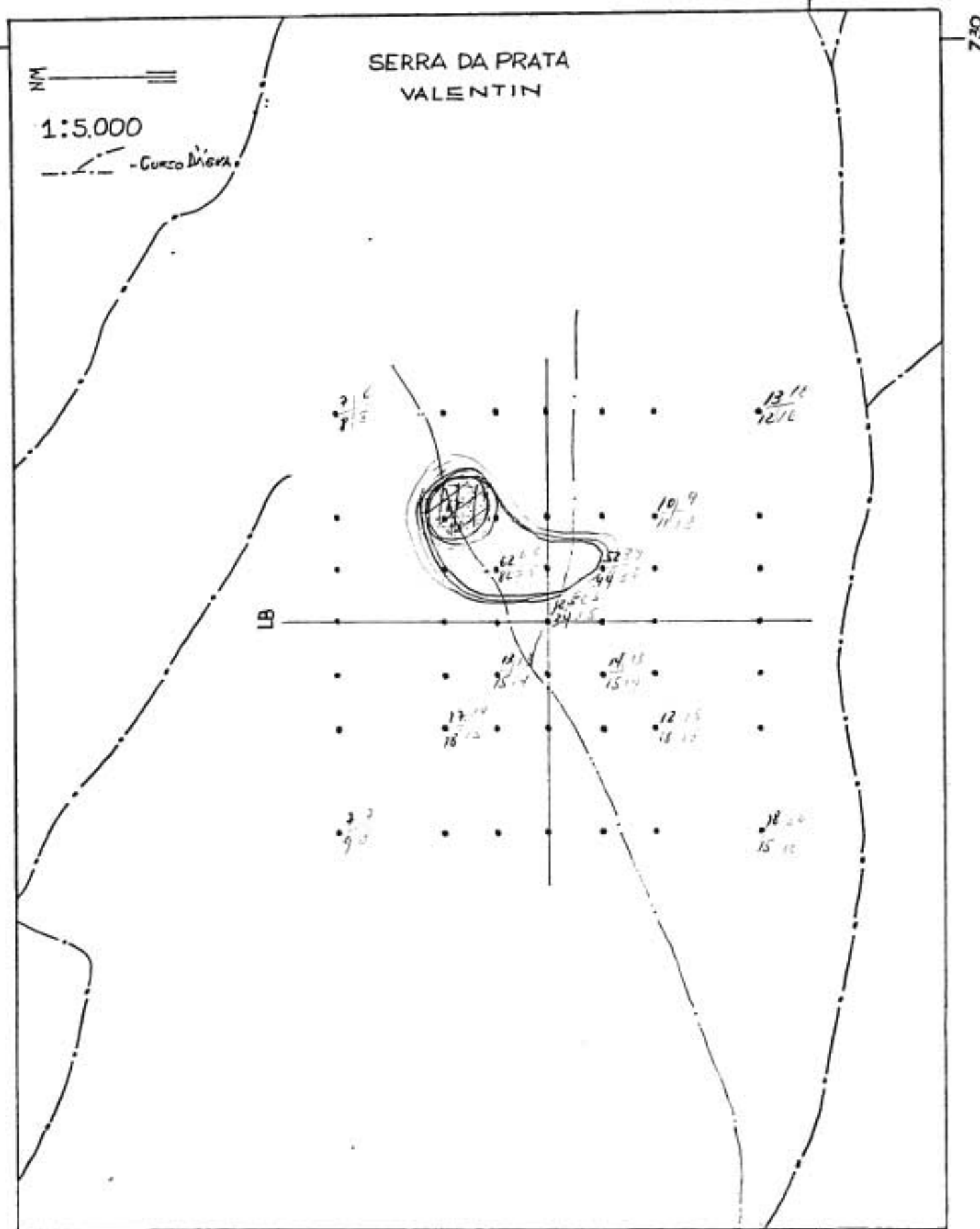
Cu (Hce)

-80
A
-80
B

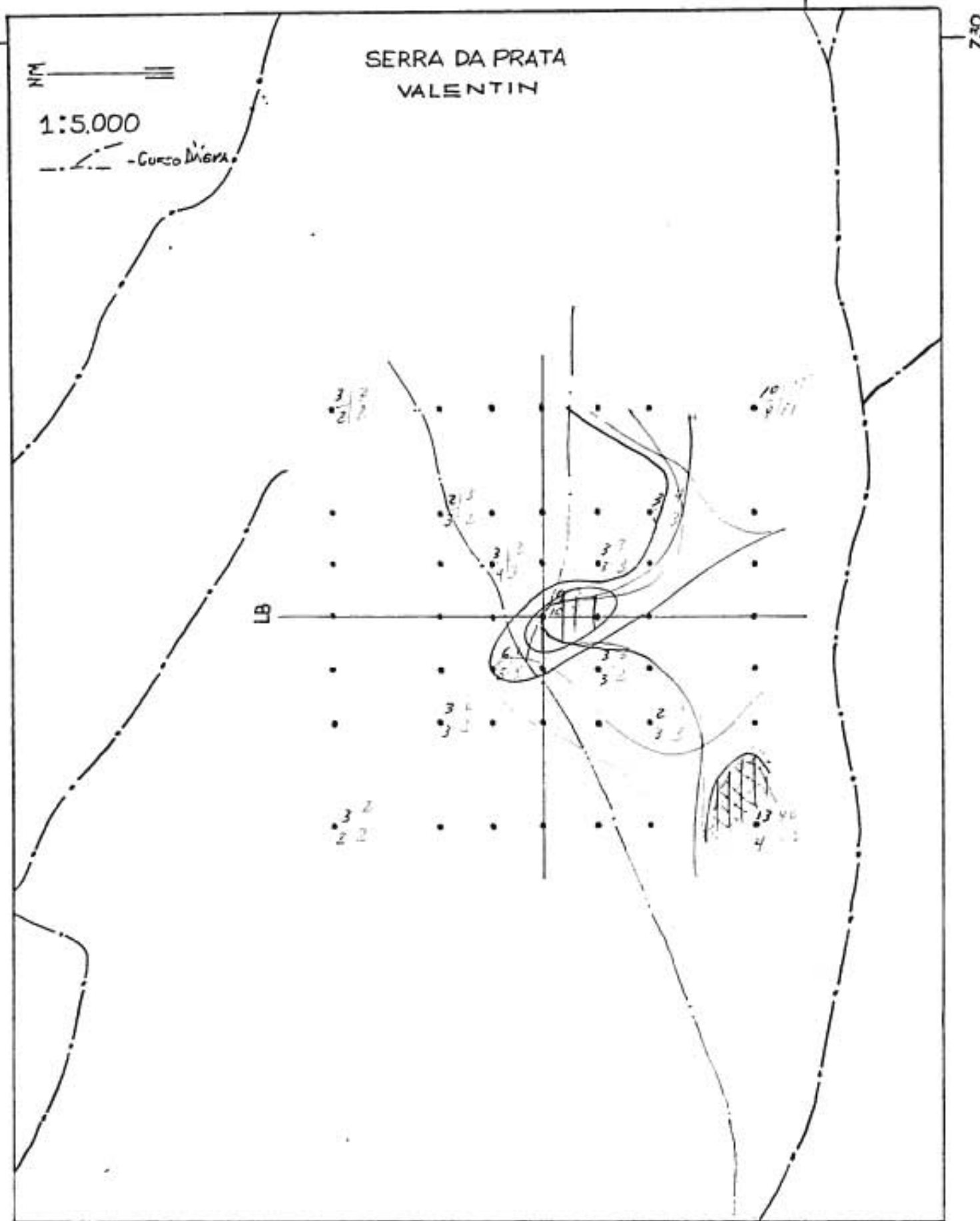
7164

ANEXO III/B

7164

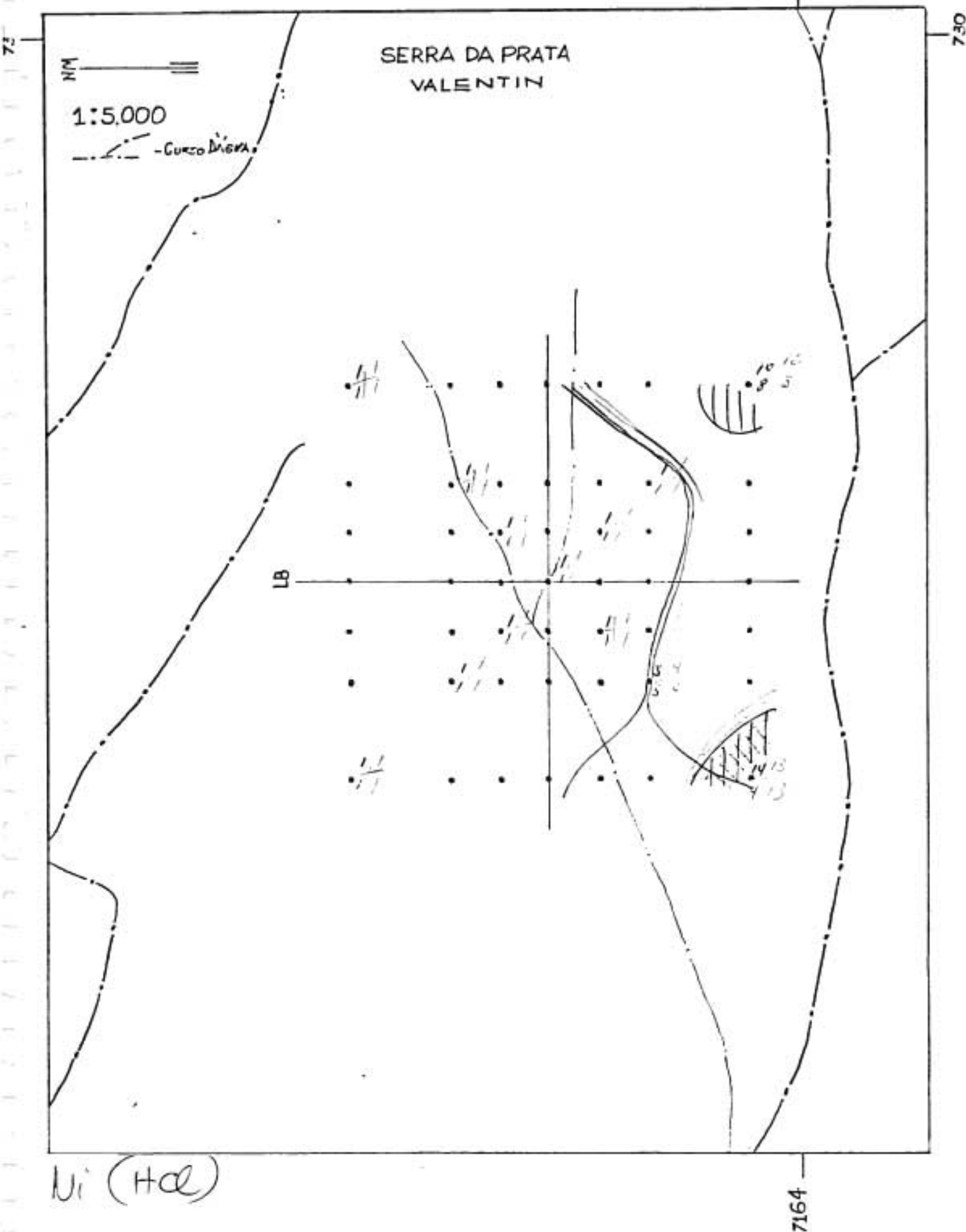


7164



Zn (+cl)

7164



SERRA DA PRATA
VALENTIN

NM

1:5.000

Curva D'Agua

LB

7164

Co (Hcl)

7164

30

SERRA DA PRATA
VALENTIN

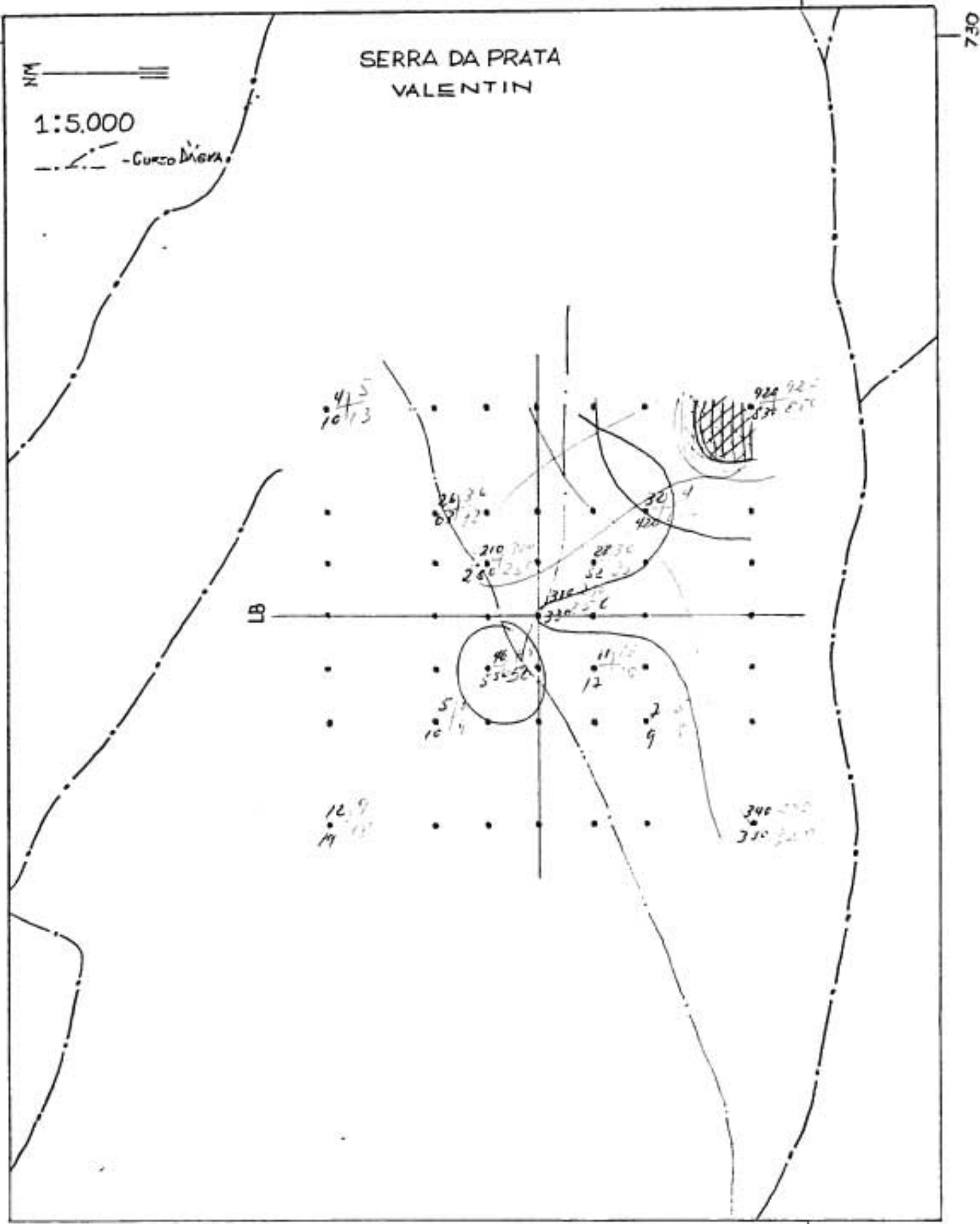
1:5.000

—. — - CURSO DIVISÃO

5

7164

Fe (HCl)



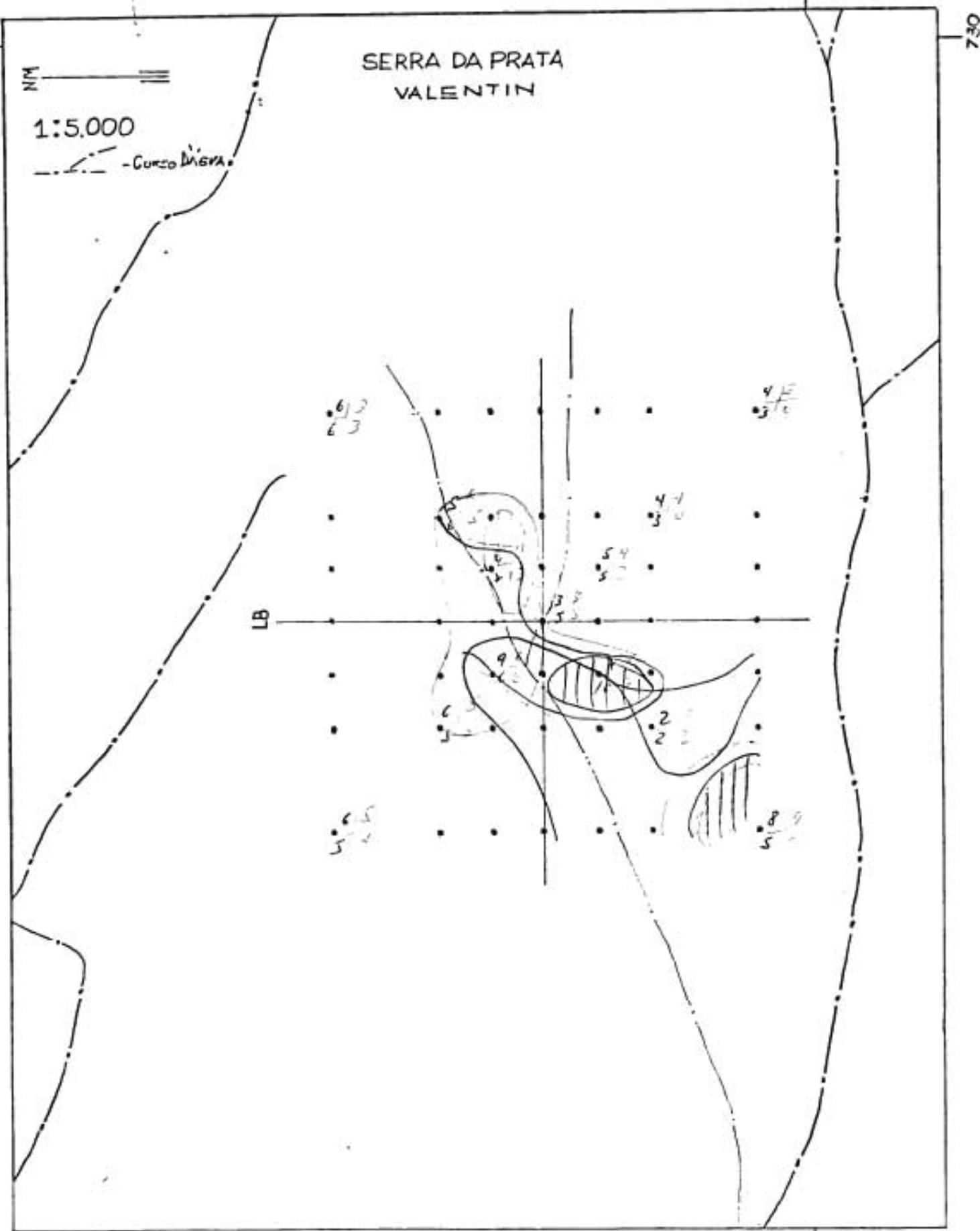
Mu (4d)

7164

7164

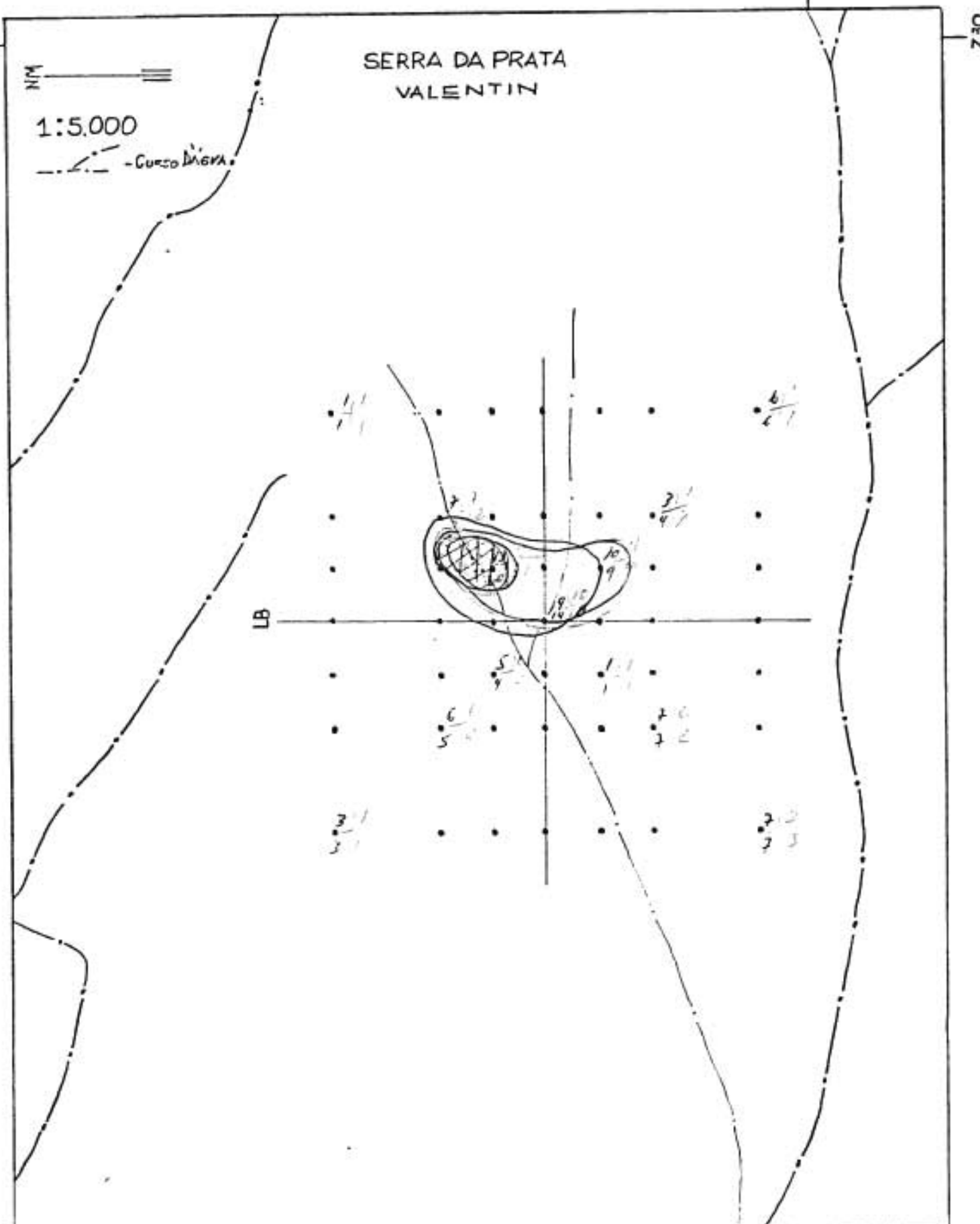
057

ANEXO VII/A



Cu (AAC) $\frac{-80}{\frac{A}{B}}$

ANEXO III/B



Pb (A Ac)

7164

730

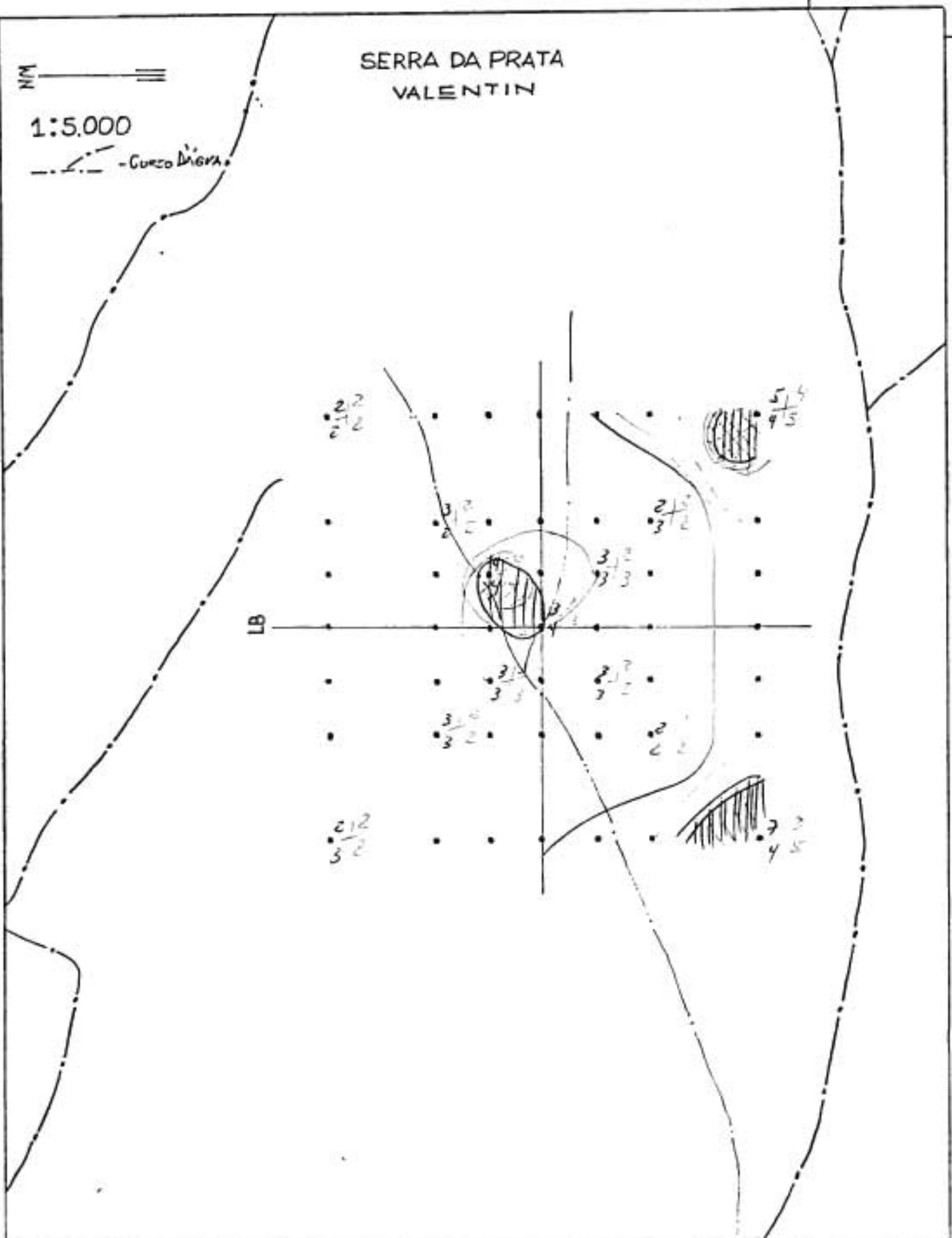
SERRA DA PRATA
VALENTIN

NN

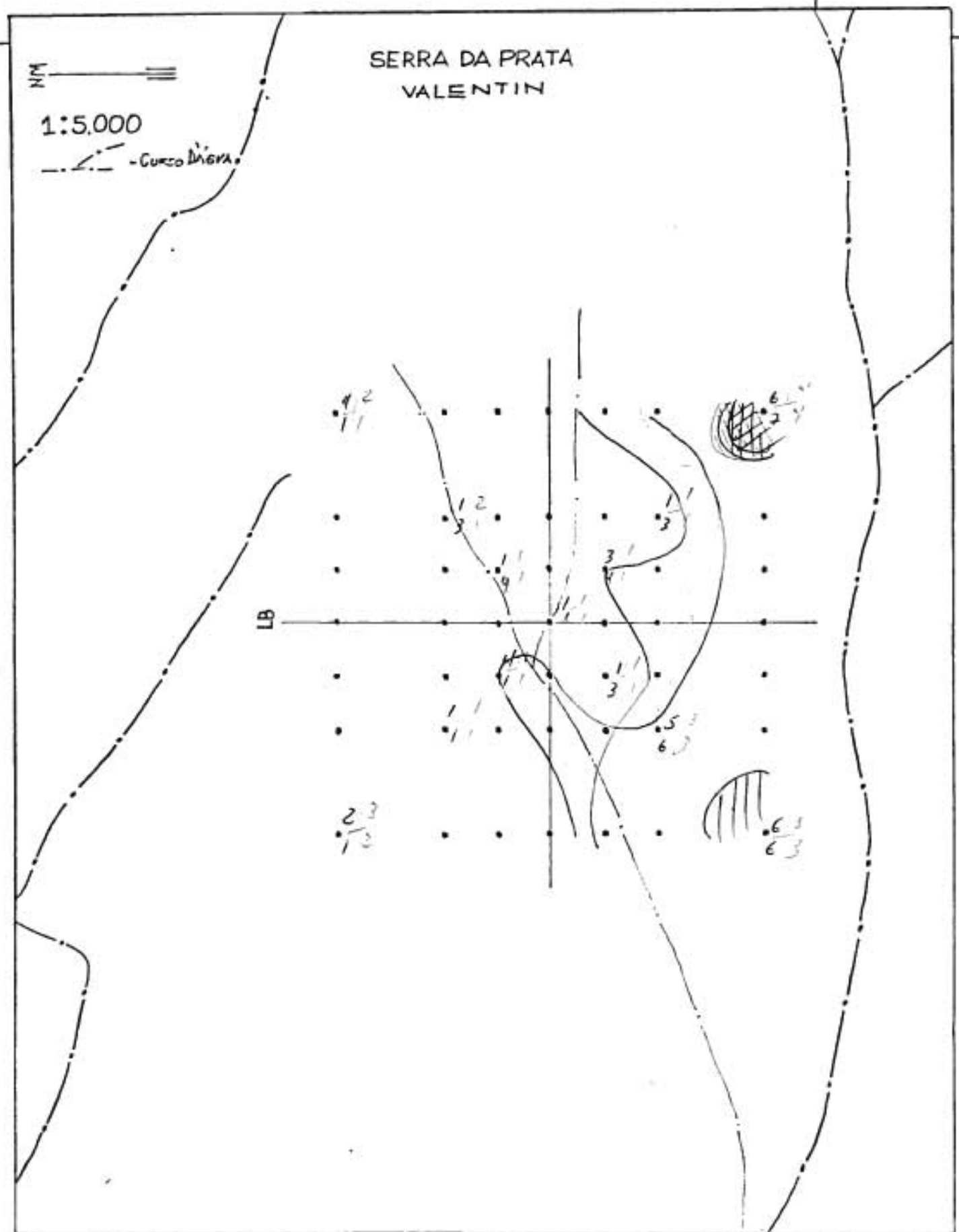
1:5.000

- Guerodigra

LB

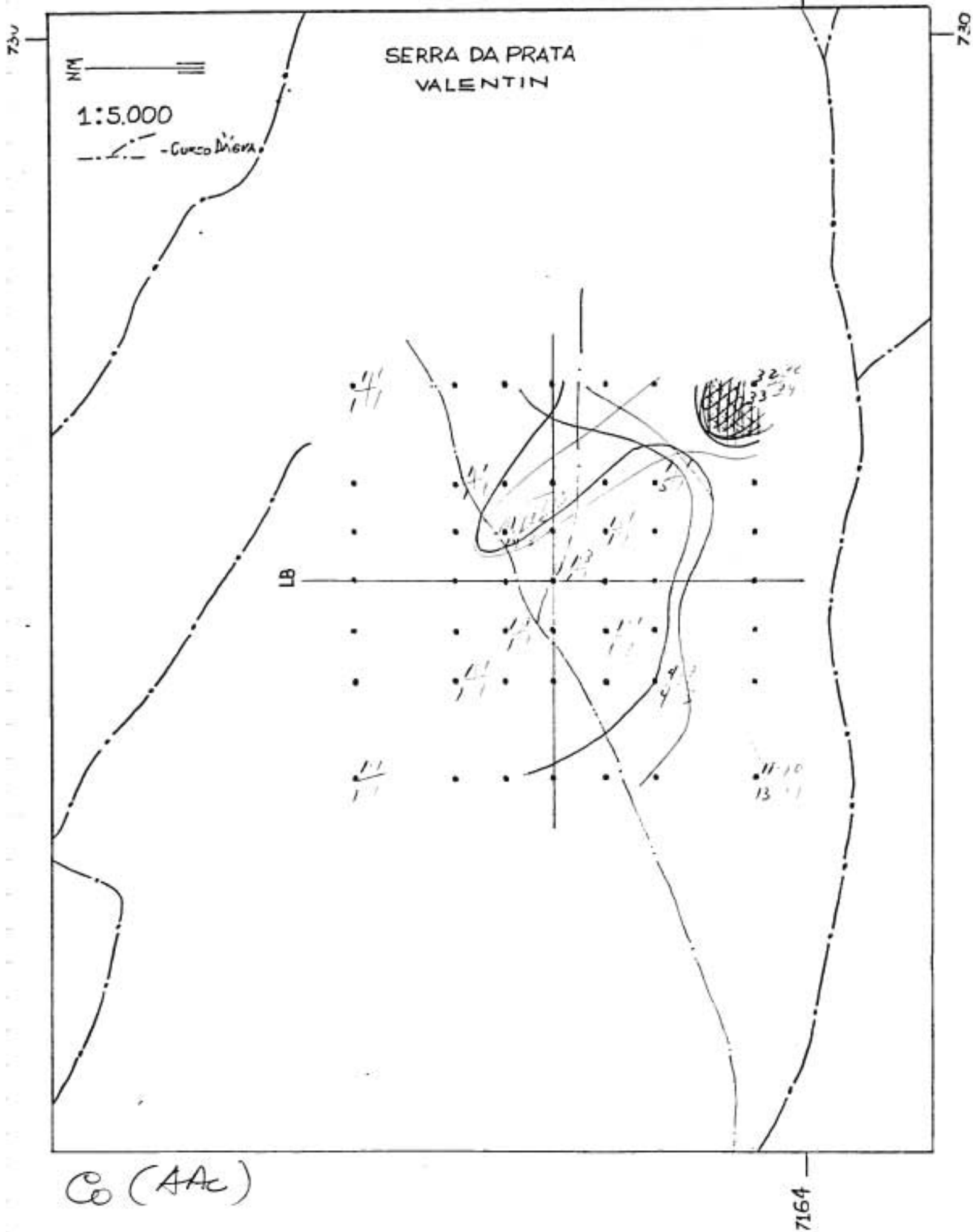


Zn (AAC)



Ni (A Ac)

7164



SERRA DA PRATA
VALENTIN

1:5.000

- Curva Dígrava

LB

185/22

185/23

188/22

188/23

198/22

198/23

7164

 $Fe (AAC) \times 10^2$

364/22

364/23

363/22

363/23

364/22

364/23

31/22

31/23

35/22

35/23

185/22

185/23

188/22

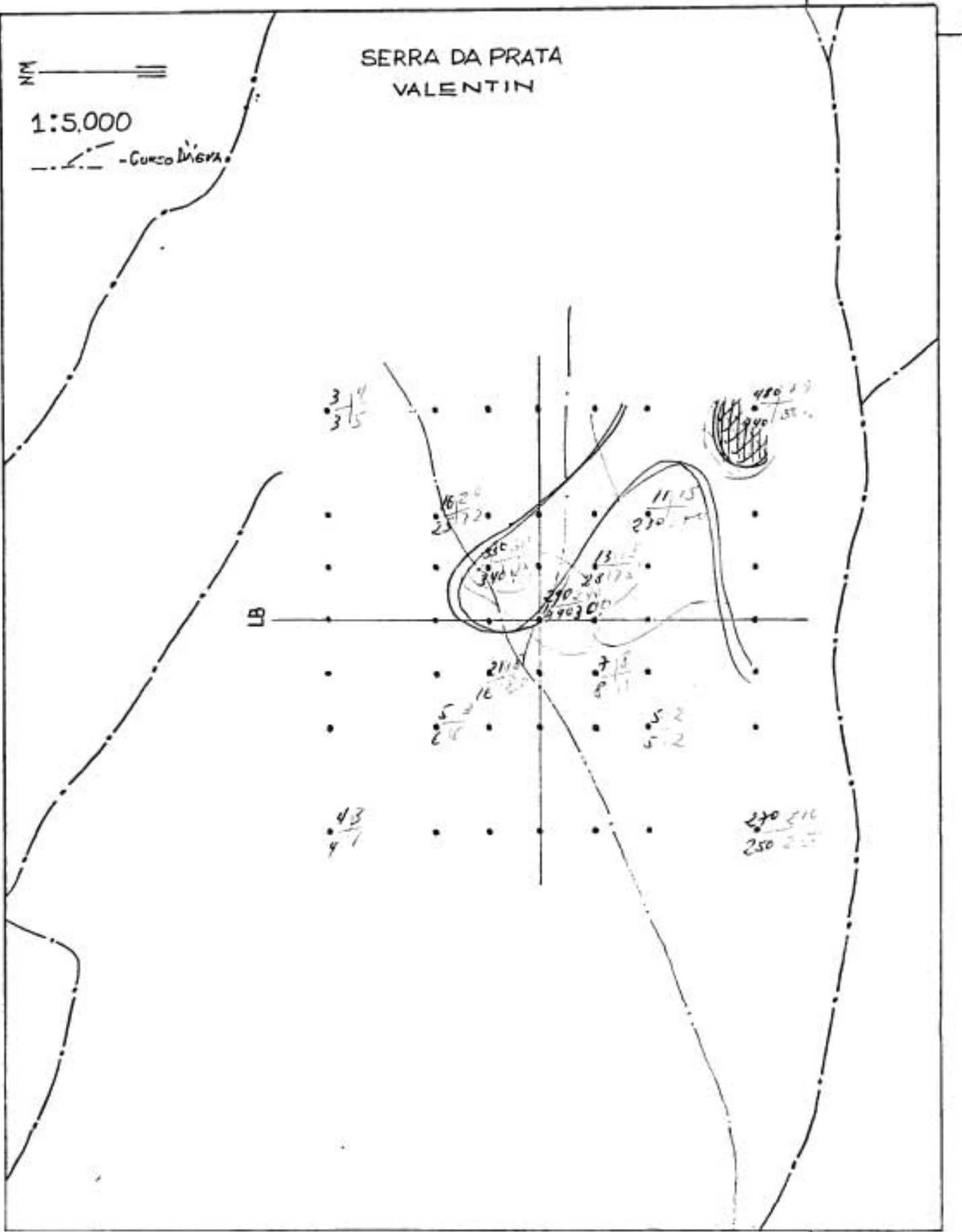
188/23

SERRA DA PRATA
VALENTIN

1:5.000

Curva D'Agua

LB

986 17
986 57240 510
250 227

M (AAC)

ANEXO VIII/A

SERRA DA PRATA
VALENTIN

1:5.000

- Curva Dígras

716

730

LB

LB

7164

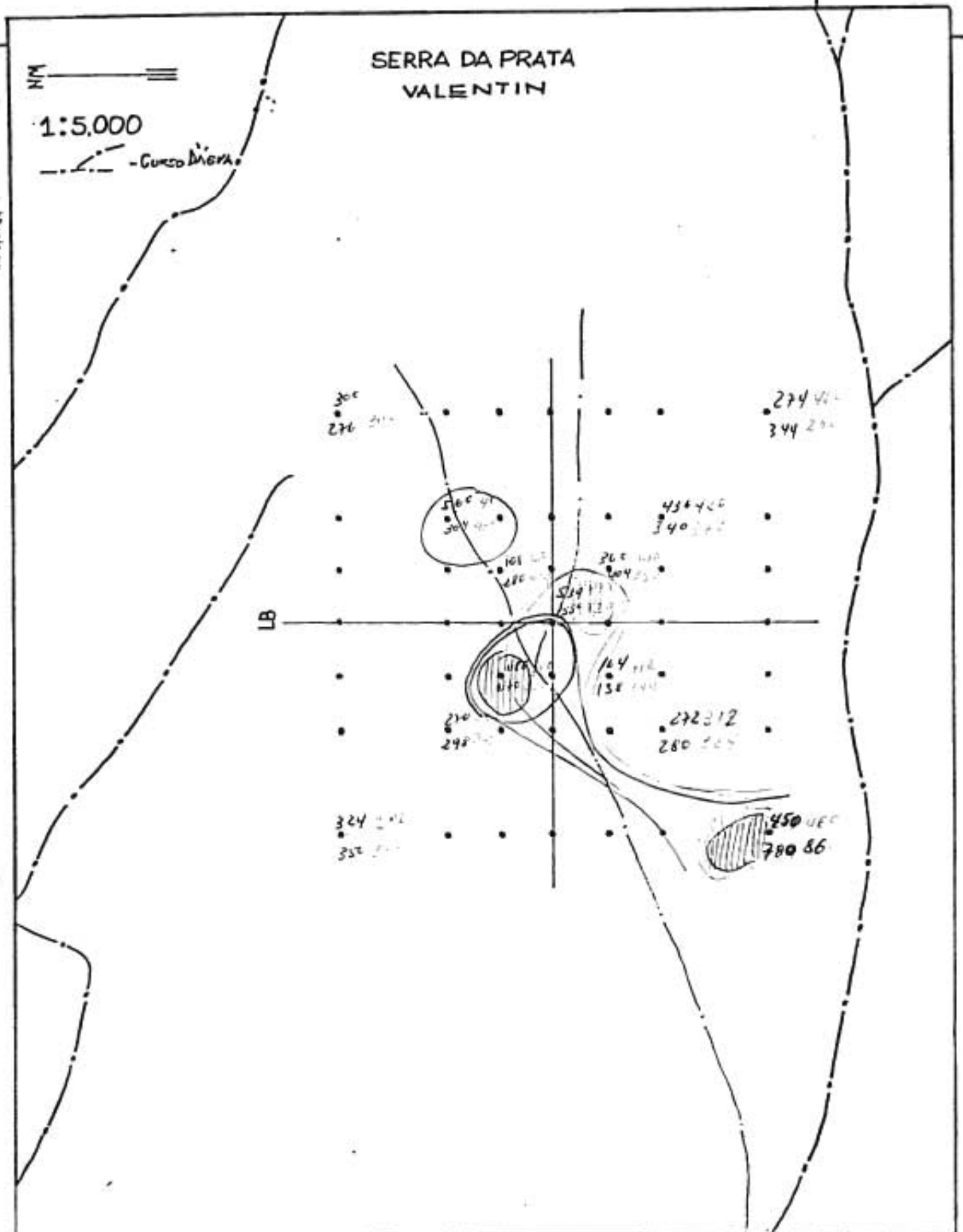
th 70
th 95

-80
A
-80
B

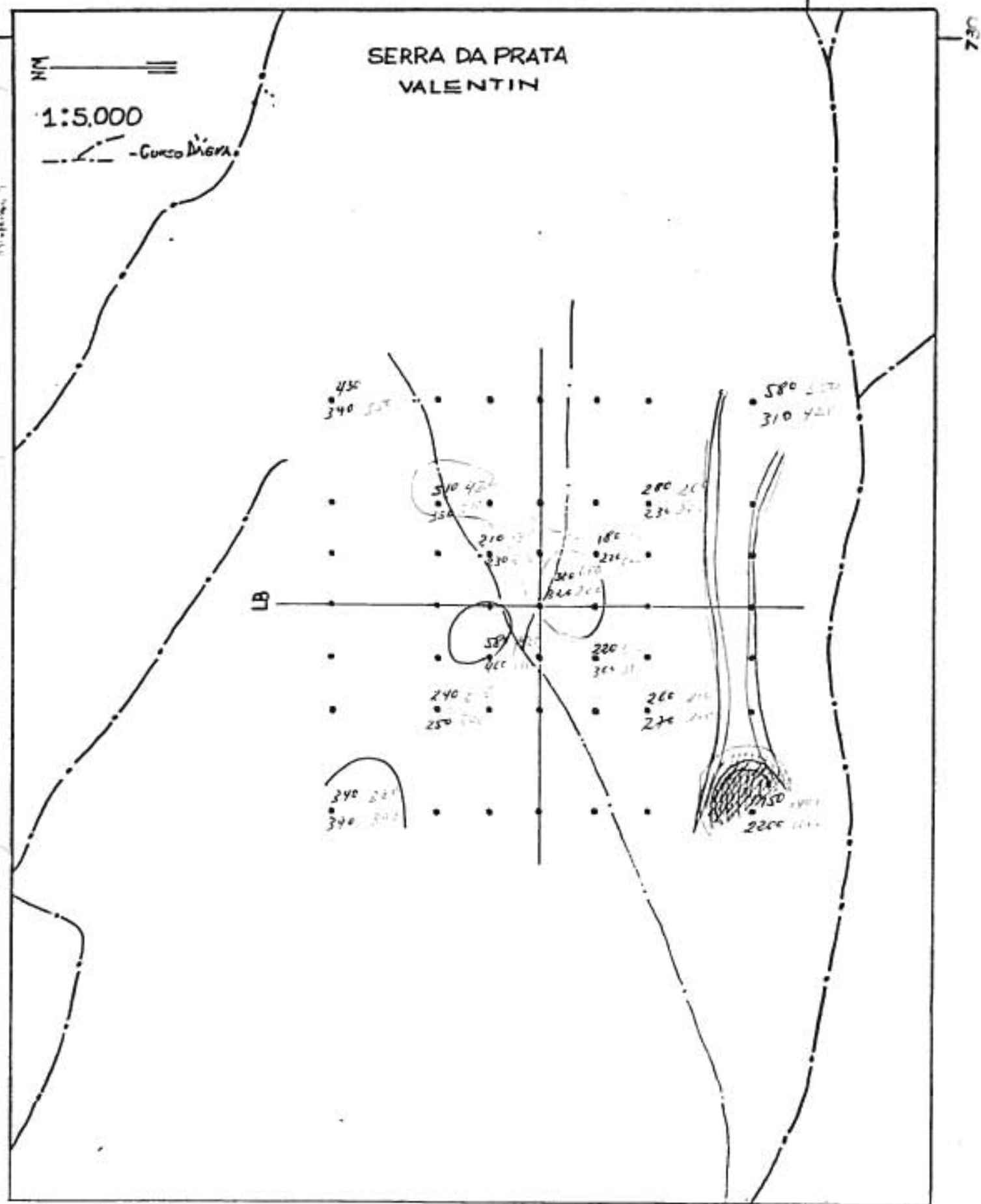
E

M (EE)

ANEXO VIII/B



ANEXO VIII/C:



SERRA DA PRATA
VALENTIN

1:5.000

Curva Dista.

S³E
560 m.s.n.m.

620 440

150 440

620 440

150 440

620 440

150 440

620 440

150 440

620 440

150 440

620 440

150 440

620 440

150 440

620 440

150 440

620 440

150 440

620 440

150 440

620 440

150 440

620 440

150 440

620 440

150 440

620 440

150 440

620 440

150 440

640 410
650 410

240 420

770 440

950 440

F10 440

950 440

122,140

92 440

930 440

740 440

860 440

840 440

840 440

840 440

840 440

840 440

840 440

840 440

840 440

840 440

Ba (EE)

7164

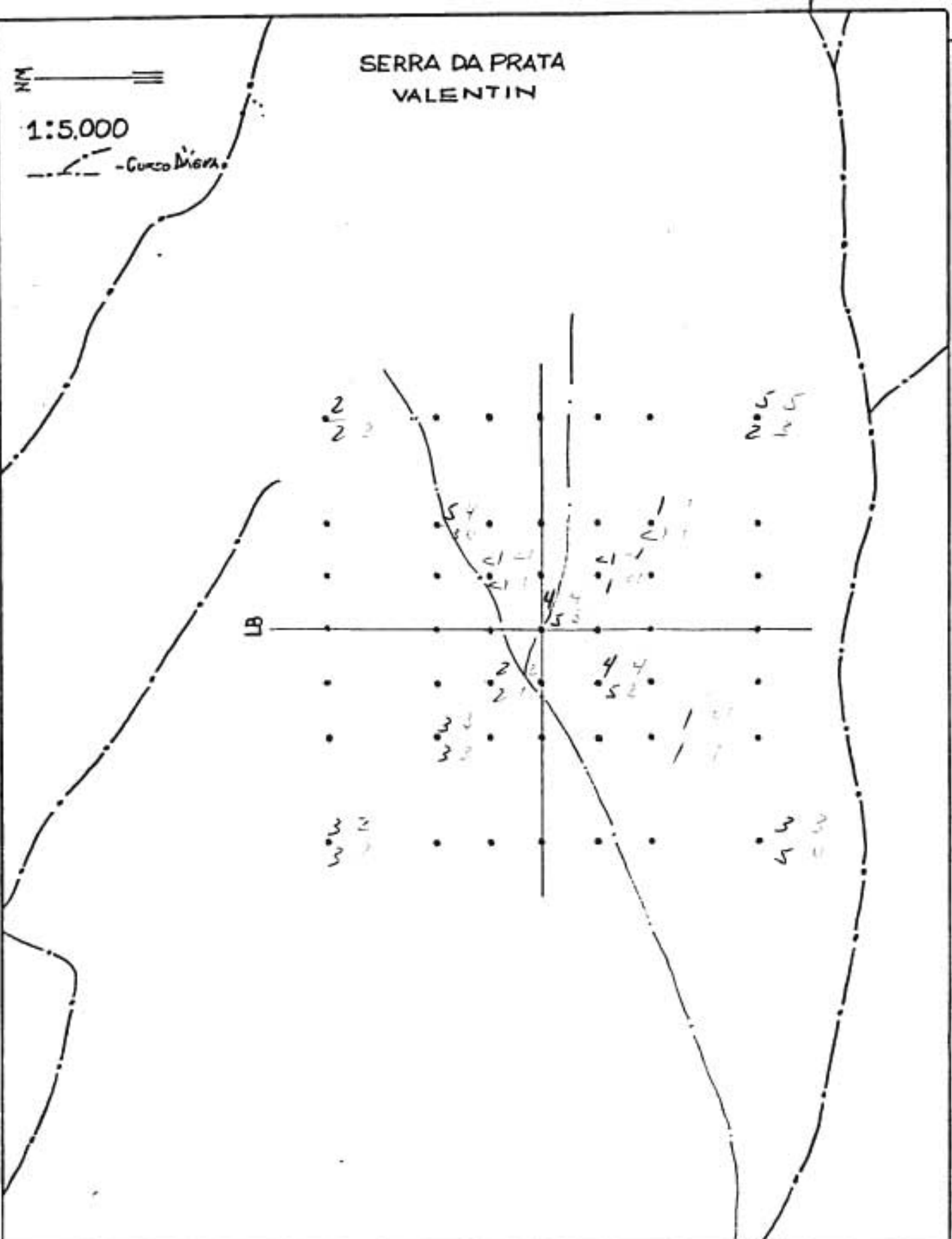
SERRA DA PRATA
VALENTIN

NM

1:5.000

Curro D'Agua

LB

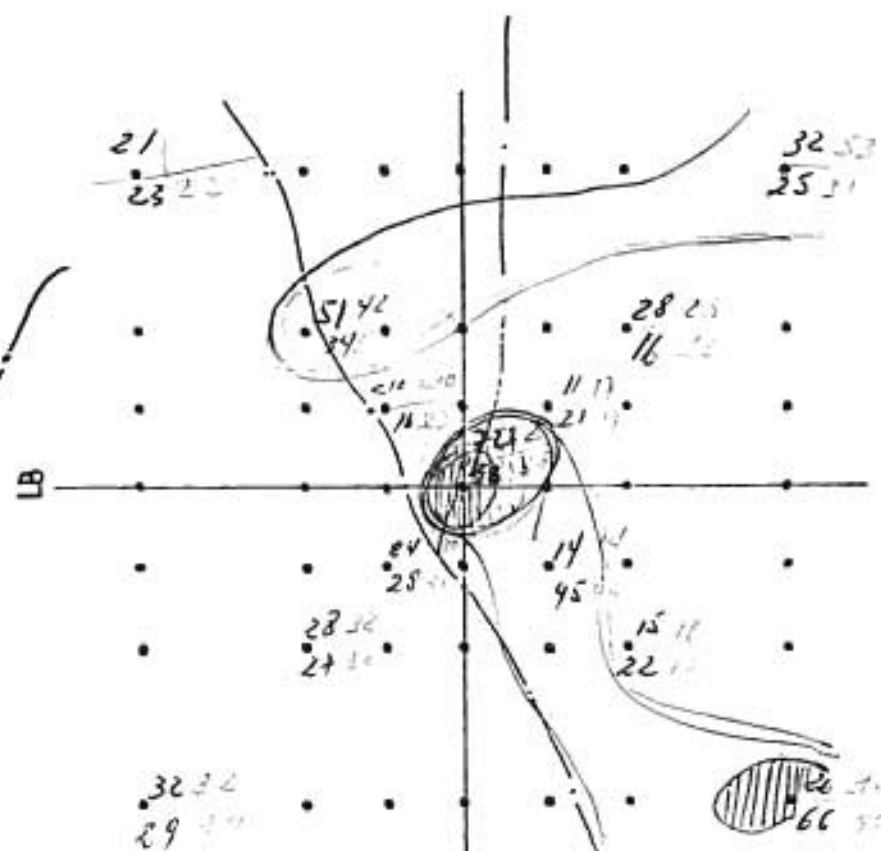


Yb (EE)

SERRA DA PRATA
VALENTIN

1:5.000

Curva Dista.

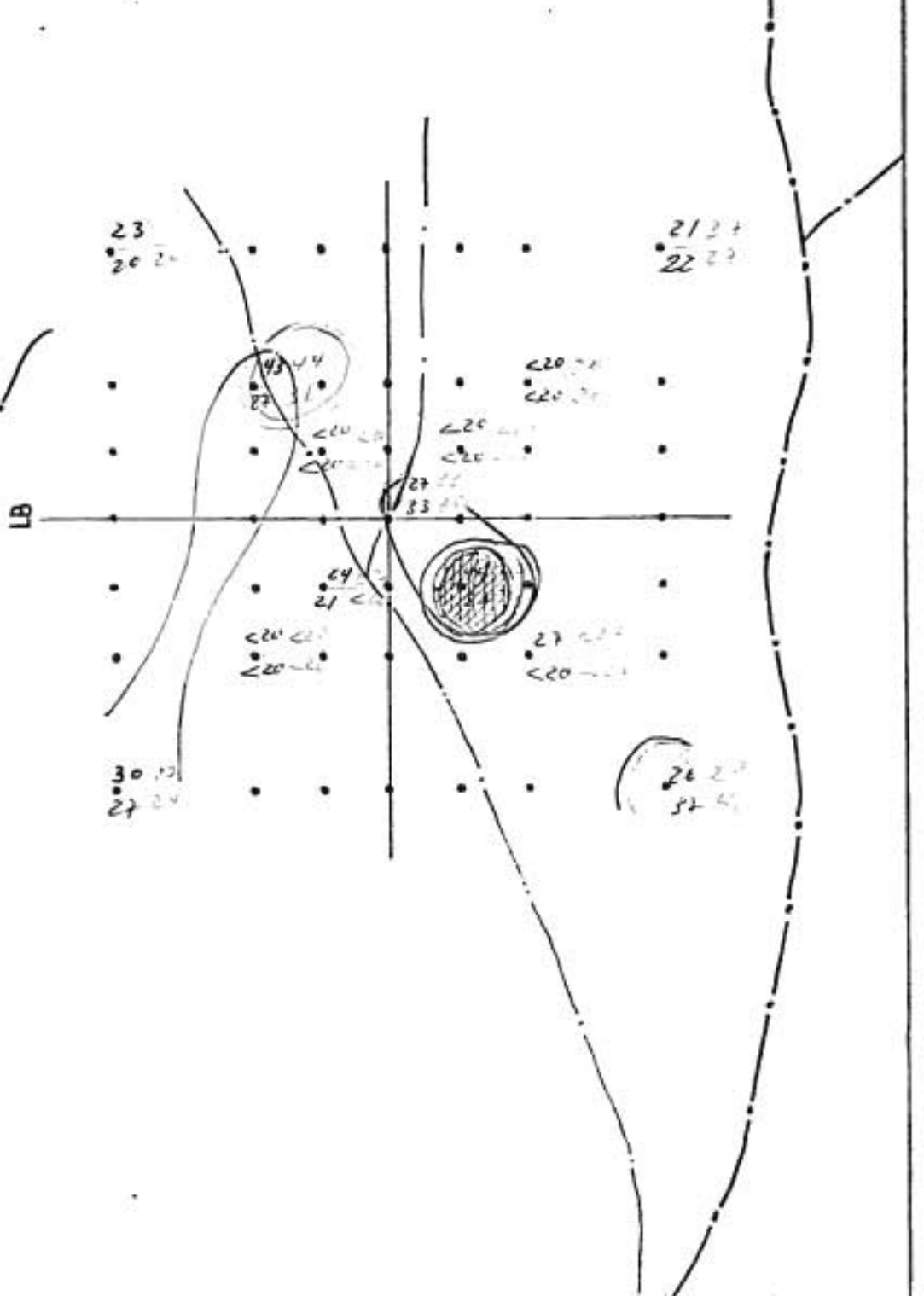


V (EE)

SERRA DA PRATA
VALENTIN

1:5.000

Curva Dista.



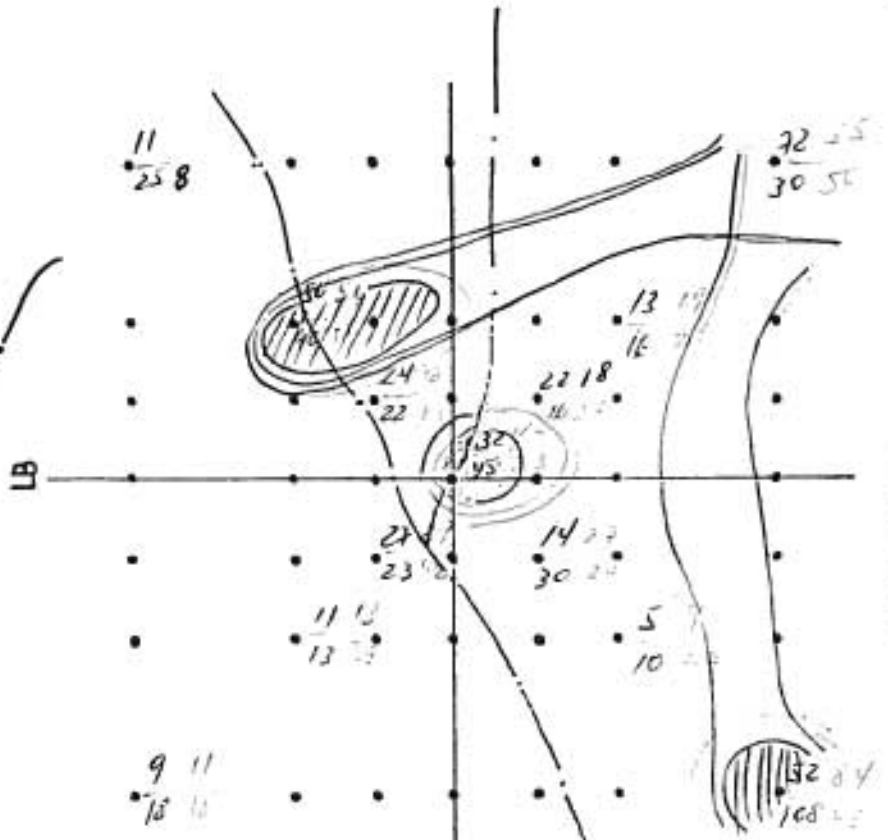
Nb (EE)

7164

SERRA DA PRATA
VALENTIN

1:5.000

Curva Dígrap.



Sf

ANEXO VII/I:

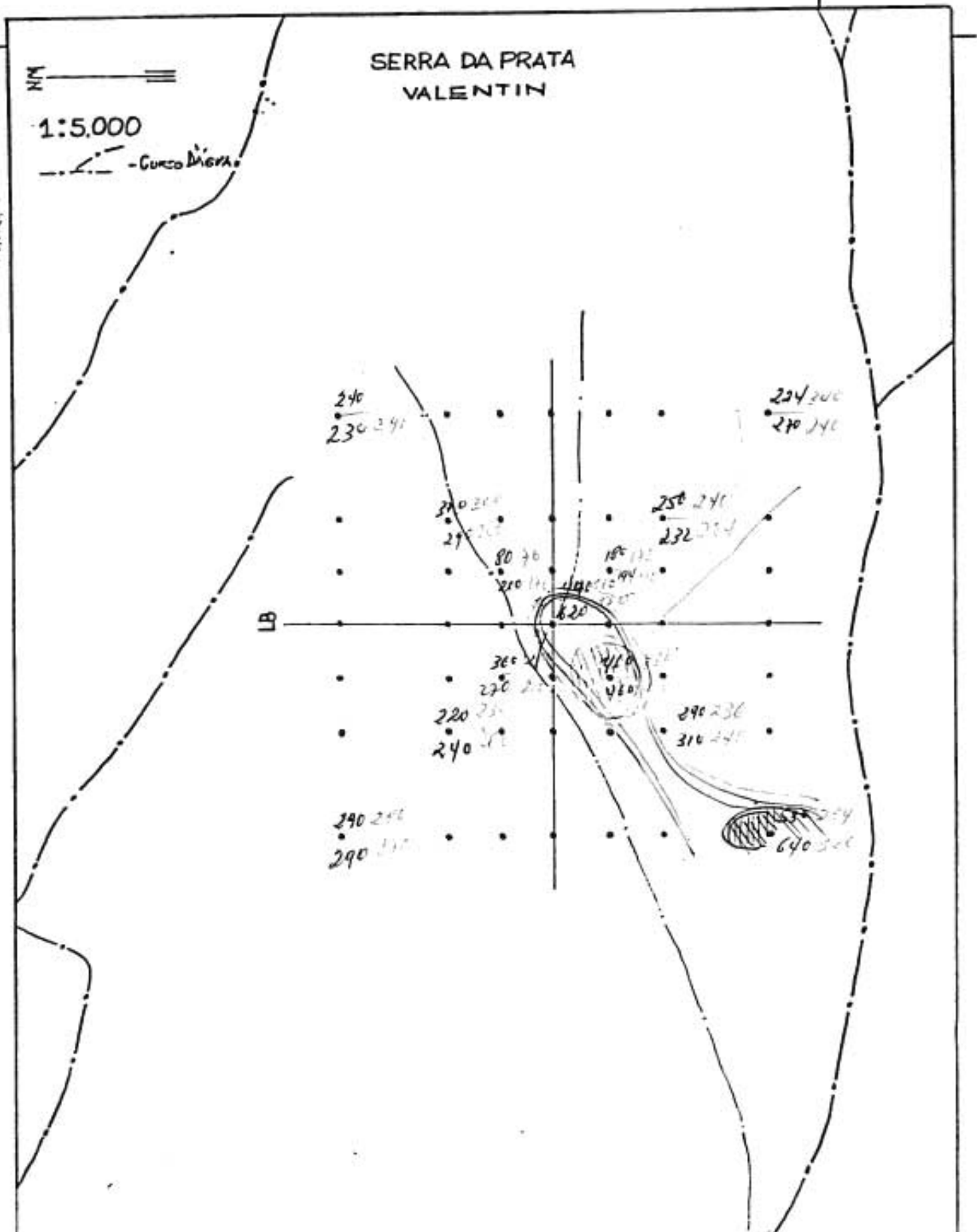
716

三

1:5,000

-Curco Diagra

SERRA DA PRATA
VALENTIN



ZR (EE)

7164

SERRA DA PRATA
VALENTIN

1:5.000

Curva Dígras

LB

C10
C10 | C1024 44
136 41C10 C10
C10 C1036 42
80 41

Pb (EE)

ANEXO III/K

SERRA DA PRATA
VALENTIN

1:5.000

-Curva Diégra-

M

730

B

7164

58 16
46

10
10

< <

22

31

22

40 70

64 22

92

35

21

13 15

43 33

45

29 11

31 60

81

35

24 18

18 24

B (EE)

SERRA DA PRATA
VALENTIN

NW

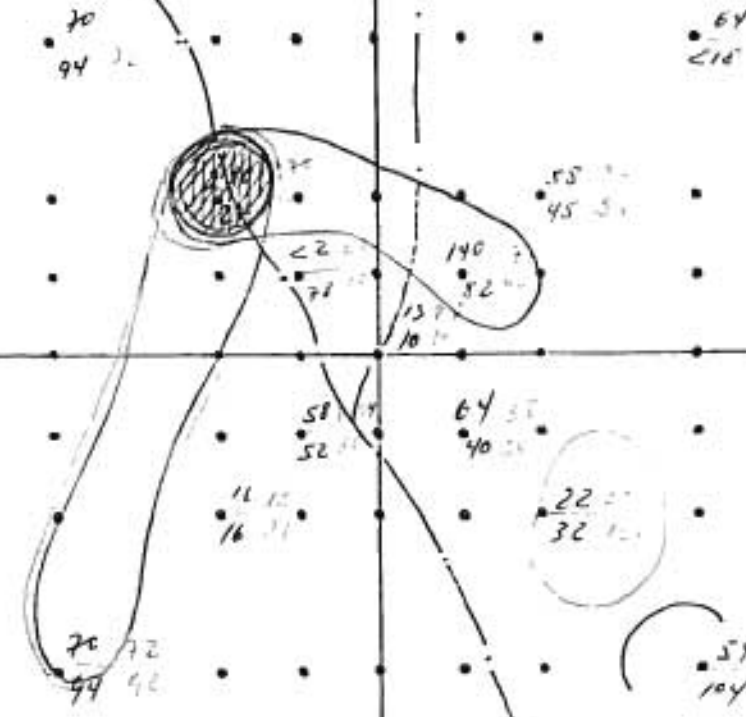
1:5.000

Curva das Águas

LB

Cr (EE)

7164



SERRA DA PRATA
VALENTIN

N

1:5.000

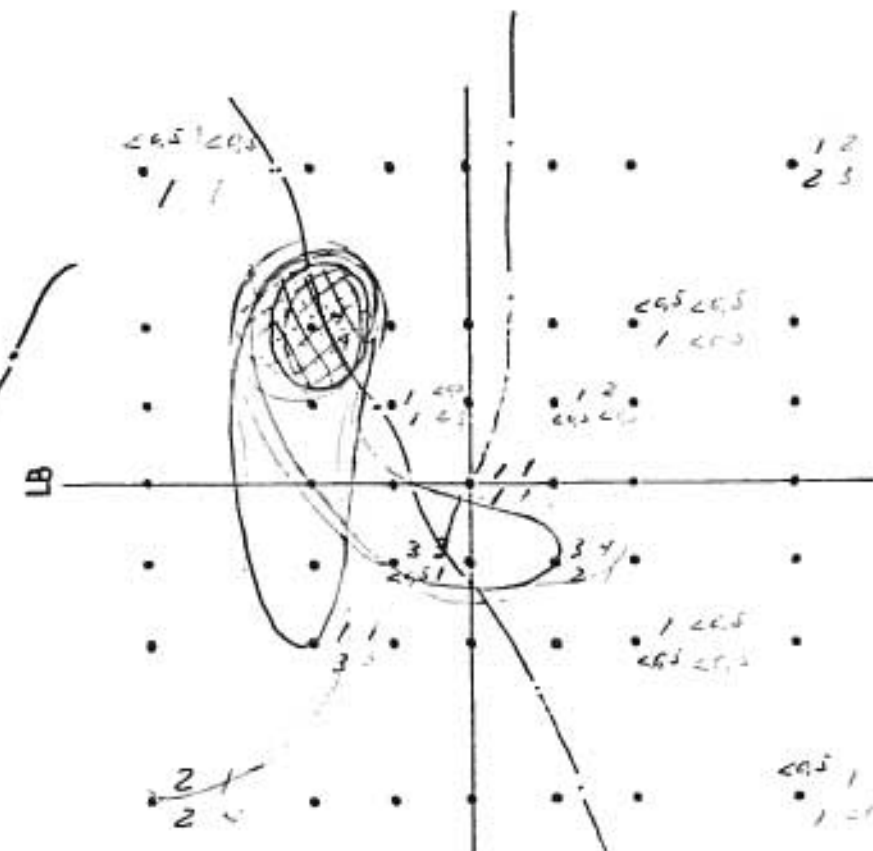
- CURSO D'AGUA

LB

7164

716

730



AS (EE)

SERRA DA PRATA
VALENTIN

1:5.000

Curco D'Isra.

- 70th - ○
- 85th - ○
- A — E
- A — E - 40/47

750

735

44/47
60/5134
44/4058
49/5115/11
48/2118/18
48/5518/25
22/2226/21
30/2220/11
22/1930/14
34/3414/16
19/1256/66
80/80

Ceu (EE)

7164

SERRA DA PRATA
VALENTIN

NNE

1:5.000

Curva Dígrafo

LB

SERRA DA PRATA
VALENTIN

NM

1:5.000

Curva Díagra

B

6
725 < 5
25 < 525 < 5
25 < 525 < 5
25 < 531 76
3411
20

C (EE)

SERRA DA PRATA
VALENTIN

NN

1:5,000

- CURSO D'AGRA -

104
113 116138 136
180 180120
106 112134 132
196 19638 11
38 61
38 112
45 4949 49
55 5671 112
67224 227
14534 60
62 15

V (EE)

SERRA DA PRATA
VALENTIN

NM

1:5.000

- Curso Dígra -

LB

66 > 100
24

51

51

54 10

92

51 21

51

52 53

51

51

51

51

51

51

51

51

51

51

51

51

51

51

51

51

51

51

51

51

51

51

51

51

51

51

51

51

51

51

51

51

51

51

51

51

51

51

51

51

51

51

51

51

51

51

51

51

51

51

51

51

51

51

51

51

51

51

51

51

51

51

51

51

51

51

51

51

51

51

51

51

51

51

51

51

51

51

51

51

51

51

51

51

51

51

51

51

51

51

51

51

51

51

51

51

51

51

51

51

51

51

51

51

51

51

51

51

51

51

51

51

51

51

51

51

51

51

51

51

51

51

51

51

51

51

51

51

51

51

51

51

51

51

51

51

51

51

51

51

51

51

51

51

51

51

51

51

51

51

51

51

51

51

51

51

51

51

51

51

51

51

51

51

51

51

51

51

51

51

51

51

51

51

51

51

51

51

51

51

51

51

51

51

51

51

51

51

51

51

51

51

51

51

51

51

51

51

51

51

51

51

51

51

51

51

51

51

51

51

51

51

51

51

51

51

51

51

51

51

51

51

51

51

51

51

51

51

51

51

51

51

51

51

51

51

51

51

51

51

51

51

51

51

51

51

51

51

51

51

51

51

51

51

51

51

51

51

51

51

51

51

51

51

51

51

51

51

51

51

51

51

51

51

51

51

51

51

51

51

51

51

51

51

51

51

51

51

51

51

51

51

51

51

51

51

51

51

51

51

51

51

51

51

51

51

51

51

51

51

51

51

51

51

51

51

51

51

51

51

51

51

51

51

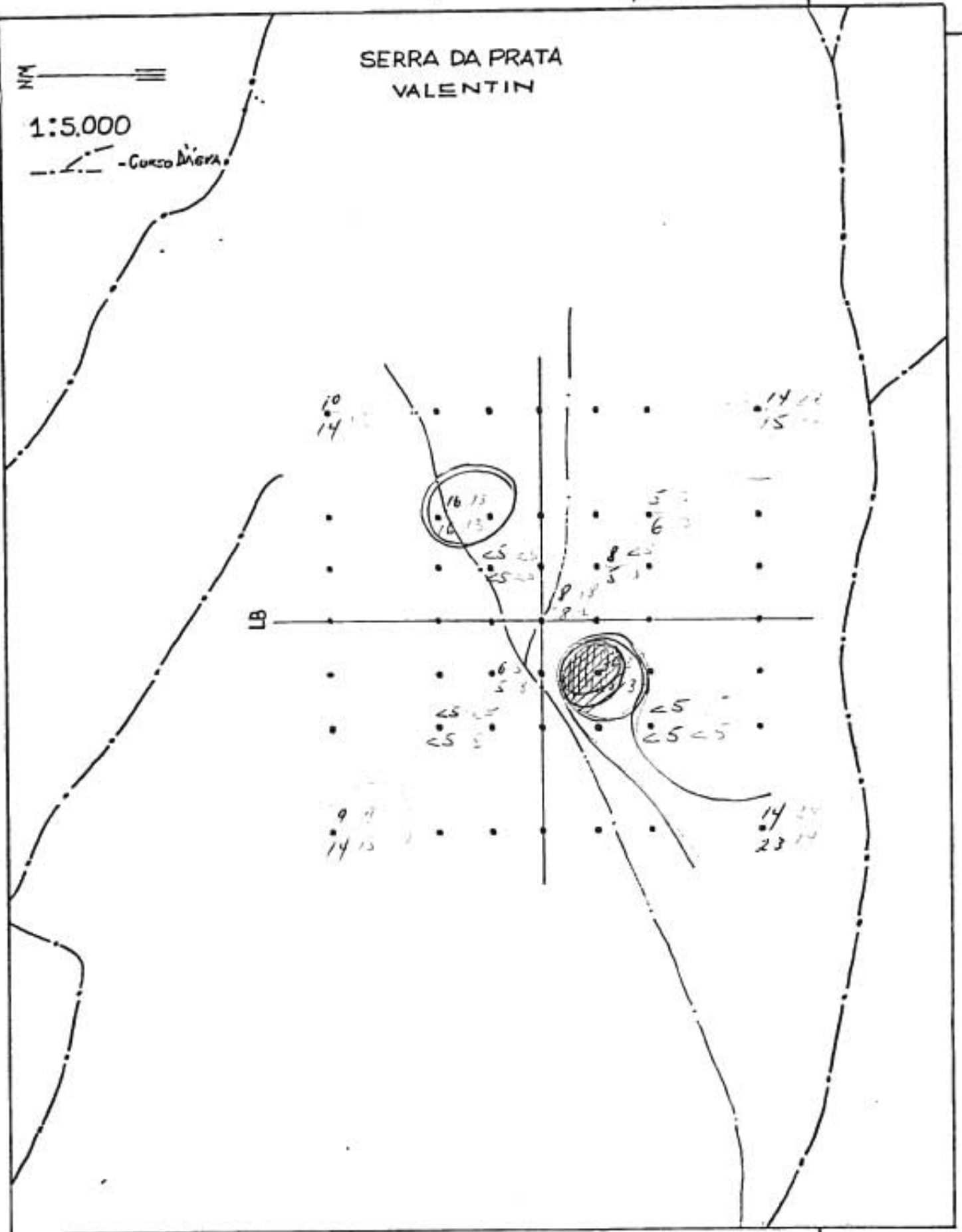
SERRA DA PRATA
VALENTIN

N

1:5.000

Curva Dígrá

B

10
1416
15
13<5
<5
<5<5
<5
<59
14
133
3
36
<5
<5
<514
1514
23
14

Sc (EE)

7164

SERRA DA PRATA
VALENTIN

NM

1:5.000

Curva D'Agua

B

28
24

24

24

24

24

24

24

24

24

24

24

24

24

24

24

24

24

24

24

24

24

24

24

24

24

24

24

24

24

24

24

24

24

24

24

24

24

24

24

24

24

24

24

24

24

24

24

24

24

24

24

24

24

24

24

24

24

24

24

24

24

24

24

24

24

24

24

24

24

24

24

24

24

24

24

24

24

24

24

24

24

24

24

24

24

24

24

24

24

24

24

24

24

24

24

24

24

24

24

24

24

24

24

24

24

24

24

24

Ga (EE)

7164

ANEXO III / U

17164

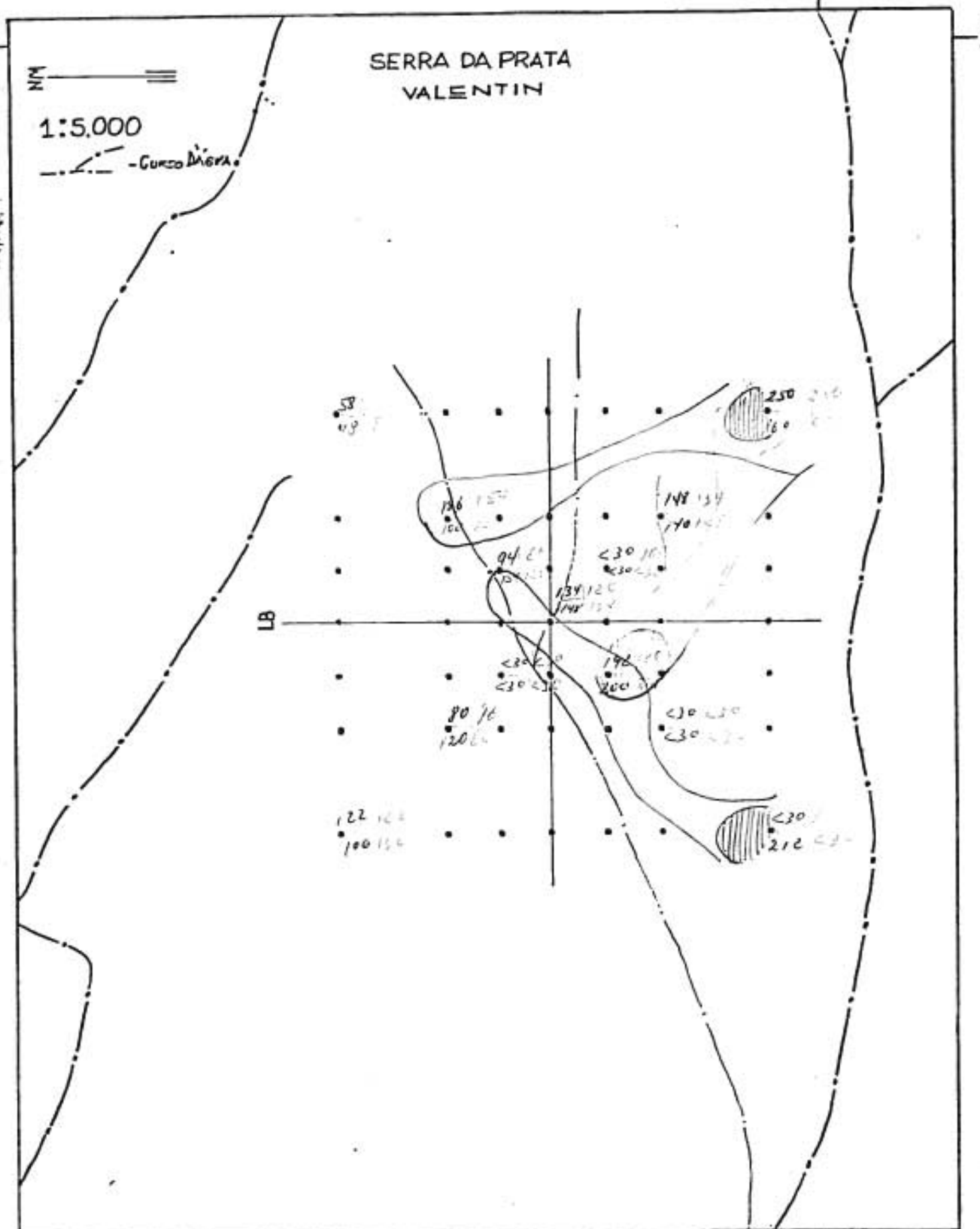
०६४

卷之三

1:5,000

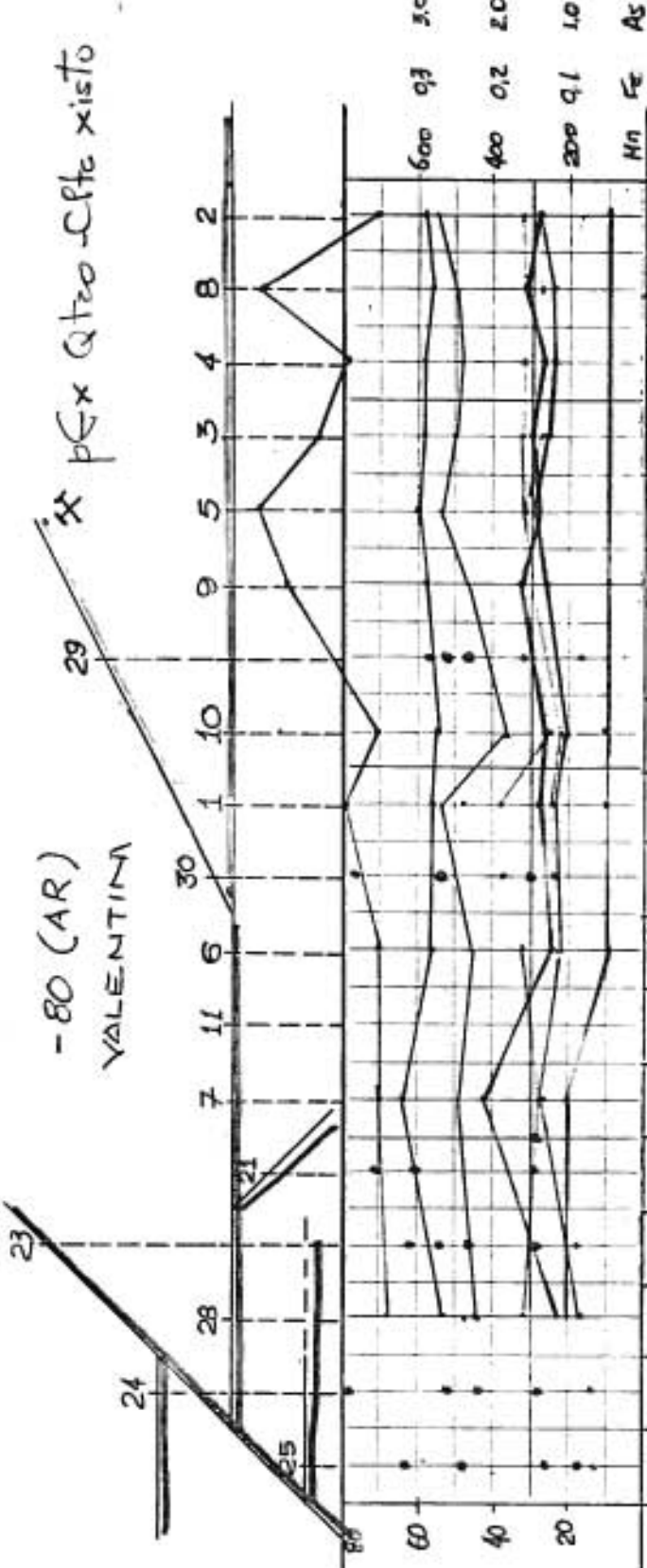
-CURSO DIETRA-

SERRA DA PRATA
VALENTIN

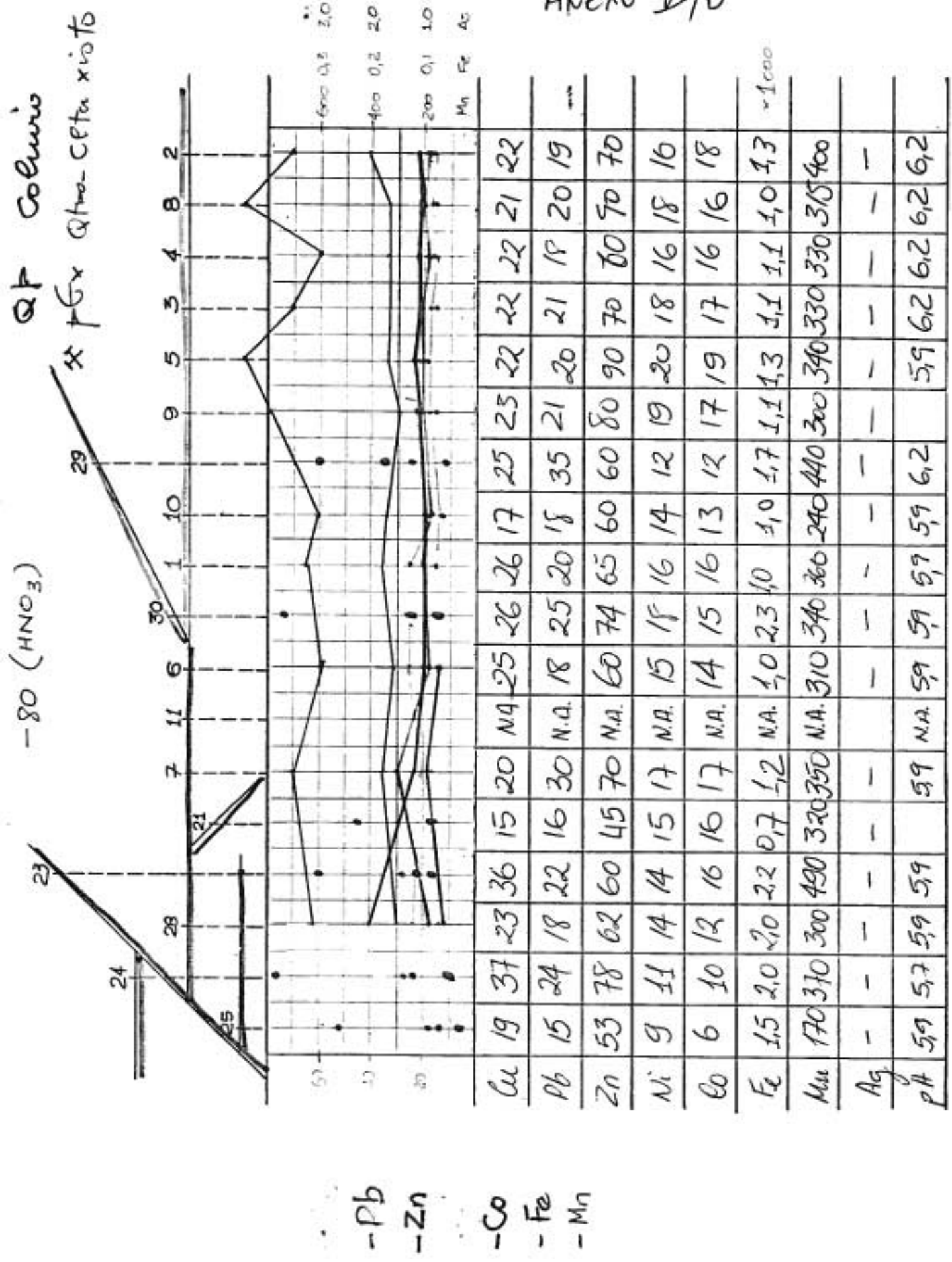


La (EE)

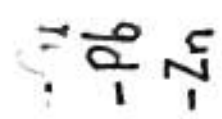
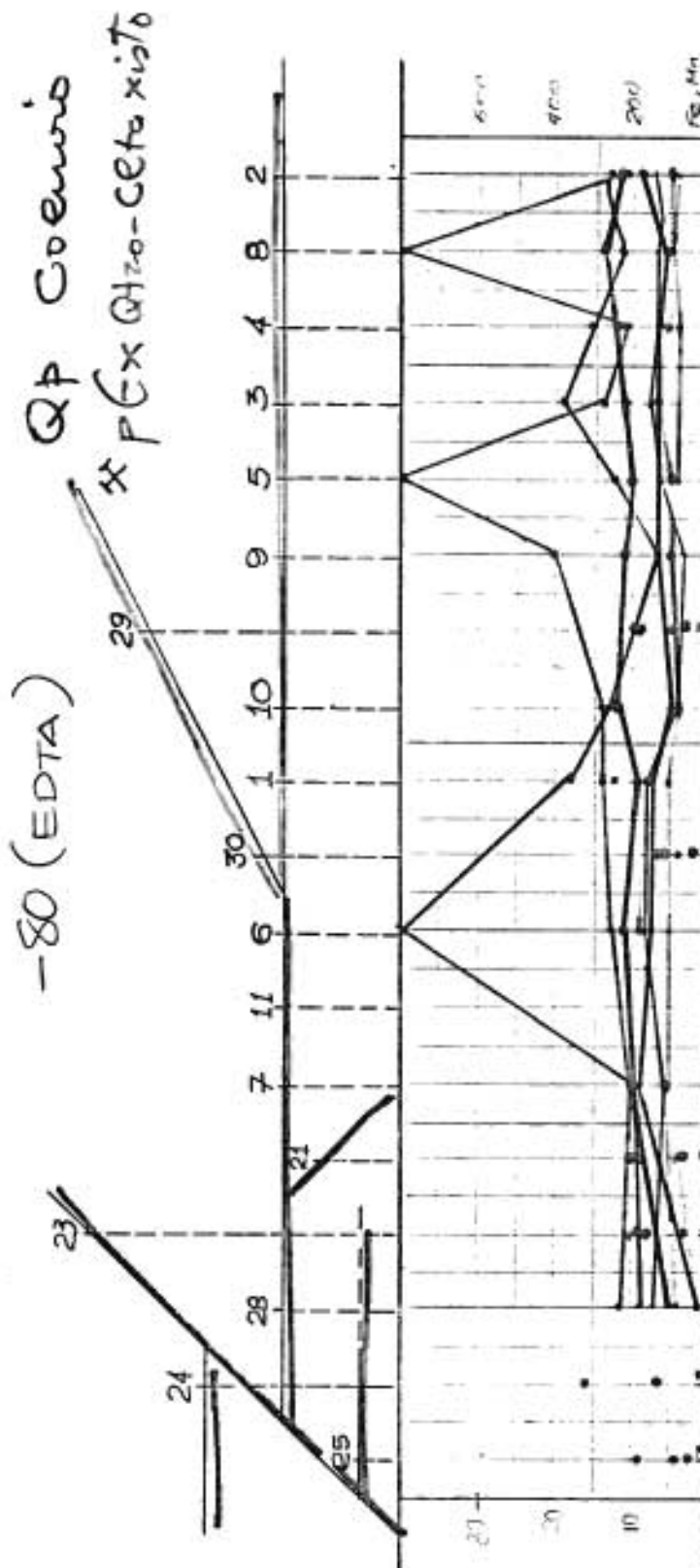
7164



	Mn	Fe	As	Co	Fe	Mn	As	pH
Cu	26	43	32	46	29	28	NA	33
Pb	19	29	23	29	42	NA	25	30
Zn	63	80	68	62	60	70	76	80
Ni	13	14	17	18	30	27	NA	24
Co	9	12	17	20	25	26	NA	22
Fe	24	26	27	27	3,5	3,2	NA	2,8
Mn	270	510	460	620	480	490	NA	450
As	<0,5	0,5	1,0	<0,5	1,0	NA	<0,5	1,0
pH	5,9	5,7	5,9	5,9	5,9	NA	5,9	6,2



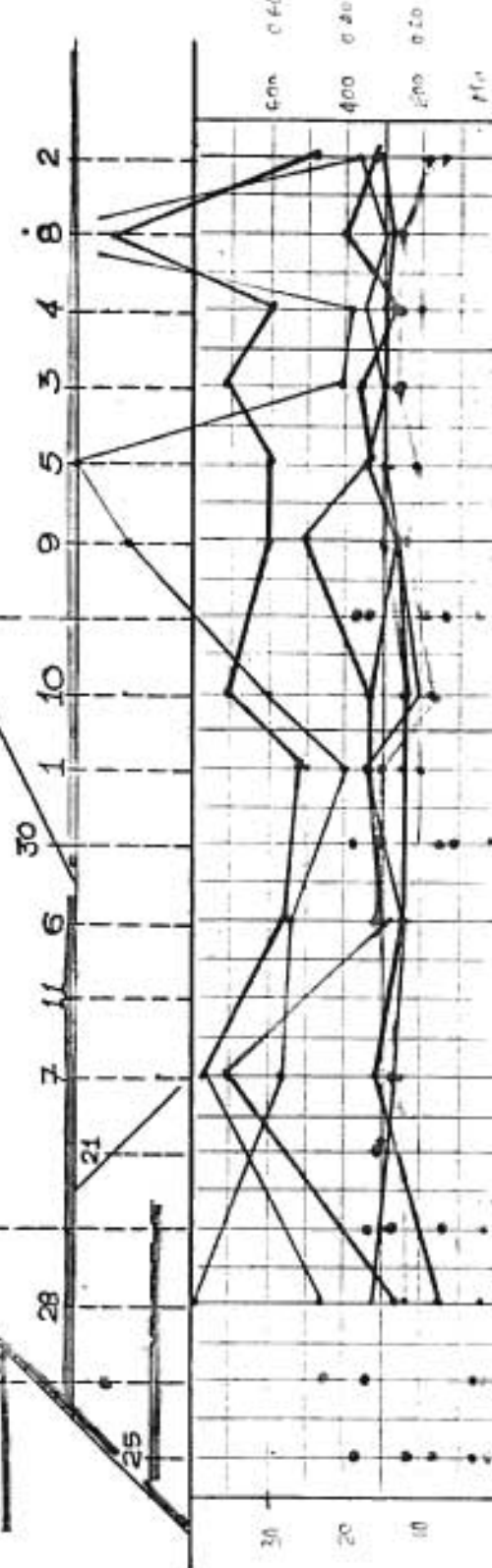
ANEXO IX/c

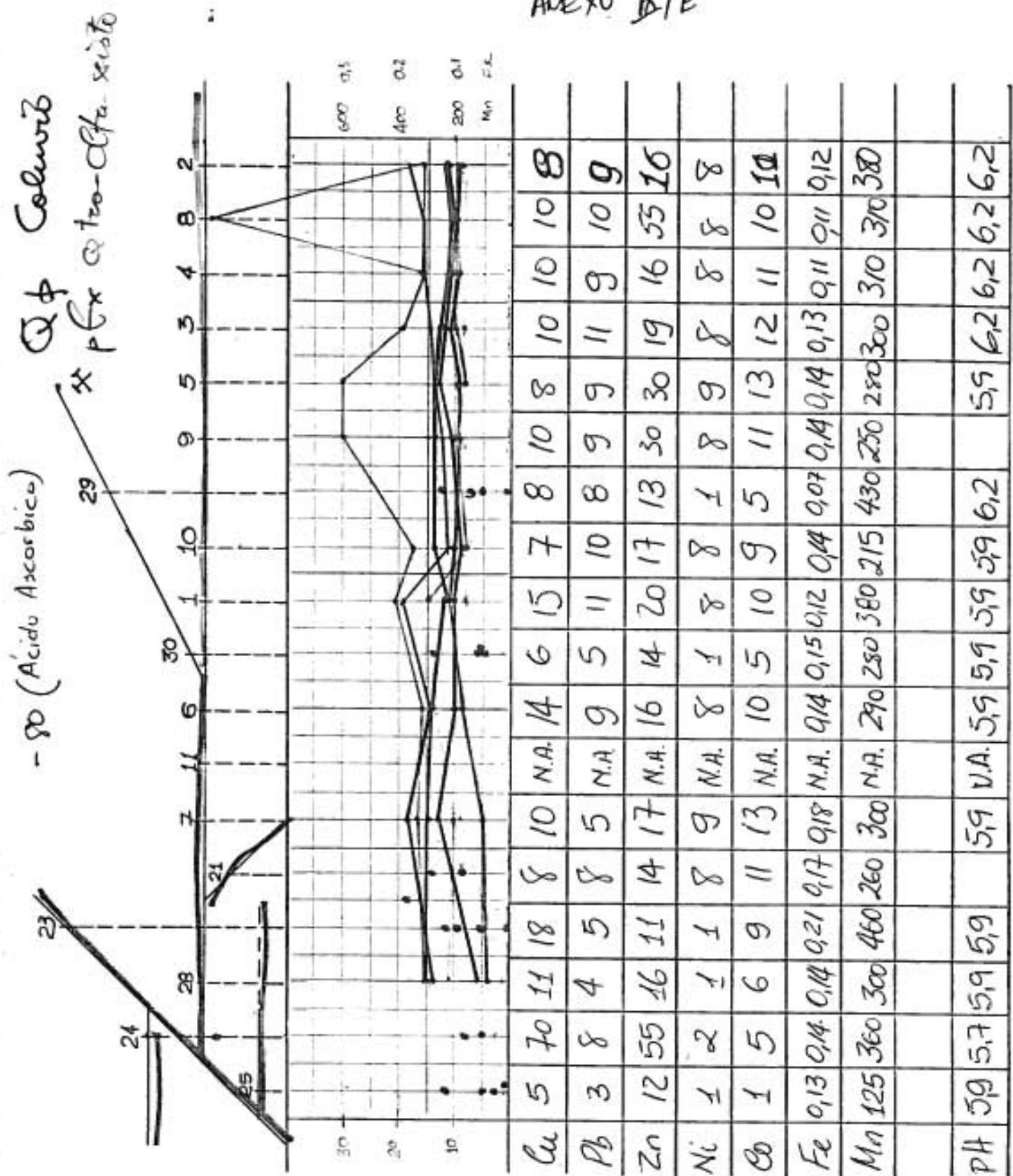


QF Coercive

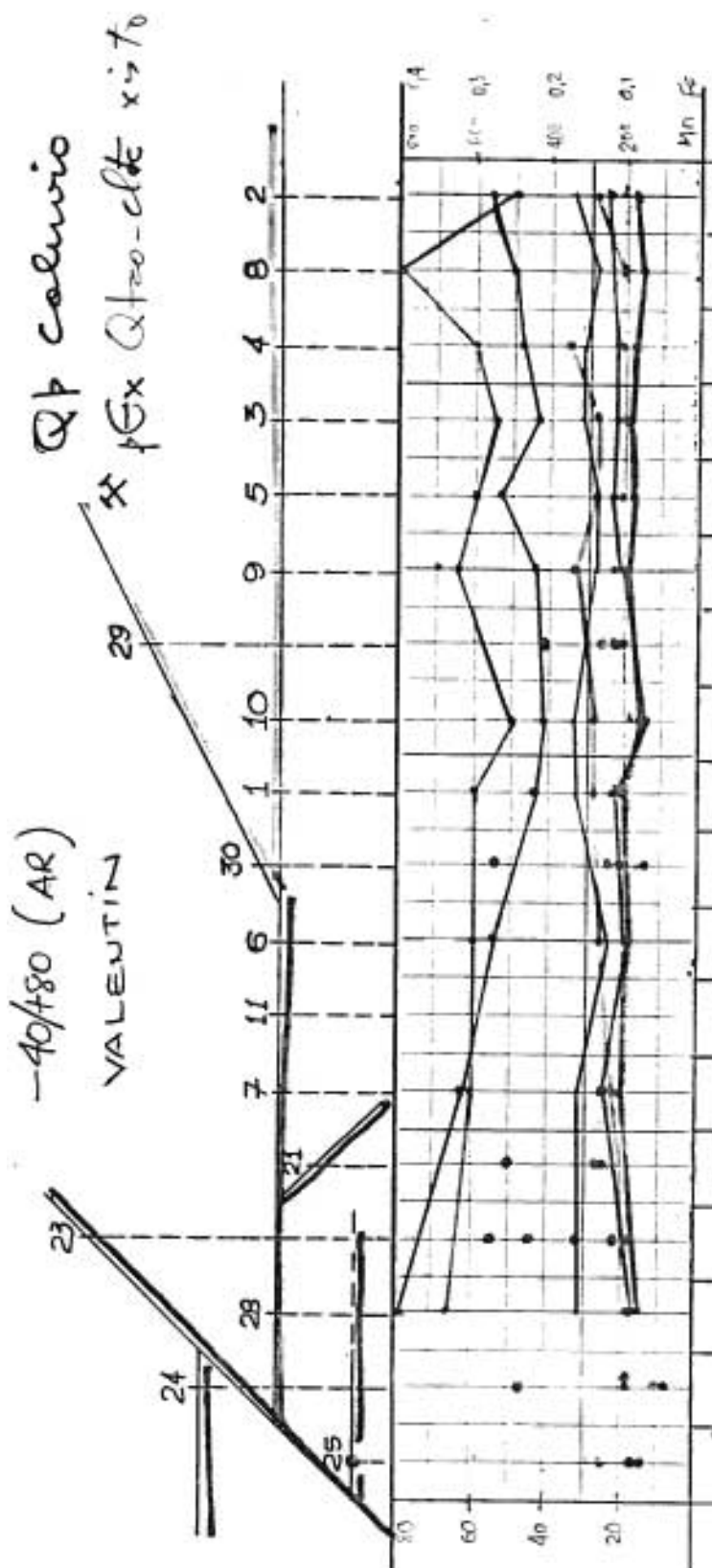
~~100 x Q + 10 - CCF x 100~~

- 80 (Hce)

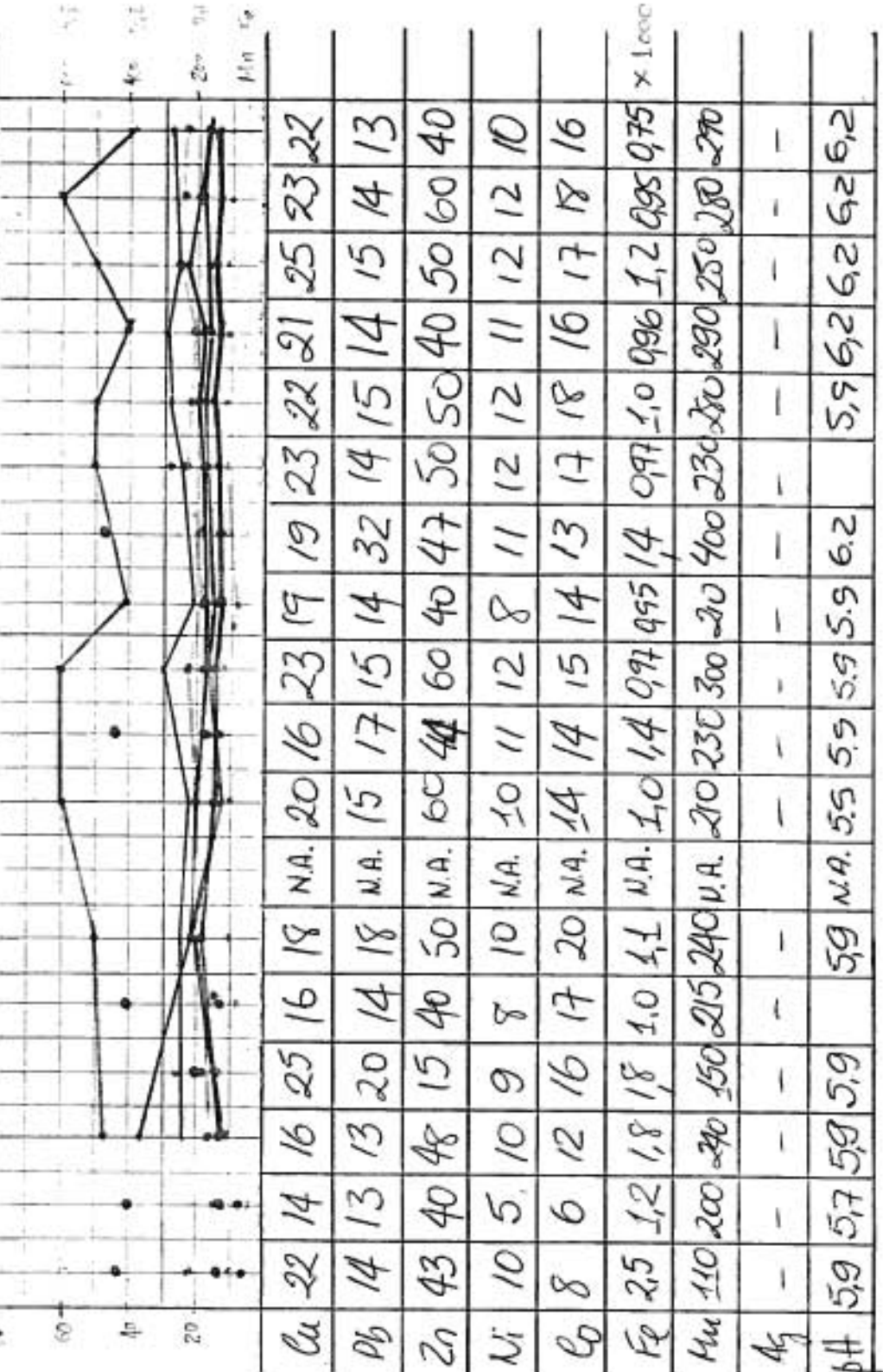
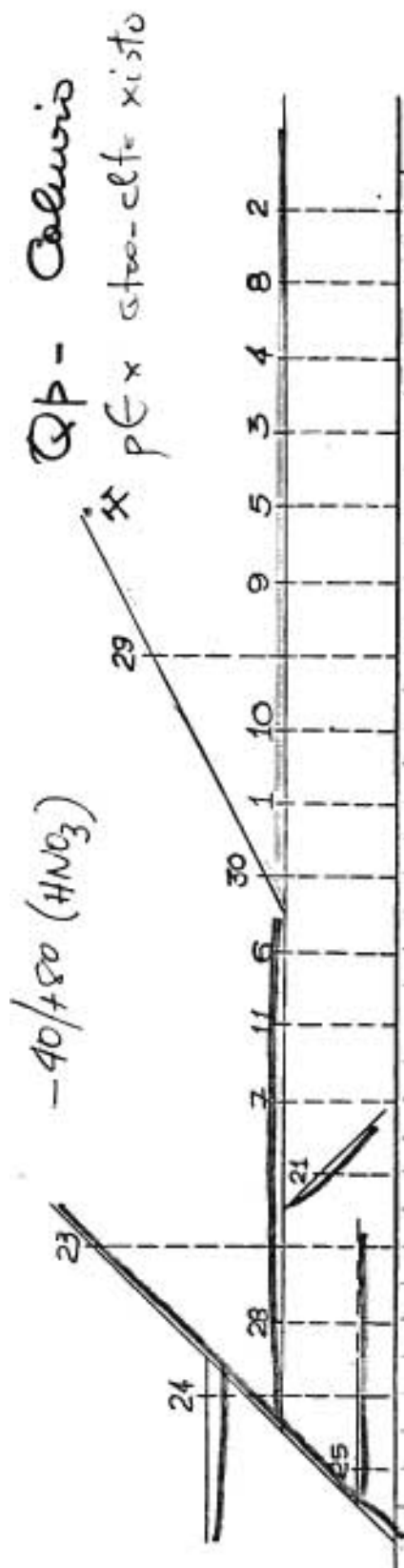




ANEXO X/A



ANEXO X/B



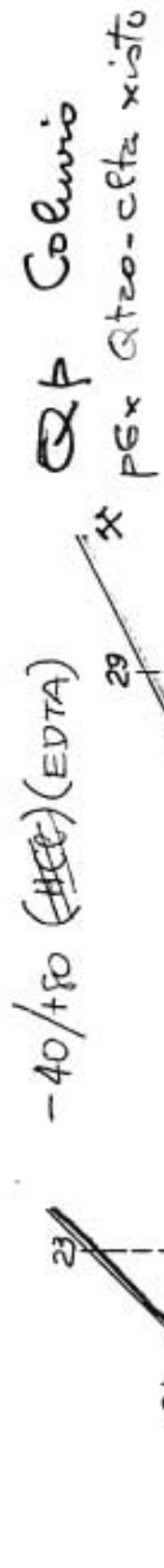
-Pb

-Zn

-Co

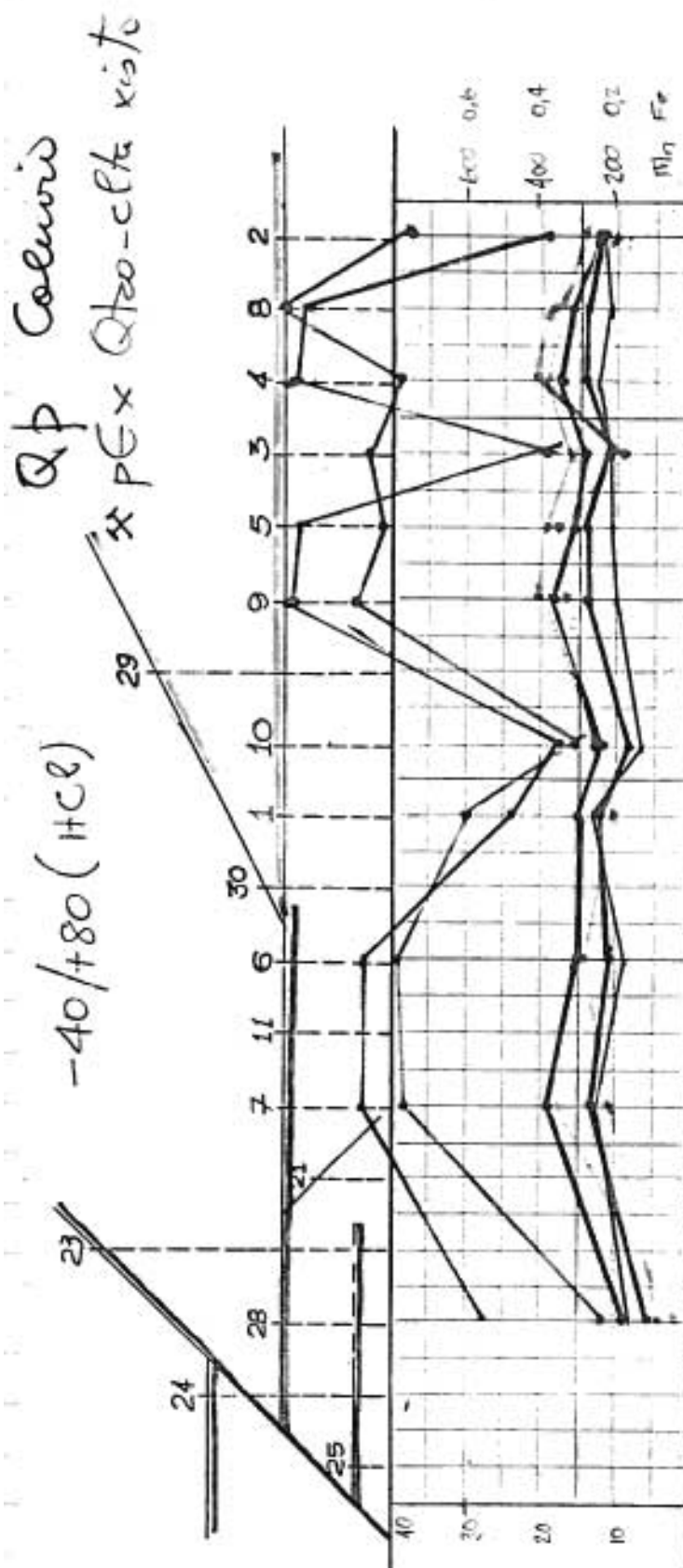
-Fe

-Mn

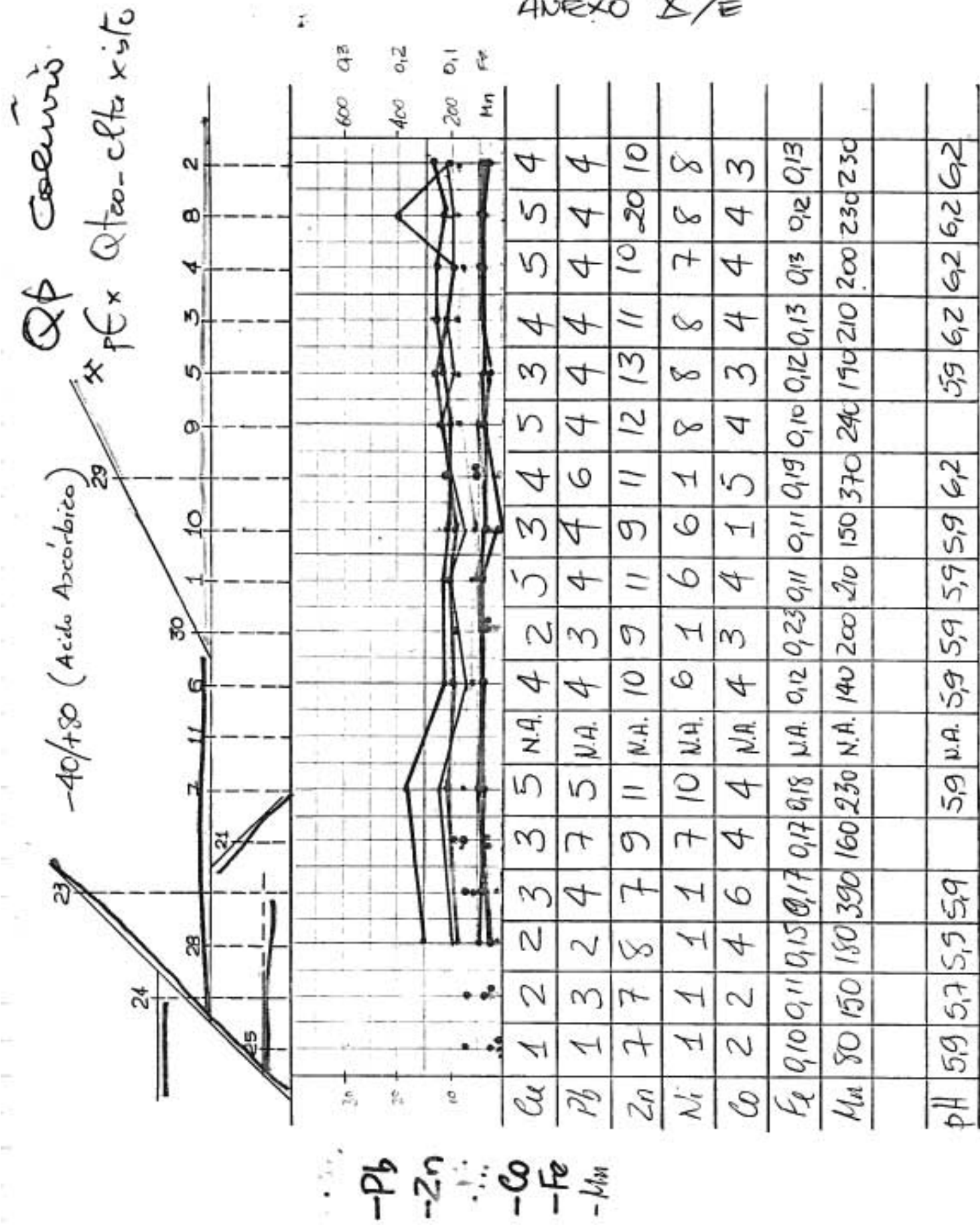


-Co
-Fe
-Mn
-Zn
-Pb

	Cu	1	1	1	2	3	N.A.	3	1	4	3	1	4	3	4	4	3	3
Pb	4	5	5	4	10	10	N.A.	8	5	9	8	5	10	9	9	8	8	9
Zn	3	4	4	4	6	6	N.A.	6	5	6	5	7	7	7	5	3	14	5
Ni	1	1	1	1	3	4	N.A.	4	1	4	1	4	1	4	3	4	4	4
Co	1	2	1	3	8	9	N.A.	7	2	7	6	1	8	7	7	8	7	7
Fe	70	115	170	135	260	340	N.A.	270	150	270	230	150	250	230	290	270	250	220
Mn	30	100	100	140	110	160	N.A.	120	100	170	100	170	130	130	140	140	140	140
pH	5,9	5,7	5,9	5,9	5,9	5,9	N.A.	5,9	5,9	5,9	5,9	5,9	6,2	5,9	6,2	6,2	6,2	6,2

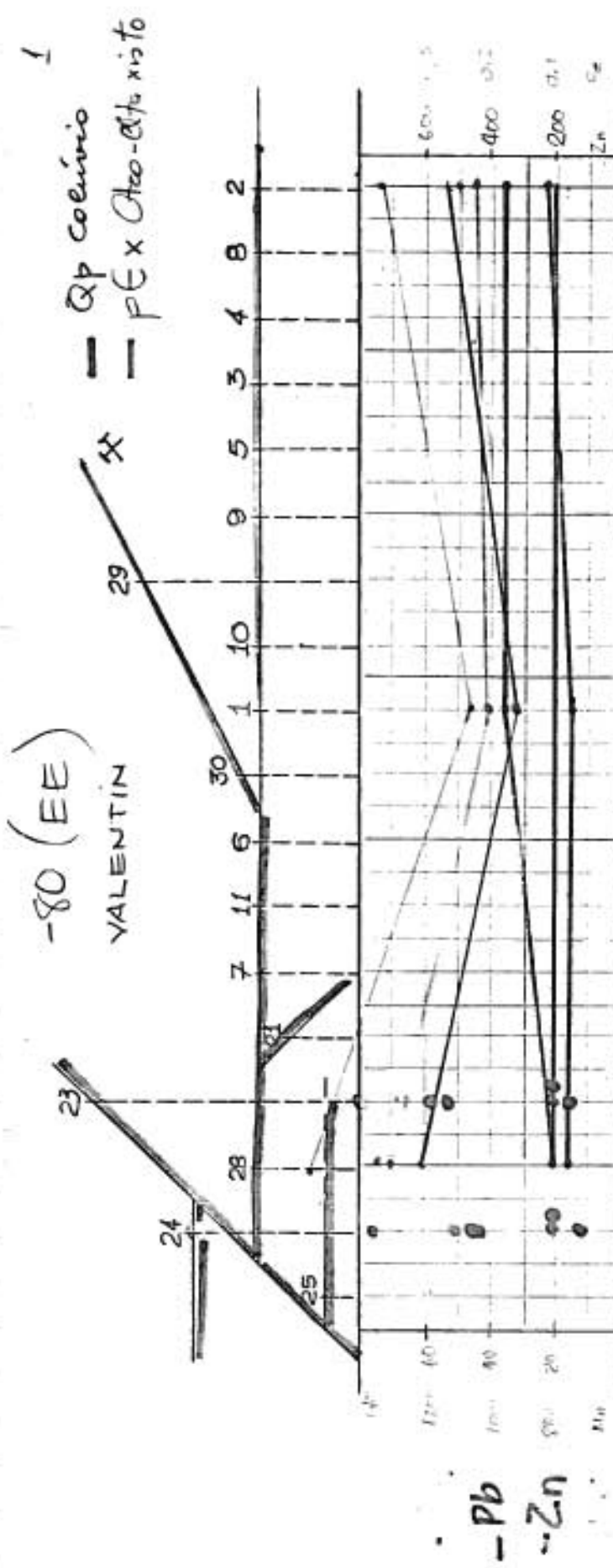


ANEXO X/D

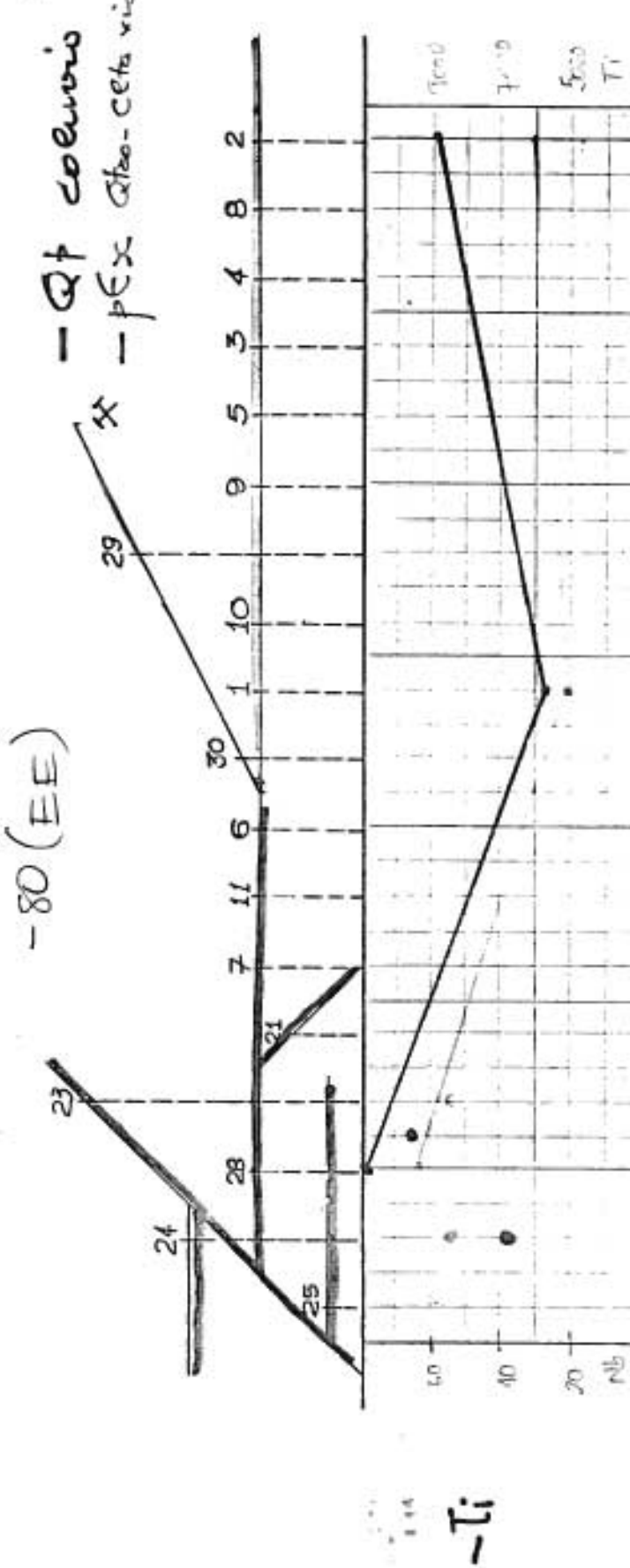


ANEXO I/E

ANEXO XI/A

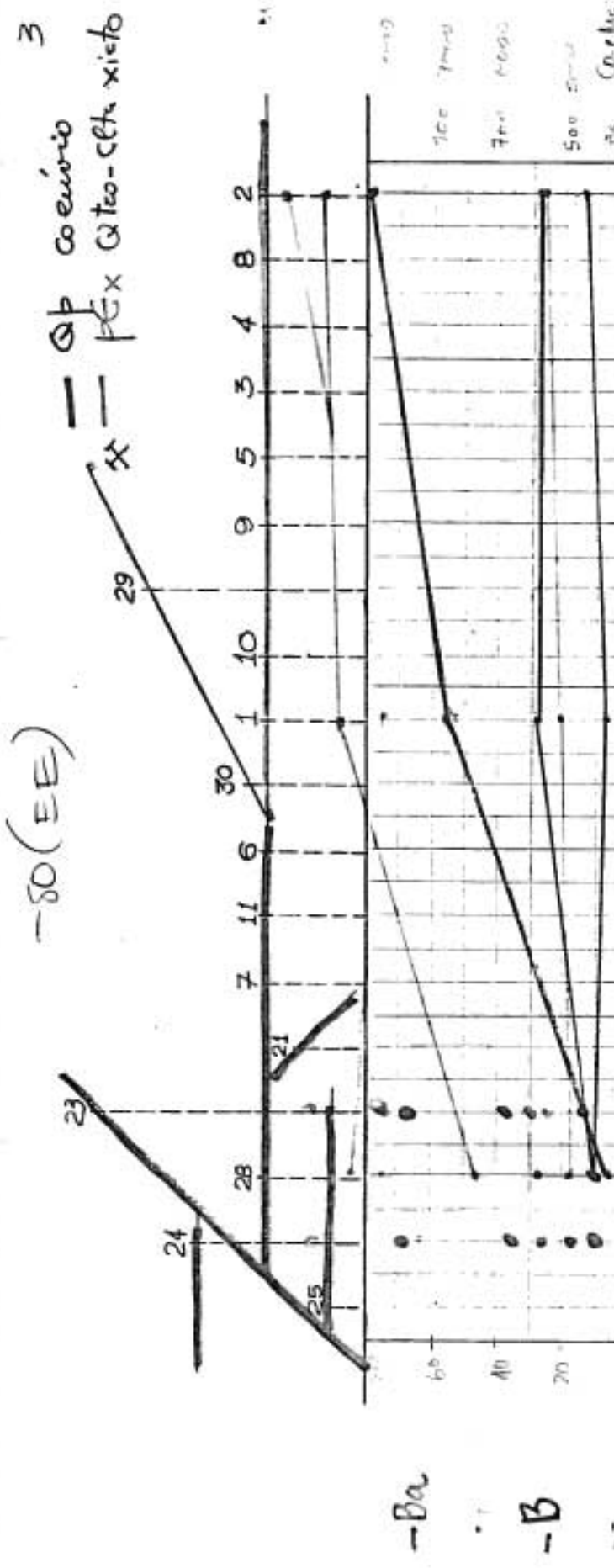


Cu	168	70	59	40	46
Pb	46	20	53	36	36
Zn	<200	<200	<200	<200	<200
Ni	50	72	66	32	50
Co	11	16	17	15	22
Cr	76	94	80	44	74
Fe	>1.0	>1.0	>1.0	>1.0	>1.0
Mn	1040	1200	1280	920	1120



Au	<20	<20	<20	<20	<20	<20	<20
Ag	<1	<1	<1	<1	<1	<1	<1
As							
Sb	<300	<300	<300	<300	<300	<300	<300
Mo	<5	5	<5		<5	<5	<5
W	<300	<300	<300	<300	<300	<300	<300
Nb	54	62	54		<20	<20	30
Sn	<5	<5	<5		<5	<5	<5
Ti	6800	,1.0	9400		5400		8900

3

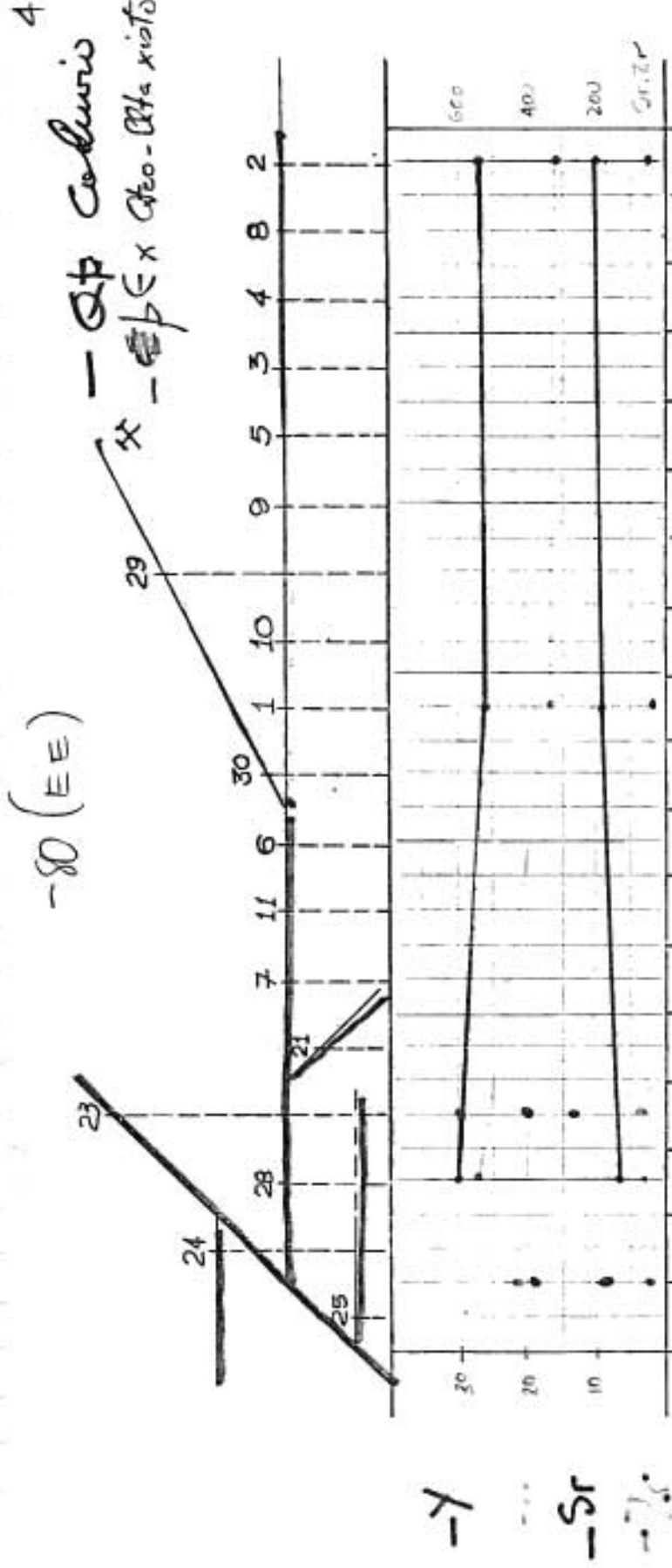


ANEXO XI/C

	≤ 10	< 10	> 10	≤ 10	< 10	> 10	≤ 10	< 10	> 10	≤ 10	< 10	> 10	≤ 10	< 10	> 10
Bi															
Be															
Ba	390	760	1060												
V															
B															
Ca	7240	5400	5300												
Mg															
Ge															
Sc	18	10	14												

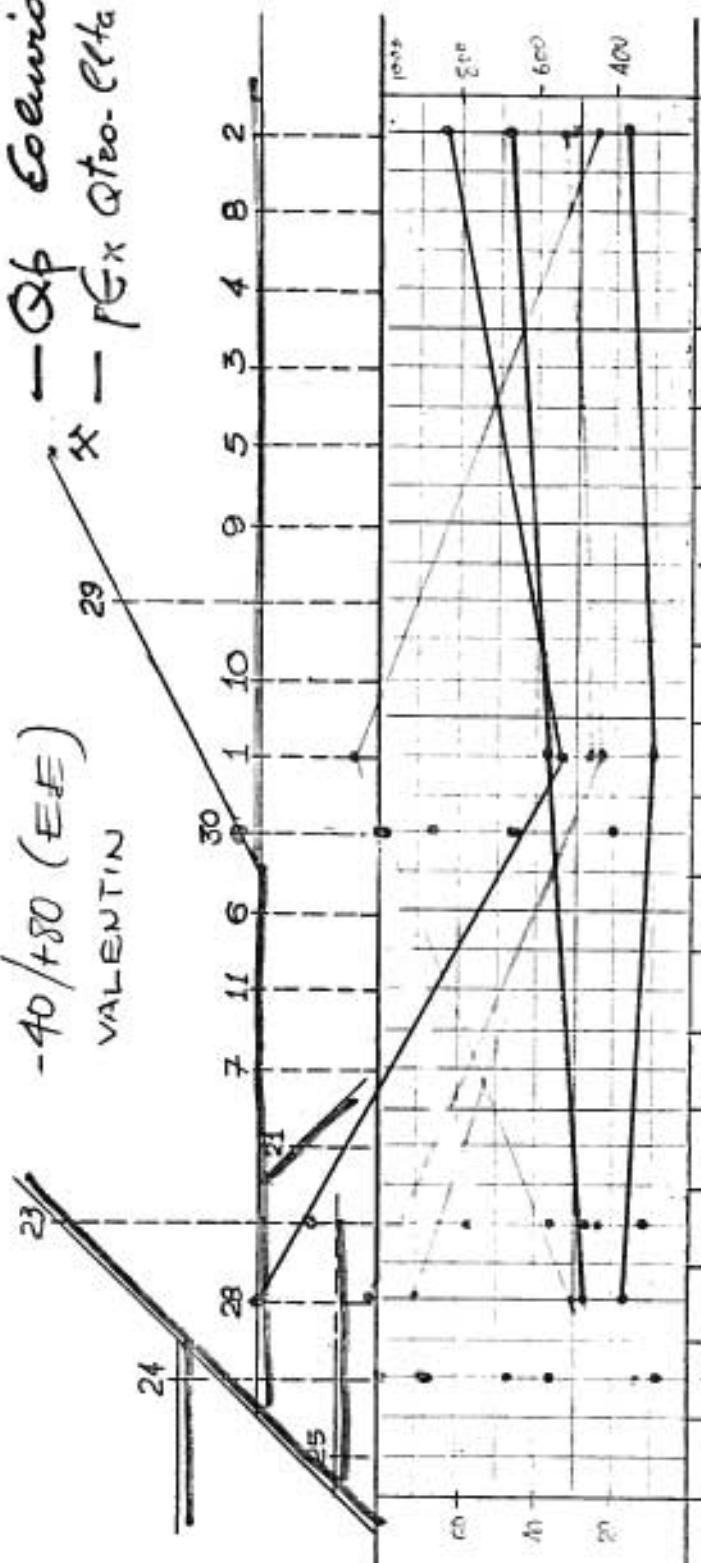
$-Mg$
 $-Ge$
 $-Sc$

ANEXO XI/D



La	<30	<30	<30	<30	<30	<30	<30
Y	19	30	20		26		27
Yb	2	3	3		2		2
Sr	180	144	270		186		190
Zr	430	540	600		320		370

1
 -40/+80 (EE) — QP Sólidos
 VALENTIN ✕ — PEx Qteo. Pta existente



-Cr
 -Fe
 -Mn

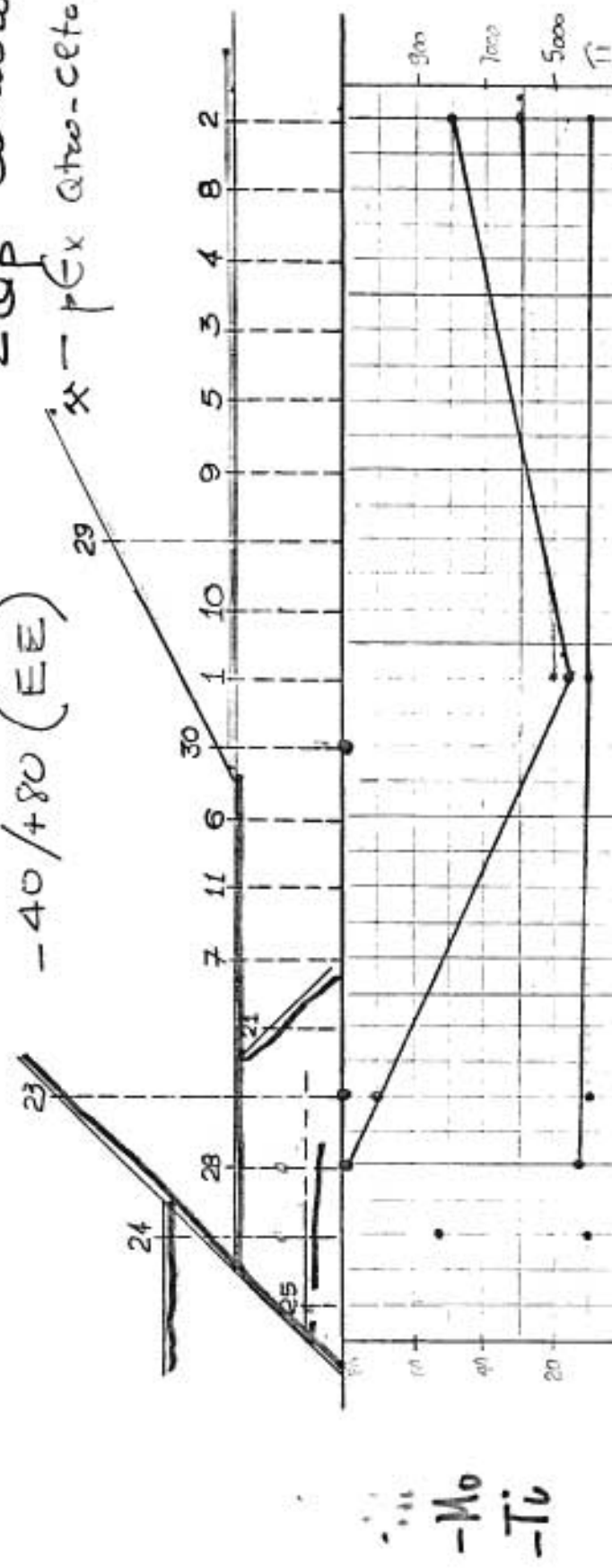
-Co

Ca	46	82	36	66	23	34
B	36	28	28	46	36	48
Zn	<20	<20	<20	<200	<200	<200
Ni	14	70	24	36	27	33
Cr	9	17	13	20	10	18
Fe	80	30	56	168	90	25
Mn	>1.0	>1.0	>1.0	>1.0	>1.0	>1.0
	850	1600	2000	3000	5000	8400

-Qb Colloids 2

-40/+80 (E-E)

xx - pEx Qtreo-ceto xito



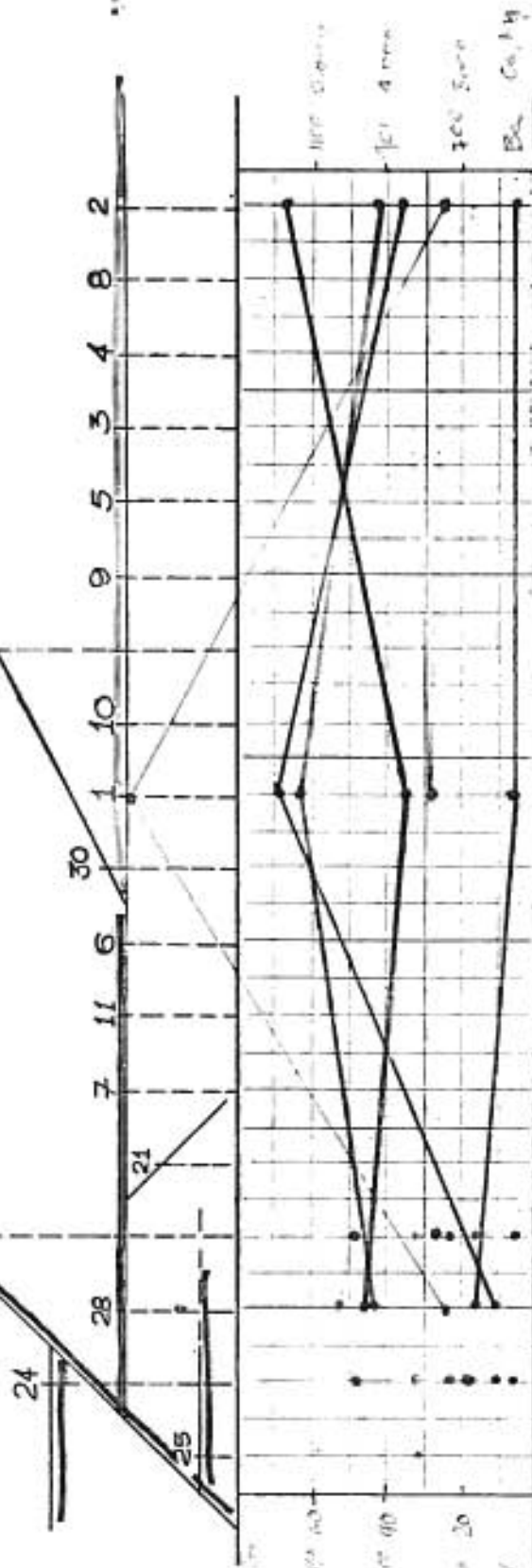
ANEXO III/B

A_u	<20	<20	<20	<20	<20	<20	<20	<20
A_g	<1	<1	<1	<1	<1	<1	<1	<1
A_s					1			<0,5
S_b	<300	<300	<300	<300	<300	<300	<300	<300
M_0	<5	6	<5		<5	<5		<5
W	4800	<300	<300		<300	<300		<300
N_b	100	100	70		84	<20		30
S_n	<5	<5	<5		<5	<5		<5
T_i	8400	>10000	>10000		>10000	4600		8000

-40/+80 ($\Xi\Xi$)

$\exists x$ $Q(x)$ - Coerito

29



- 3 -

1

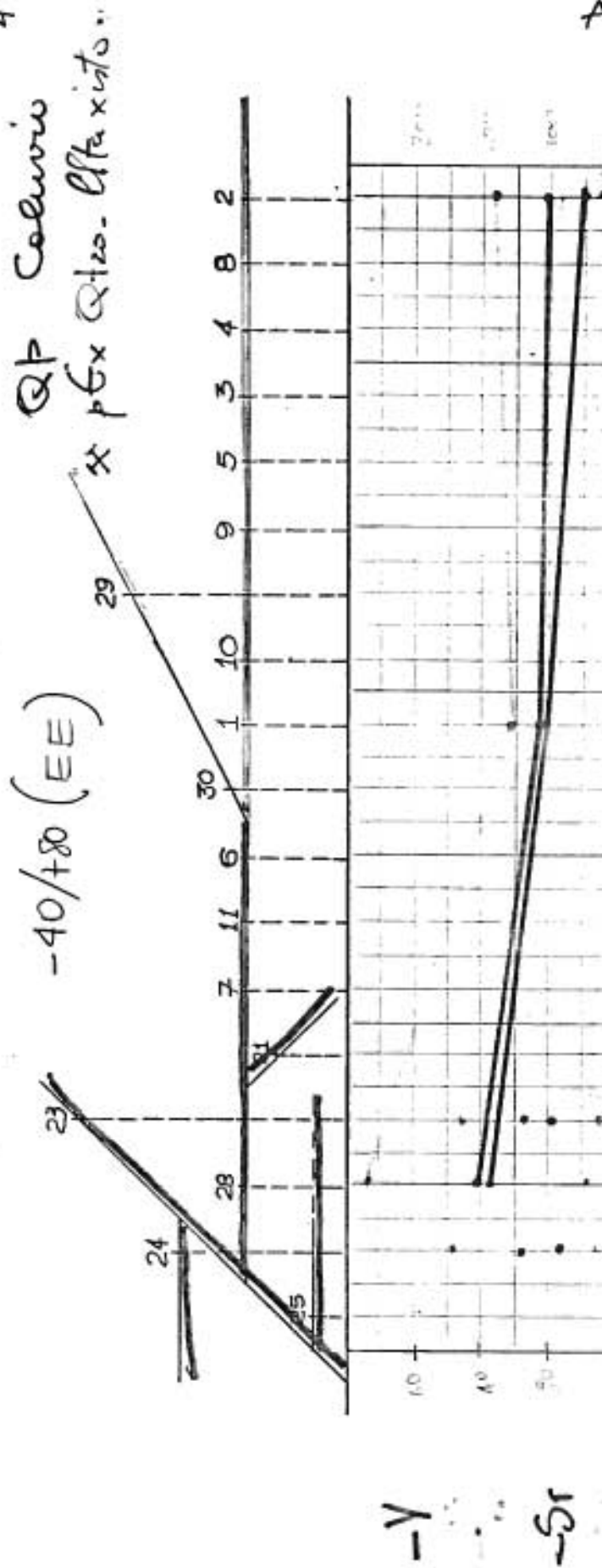
- 10 -

-5c

ANEXO XII/C

	<10	<10	<10	<10	<10	<10	<10	<10
B _i	<5	<5	<5	<5	<5	<5	<5	<5
B _e	990	990	990	990	990	990	990	990
B _a	84	300	84	74	74	74	74	74
B	<10	<10	22	69	69	69	69	69
C _a	3240	4600	2600	3400	3400	3400	3400	3400
Hg	2960	4100	3300	3780	3780	3780	3780	3780
G _a	18	24	17	140	140	140	140	140
S _c	6	16	5	6	6	6	6	6

ANEXO XII/D

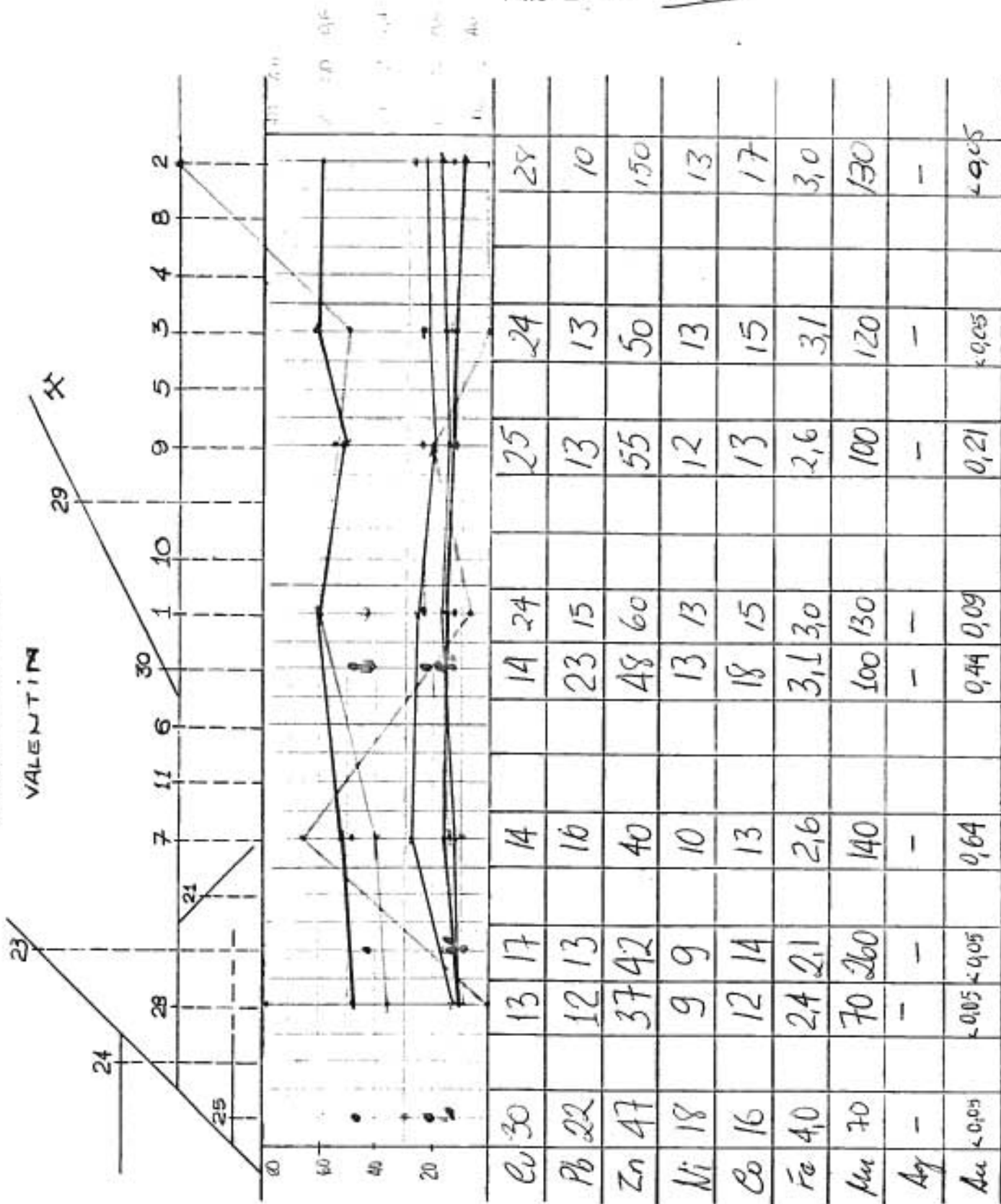


	≤ 30					
La	17	40	19	17	40	19
Y	2	4	2	2	4	2
Yb	144	184	144	144	184	144
Sr	240	360	230	240	360	230
Zr						

ANEXO XIII

Conc. BATERIA

VALENTIN



- Pb
- Zn
- Co
- Ni
- Cu
- Ag

ANEXO ~~XII~~/A

ANEXO III/B

ANEXO XIV /c

MINERALS IN THE TAHAN MOUNTAINS

M = 2.7641

BIBLIOTECA

ANEXO XIV/D

VALENTIM	PIMENTA	VALENTIM	PIMENTA	AMOS				FRAÇÃO				ABERTURA			
				Cu	Pb	Zn	Ni	Co	Fe	Mn	D	O	R	D	O
01(18)[25]	6	5	18	16	11	52	47	34	5	41	11	10	8	35,22	53,00
02(16)[23]	7	5	13	11	14	45	30	40	6	3	7	5	7	40,00	12,00
03(15)[22]	6	5	9	14	10	46	31	30	3	3	4	4	5	1,00	9,00
04(17)[24]	85	10	8	23	16	42	40	47	13	8	17	12	12	26,00	45,00
05(14)[21]	6	4	5	15	11	36	32	32	21	3	5	5	6,3	1,00	13,00
12(19)[22]	15	16	15	14	13	12	50	50	11	10	9	13	14	1,1	24,00
13(20)[26]	9	6	5	11	10	42	32	52	3	2	11	11	11	8,00	3,00
01(15)[20]	1	1	1	18	22	12	12	12	12	12	12	12	12	1,00	1,00
02(13)[18]	29	30	38	18	18	12	50	50	50	50	50	50	50	1,00	24,00
03(12)[17]	28	22	32	16	16	1	55	60	40	20	20	20	20	15,80	21,25
03(6)[21]	23	24	24	21	18	19	60	60	50	50	50	50	50	7,00	3,00
08(14)[19]	34	35	35	19	19	65	65	65	23	23	23	23	23	1,00	24,00
25(26)[27]	24	25	25	17	17	17	100	100	96	29	31	31	31	1,00	44,00
30(31)[32]	30	31	31	16	16	54	54	54	17	18	18	18	18	1,00	35,00
01(18)[25]	11	11	11	11	11	11	11	11	11	11	11	11	11	1,00	23,00
02(16)[23]	1	1	1	15	15	10	80	80	21	15	15	15	15	1,00	32,00
03(15)[22]	6	7	7	3	13	11	11	11	21	15	15	15	15	1,00	30,00
04(17)[24]	83	8	5	36	15	15	90	87	13	17	17	17	17	1,00	43,00
05(14)[21]	5	6	5	17	17	17	17	17	17	17	17	17	17	1,00	8,00
12(19)[22]	13	13	13	13	13	13	13	13	13	13	13	13	13	1,00	14,00
13(20)[26]	5	5	4	14	15	17	17	17	17	17	17	17	17	1,00	16,00
01(15)[20]	24	24	24	14	14	14	14	14	14	14	14	14	14	1,00	24,00
02(13)[18]	20	20	20	13	13	13	13	13	13	13	13	13	13	1,00	25,00
03(12)[17]	21	21	21	11	11	11	11	11	11	11	11	11	11	1,00	25,00
02(16)[21]	18	19	16	1	1	15	15	15	15	15	15	15	15	1,00	22,00
03(14)[19]	23	23	23	1	1	15	15	15	15	15	15	15	15	1,00	24,00
25(26)[27]	1	1	1	1	1	1	1	1	1	1	1	1	1	1,00	21,00
30(31)[32]	1	1	1	1	1	1	1	1	1	1	1	1	1	1,00	21,00

ANEXO III/E

AMOSTRA	AREA	VALENTIM	PIMENTA	Zn				Ni				CO				Fe				Mn			
				Pb	Cu	D	R	D	O	R	D	D	O	R	D	O	R	D	O	R			
ABERTURA	FAGAO	EDTA	EDTA	1	1	2	1	1	1	1	1	1	1	1	1	1	1	1	1	1			
01(18)125	02(16)123	03(15)122	04(17)247	05(14)217	12(19)277	13(20)267	01(15)207	02(13)187	03(12)177	04(16)217	05(14)197	25(26)227	30(31)327	01(18)257	02(16)237	03(15)227	04(17)247	05(14)217	12(19)277	13(20)267	01(15)207	02(13)187	
02(16)123	03(15)122	04(17)247	05(14)217	12(19)277	13(20)267	01(15)207	02(13)187	03(12)177	04(16)217	05(14)197	25(26)227	30(31)327	01(18)257	02(16)237	03(15)227	04(17)247	05(14)217	12(19)277	13(20)267	01(15)207	02(13)187		
03(15)122	04(17)247	05(14)217	12(19)277	13(20)267	01(15)207	02(13)187	03(12)177	04(16)217	05(14)197	25(26)227	30(31)327	01(18)257	02(16)237	03(15)227	04(17)247	05(14)217	12(19)277	13(20)267	01(15)207	02(13)187			
04(17)247	05(14)217	12(19)277	13(20)267	01(15)207	02(13)187	03(12)177	04(16)217	05(14)197	25(26)227	30(31)327	01(18)257	02(16)237	03(15)227	04(17)247	05(14)217	12(19)277	13(20)267	01(15)207	02(13)187				
05(14)217	12(19)277	13(20)267	01(15)207	02(13)187	03(12)177	04(16)217	05(14)197	25(26)227	30(31)327	01(18)257	02(16)237	03(15)227	04(17)247	05(14)217	12(19)277	13(20)267	01(15)207	02(13)187					
12(19)277	13(20)267	01(15)207	02(13)187	03(12)177	04(16)217	05(14)197	25(26)227	30(31)327	01(18)257	02(16)237	03(15)227	04(17)247	05(14)217	12(19)277	13(20)267	01(15)207	02(13)187						
13(20)267	01(15)207	02(13)187	03(12)177	04(16)217	05(14)197	25(26)227	30(31)327	01(18)257	02(16)237	03(15)227	04(17)247	05(14)217	12(19)277	13(20)267	01(15)207	02(13)187							
01(15)207	02(13)187	03(12)177	04(16)217	05(14)197	25(26)227	30(31)327	01(18)257	02(16)237	03(15)227	04(17)247	05(14)217	12(19)277	13(20)267	01(15)207	02(13)187								
02(13)187	03(12)177	04(16)217	05(14)197	25(26)227	30(31)327	01(18)257	02(16)237	03(15)227	04(17)247	05(14)217	12(19)277	13(20)267	01(15)207	02(13)187									
03(12)177	04(16)217	05(14)197	25(26)227	30(31)327	01(18)257	02(16)237	03(15)227	04(17)247	05(14)217	12(19)277	13(20)267	01(15)207	02(13)187										
04(16)217	05(14)197	25(26)227	30(31)327	01(18)257	02(16)237	03(15)227	04(17)247	05(14)217	12(19)277	13(20)267	01(15)207	02(13)187											
05(14)197	25(26)227	30(31)327	01(18)257	02(16)237	03(15)227	04(17)247	05(14)217	12(19)277	13(20)267	01(15)207	02(13)187												
25(26)227	30(31)327	01(18)257	02(16)237	03(15)227	04(17)247	05(14)217	12(19)277	13(20)267	01(15)207	02(13)187													
30(31)327	01(18)257	02(16)237	03(15)227	04(17)247	05(14)217	12(19)277	13(20)267	01(15)207	02(13)187														

ANEXO XIII / F

